



เอกสารอ้างอิง

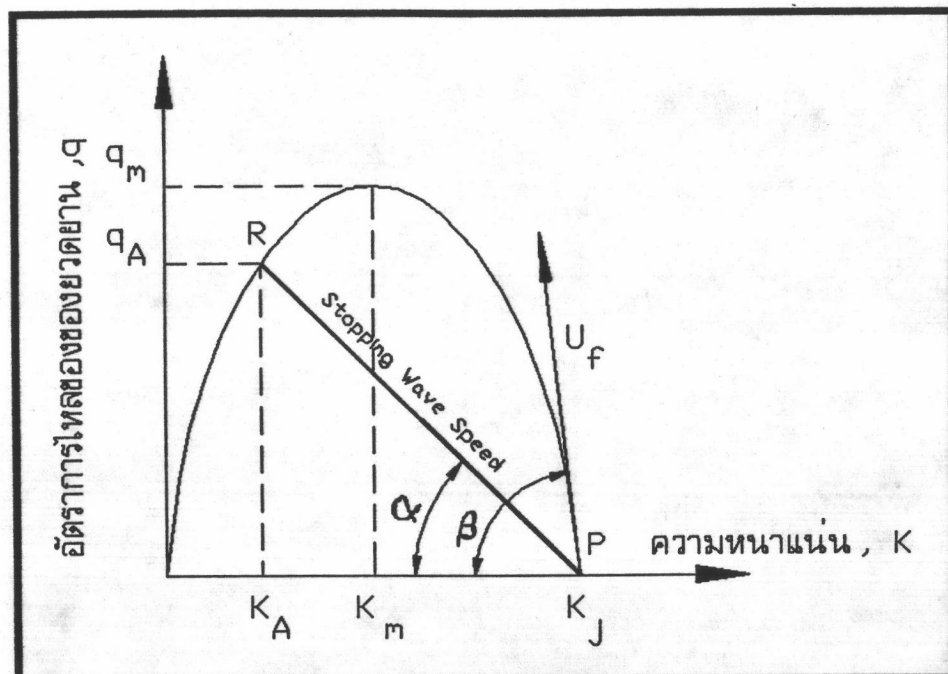
1. DIRCK VAN VLIET. SATURN A MODERN ASSIGNMENT MODEL. , REPRINTED FROM TRAFFIC ENGINEERING AND CONTROL, 1990
2. RATHI, A.K. AND SANTIAGO, A.J. THE NEW NETSIM SIMULATION PROGRAM. TRAFFIC ENGINEERING CONTROL, 31 (5) , MAY 1990 PP. 317-320
3. MVA SYSTEMATICA. MVA SYSTEMATICA : TRAFFICO. MVA HOUSE, SURREY, ENGLAND , 1986
4. DEPARTMENT OF STATISTIC AND OPERATION RESEARCH. AIMSUN ADVANCED INTERACTIVE MICROSCOPIC SIMULATOR FOR URBAN NETWORKS VOLUME I : SYSTEM DESCRIPTION : VERSION 2. FACULTY OF INFORMATION, POLYTECHNIC UNIVERSITY OF CATALUNYA BARCELONA, SPAIN ,1990
5. ชงชัย จินดานวงศ์. " การปรับปรุงแบบจำลองการวิเคราะห์การจราจรที่ทางแยกสัญญาณไฟ " วิทยานิพนธ์ ปริญญามหาบัณฑิต ภาควิชาวิศวกรรมโยธา คณะวิศวกรรมศาสตร์ จุฬาลงกรณ์มหาวิทยาลัย , 2532
6. YOUICHI SAKURADA. EVALUATION OF THE SIGNAL CONTROL IN ROAD TRAFFIC NETWORK THROUGH SIMULATION. TOKYO UNIVERSITY, MASTER'S THESIS, 1985
7. HIROSHI INOSE AND TAKASHI HAMADA. ROAD TRAFFIC CONTROL. UNIVERSITY OF TOKYO PRESS, 1975 PP.205-224
8. ครรชิต พิวนวล. เอกสารประกอบการเรียนวิชา 161-645 TRAFFIC FLOW THEORY , 2525
9. สินิทธิ์ บุญลิทธิ์ . "การควบคุมระบบสัญญาณไฟจราจรที่ทางแยกในกรุงเทพมหานคร" วิทยานิพนธ์ ปริญญามหาบัณฑิต ภาควิชาวิศวกรรมโยธา คณะวิศวกรรมศาสตร์ จุฬาลงกรณ์มหาวิทยาลัย , 2529

ภารกิจพัฒนาชุมชน

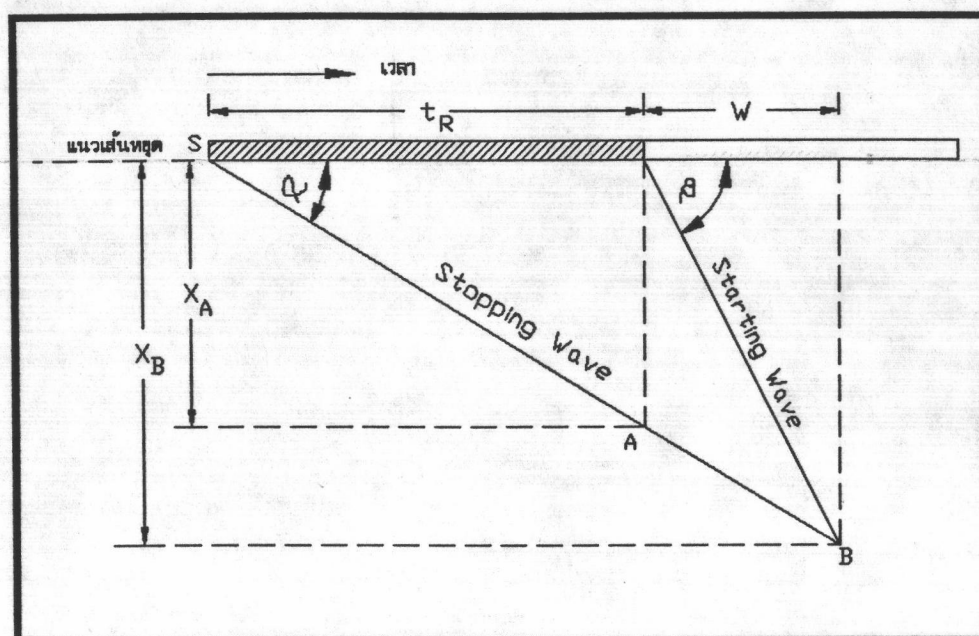
ภาคพนวก ก.

ที่มาของสูตรคำนวณความเยาว์จากแบบจำลองของ Greenshield

รูปที่ ก.1 ความสัมพันธ์ระหว่างความหนาแน่นและอัตราการไหล (Flow - Density Relationship)



รูปที่ ก.2 รูปประกอบการสร้างสูตรการประมาณค่าความยาวคิว จากพื้นที่กรรมการเกิดคลื่นของယาน



จากรูปที่ ก.1 ความชัน (Slope) ของเส้นที่ลากจากจุด R ไปจุด P คือความเร็วของคลื่นหยุด (Stopping Wave Speed) ที่เคลื่อนตัวขึ้นกระสาการราจร

$$\tan \alpha = \frac{q_A}{(K_J - K_A)} \quad \dots \dots \dots \quad (\text{ก.1})$$

จากรูปที่ ก.2

X_A = ความยาวคิวเมื่อจังหวะสัญญาณไฟเปลี่ยนจากสัญญาณไฟแดงเป็นสัญญาณไฟเขียว

X_B = ความยาวคิวสูงสุดที่เกิดขึ้นเมื่อสัญญาณไฟเขียวผ่านไปป W วินาที

เมื่อพิจารณาที่จุด A

$$\tan \alpha = \frac{X_A}{t_R} \quad \dots \dots \dots \quad (\text{ก.2})$$

เมื่อพิจารณาที่จุด B

$$\tan \beta = \frac{X_B}{W}$$

$$W = \frac{X_B}{\tan \beta} \quad \dots \dots \dots \quad (\text{ก.3})$$

$$\tan \alpha = \frac{X_B}{t_R + W} \quad \dots \dots \dots \quad (\text{ก.4})$$

แทนค่า W จากสมการ ก.3 ลงในสมการ (ก.4) จะได้

$$\tan \alpha = \frac{X_B}{t_R + (X_B / \tan \beta)} \quad \dots \dots \dots \quad (\text{ก.5})$$

จัดรูปสมการใหม่เป็น

$$t_R + \frac{X_B}{\tan \beta} = \frac{X_B}{\tan \alpha}$$

$$t_R = \frac{X_B}{\tan \alpha} - \frac{X_B}{\tan \beta}$$

$$t_R = X_B \cdot \left(\frac{1}{\tan \alpha} - \frac{1}{\tan \beta} \right)$$

$$X_B = \frac{t_R}{\left(\frac{1}{\tan \alpha} - \frac{1}{\tan \beta} \right)} \quad \dots \dots \dots \quad (ก.6)$$

จากแบบจำลองความสัมพันธ์ระหว่างปริมาณจราจรกับความหนาแน่นของ Greenshield

$$U = U_f \left(1 - \frac{K}{K_j} \right) \quad \dots \dots \dots \quad (ก.7)$$

U_f = ความเร็วอิสระในการเคลื่อนตัวของယวคบาน (Free Flow Speed)

U = ความเร็วของคลื่นการออกตัว (Starting Wave Speed) หรือ คลื่นการออกตัว (Stopping Wave Speed)

K = ความหนาของกลุ่มယวคบานที่เคลื่อนตัว

K_j = ความหนาแน่นสูงสุด (Jam Density)

ความสัมพันธ์ระหว่าง ความเร็ว ความหนาแน่น และปริมาณจราจรของกลุ่มယวคบาน คือ

$$q = K \cdot U \quad \dots \dots \dots \quad (ก.8)$$

K = ความหนาแน่นของกลุ่มယวคบาน

U = ความเร็วของกลุ่มယวคบาน

q = ปริมาณจราจรของกลุ่มယวคบาน

แทนค่า \underline{K} จากสมการ ก.7 ลงในสมการที่ ก.8 จะได้

$$\underline{q} = \underline{K} \cdot U_f \cdot \left(1 - \frac{\underline{K}}{K_j} \right) \quad \dots \dots \dots \quad (\text{ก.9})$$

$$= U_f \cdot \left(K - \frac{\underline{K}^2}{K_j} \right)$$

$$\frac{dq}{dK} = U_f - \left[\frac{2 \cdot U_f \cdot K}{K_j} \right] \quad \dots \dots \dots \quad (\text{ก.10})$$

ปริมาณการจราจรสูงสุด (q_m) จะเกิดขึ้นเมื่อ $\frac{dq}{dK} = 0$

ดังนั้น

$$U_f - \left[\frac{2 \cdot U_f \cdot K}{K_j} \right] = 0$$

$$K = K_j / 2$$

แทนค่า K ซึ่งเท่ากับ $K_j / 2$ ลงในสมการ ก.9 จะได้

$$q_m = U_f \cdot \left(\frac{K_j}{2} - \frac{\underline{K}^2}{4K_j} \right)$$

$$= \frac{U_f \cdot K_j}{4}$$

$$U_f = \frac{4 \cdot q_m}{K_j} \quad \dots \dots \dots \quad (\text{ก.10})$$

ความเร็วของคลื่นเนื้อความหนาแน่นเท่ากับความหนาแน่นสูงสุด (K_j) ลงในสมการ ก.10

$$\frac{dq}{dK} (K = K_J) = U_f - \left[\frac{2 \cdot U_f \cdot K_J}{K_J} \right] = - U_f$$

ที่มีค่าเป็นลงเนื่องจาก ความเร็วเคลื่อนทิศทางย้อนกระasseการจราจรที่มีค่าความเร็ว
คลื่นออกตัวเท่ากับ U_f

จากรูป ก.1

$$\tan = \frac{dq}{dK} = U_f$$

แทนค่า \tan จากสมการ ก.1 และ $\tan = U_f$ ลงในสมการ ก.6 จะได้

$$X_B = \frac{t_R}{[(K_J - K_A) - 1]} \quad \dots \dots \dots \quad (\text{ก.11})$$

ถ้าให้ปริมาณจราจรที่เข้าสู่ทางแยก (q_A) เป็นสัดส่วนกับปริมาณจราจรสูงสุด (q_m) จะได้

$$q_A = D \cdot q_m \quad \text{โดยที่ } 0 < D < 1$$

จากสมการที่ ก.9 ถ้าให้ $q = q_A$ และ $K = K_A$ จะได้

$$q_A = K_A \cdot U_f \cdot \left(1 - \frac{K_A}{K_J} \right)$$

แทนค่า $q_A = P \cdot q_m$ จะได้

$$\frac{P \cdot q_m}{K_j} = K_A \cdot U_f \cdot (1 - \frac{K_A}{K_j})$$

แทนค่า $q_m = \frac{U_f \cdot K_j}{4}$ ลงในสมการข้างบน จะได้

$$\frac{P \cdot U_f \cdot K_j}{4} = K_A \cdot U_f \cdot (1 - \frac{K_A}{K_j})$$

$$\frac{P \cdot K_j}{4} = K_A \cdot (1 - \frac{K_A}{K_j})$$

$$P \cdot K_j^2 = 4K_A \cdot K_j - 4K_A^2$$

$$4K_A^2 - 4K_j \cdot K_A + P \cdot K_j^2 = 0$$

เป็นสมการควอตรากิก
แก้สมการหาค่า K_A ได้ดังนี้

$$\begin{aligned} K_A &= \frac{4K_j + (16K^2 - 16P \cdot K_j^2)^{1/2}}{8} \\ &= 0.5K_j (1 \pm \sqrt{1 - \frac{P}{K_j}}) \quad \dots \dots \dots \quad (\text{ก.12}) \end{aligned}$$

จะเห็นว่าค่าความหนาแน่นที่ได้จากการแก้สมการมี 2 ค่า ที่ปริมาณการจราจร
ค่าเดียวกัน โดยปกติมักจะได้ค่าน้อยเสมอ

แทนค่า $\tan \alpha$ จากสมการ ก.1 ลงในสมการ ก.2 จะได้

$$\frac{q_A}{K_j - K_A} = \frac{x_A}{t_R}$$

$$\frac{x_A}{K_j - K_A} = \frac{t_R \cdot q_A}{K_j - K_A} \quad \dots \dots \dots \quad (\text{ก.13})$$

แทนค่าความหนาแน่นที่เกิดขึ้นในค้านตัว $K_A = 0.5 K_J \cdot (1 - \sqrt{1-P})$ และแทนค่า $q_A = P \cdot q_m$ ลงในสมการ ๑.๑๓

$$\begin{aligned}
 X_A &= \frac{t_R \cdot P \cdot q_m}{K_J - [0.5 K_J (1 - \sqrt{1 - P})]} \\
 &= \frac{t_R \cdot q_m}{K_J} \left[\frac{P}{0.5 + 0.5 \sqrt{1 - P}} \right] \\
 &= \frac{t_R \cdot q_m \cdot F_A}{K_J} \quad \dots \dots \dots \quad (1.14)
 \end{aligned}$$

$$\text{โดยที่ } F_A = \frac{P}{0.5 + 0.5 \sqrt{1 - P}} \quad \dots \dots \dots \quad (1.15)$$

แทนค่า K_A จากสมการ ๑.๑๒ $q_A = P \cdot q_m$ และ $U_f = \frac{4 \cdot q_m}{K_J}$
ลงในสมการที่ ๑.๑๑

$$\begin{aligned}
 X_B &= \frac{t_R}{\left[\frac{(K_J - K_A)}{P \cdot q_m} \right] - \left[\frac{K_J}{4 \cdot q_m} \right]} \\
 &= \frac{t_R \cdot q_m}{\left[\frac{[K_J - 0.5 K_J (1 - \sqrt{1 - P})]}{P} \right] - \left[\frac{K_J}{4} \right]} \\
 &= \left[\frac{t_R \cdot q_m}{K_J} \right] \cdot \left[\frac{1}{\frac{(0.5 + 0.5 \sqrt{1 - P})}{P} - \frac{1}{4}} \right] \\
 &= \left[\frac{t_R \cdot q_m}{K_J} \right] \cdot \left[\frac{\frac{1}{F_A} - \frac{1}{4}}{\frac{1}{F_A}} \right]
 \end{aligned}$$

$$= \frac{t_R \cdot q_m \cdot F_B}{K_j} \quad \dots \dots \dots \quad (n.16)$$

$$\text{โดยที่ } F_B = \frac{1}{\begin{bmatrix} 1 & -1 \\ F_A & 4 \end{bmatrix}} = \frac{4F_A}{4 - F_A} \quad \dots \dots \dots \quad (n.17)$$

สรุป สมการที่ ก.14 และ ก.15 ใช้คำนวณความยาวคิวเมื่อจังหวะสัญญาณไฟเปลี่ยนจากสัญญาณไฟแดงเป็นสัญญาณไฟเขียว ส่วนสมการที่ ก.16 และ ก.17 ใช้คำนวณความยาวคิวสูงสุดที่เกิดขึ้น

ภาคพนวก ๔.

ไปรrogramหลัก ของชี บุ ทรัพย์ค ชิมุเลชั่น ไปรrogram

C PROGRAM MAIN

C

C THE LAST STATUS OF THIS MODEL IS AS BELOW :

C

C 1. RANDOM FLUCTUATION OF SATURATION FLOW RATE -----(YES)
C 2. RANDOM FLUCTUATION OF JAM DENSITY -----(YES)
C 3. RANDOM FLUCTUATION OF ARRIVAL ON STOP - LINE --- (NO)
C 4. VEHICLE GENERATION ----- (UNIFORM, POISSON)
C 5. RIGHT-TURN ARRIVAL ----- (RANDOM)
C 6. PLATOON DISPERSION ----- (YES)
C 7. CALCULATION OF QUEUE LENGTH ----- (YES)
C 8. OUTPUT INFORMATION + DETECTOR INFORMATION --- (YES)
C + NUMBER OF STOPS ----- (NO)
C + DELAY ----- (YES)
C 9. ARRIVAL DISTRIBUTION ----- (UNIFORM, POISSON)

6

COMMON /TIME / IT. ITSCAN

COMMON /SIM / ISIMTM

COMMON /ARVDST/ ARVIDX

CHARACTER*7 ARV IDX

COMMON /OutputControl/ OutDetect,OutDelay,OutStop,OutFlow,
* OutWave,OutQueue

CHARACTER*12 ControlFile,DataFile

LOGICAL: OutDetect, OutDelay, OutStop, OutFlow, OutWave, OutQueue

5

```
WRITE(*,*),***** Please enter control file name : '
```

```
READ(*,5) ControlFile
```

CALL MENU

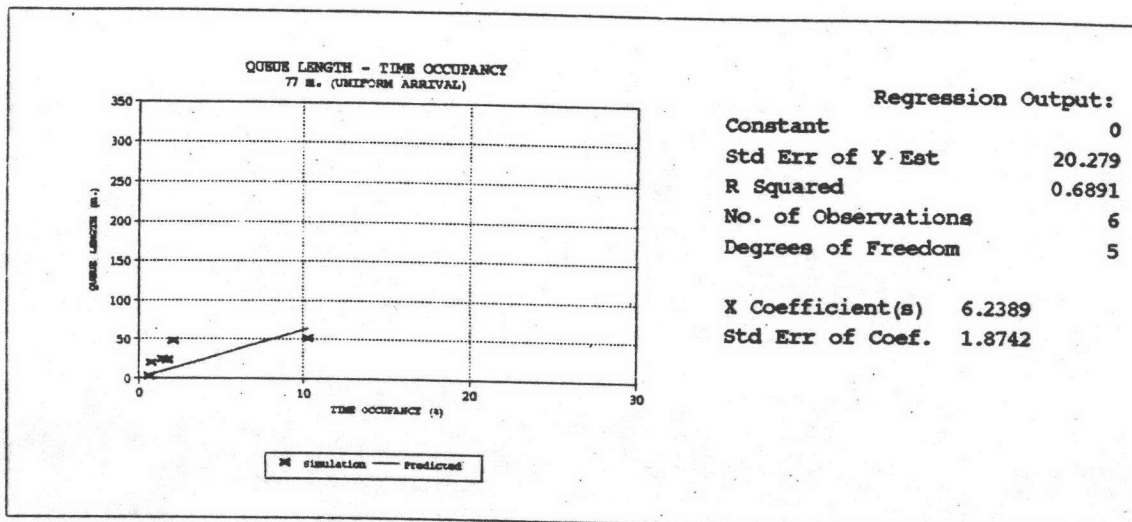
CALL FileControl(ControlFile,DataFile)

5 FORMAT(A10)

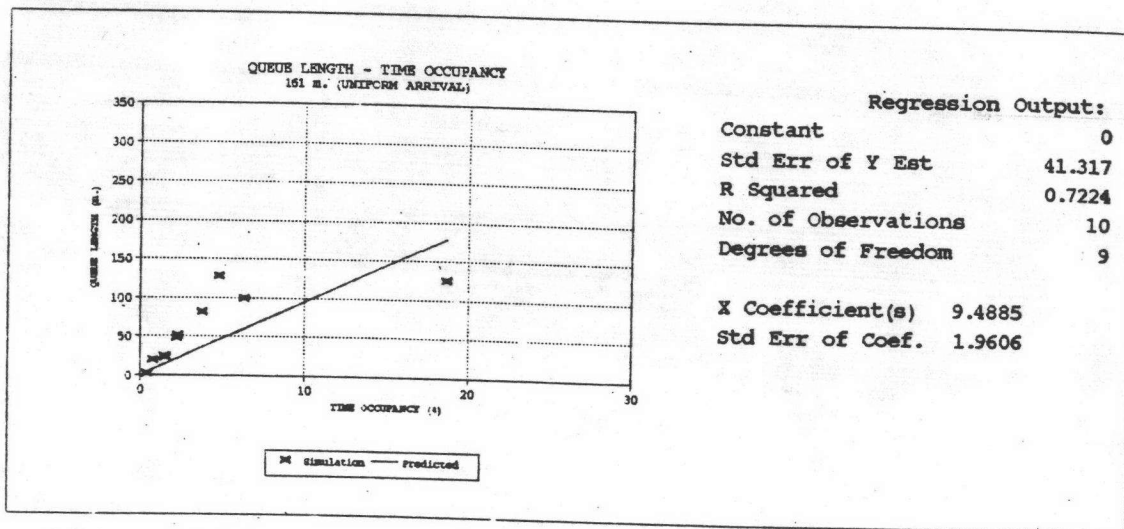
```
CALL READ(DataFile)
CALL WRITE
C     --- Initial random number generation -----
CALL RANDNO
CALL INIT
CALL PRERUN
IF (ARVIDX.EQ.'POISSON') CALL BuildHeadWay
C     --- Initial number & position of grouped detector -----
C     CALL DETECTLINK
10   CALL CLOCK
      WRITE(*,100) IT,FLOAT(IT)/FLOAT(ISIMTM)*100.
      CALL CONTRL
      CALL FLOW
      IF (OutDelay) CALL DELCLC
      CALL AdjStatus
      CALL FLWADV
      IF (OutStop) CALL Calc_Stop
      IF (OutFlow) CALL LINKFLOW
      CALL DISPRS
      CALL QLENGTH
      CALL TCOUNT
      CALL OUTMAN
      CALL MANAGE(*10,*20)
20   STOP
100  FORMAT('** Traffic simulation TIME = ',I5,' sec. done = ',
+          F4.0,' % ****')
      END
```

ภาคพนวก ๔.

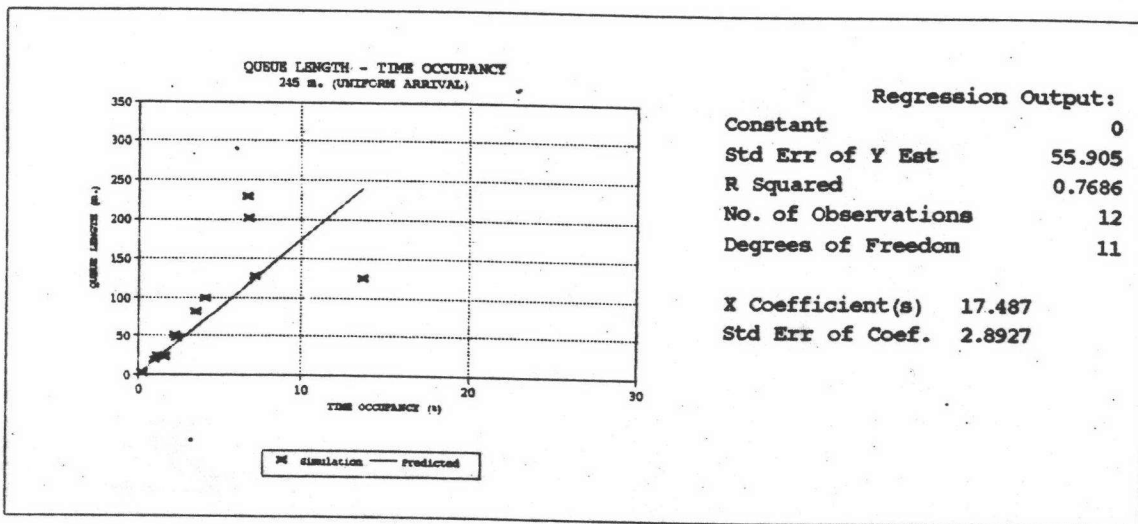
รูปและตาราง ประกอบการวิเคราะห์หาตำแหน่ง detector ที่เหมาะสม



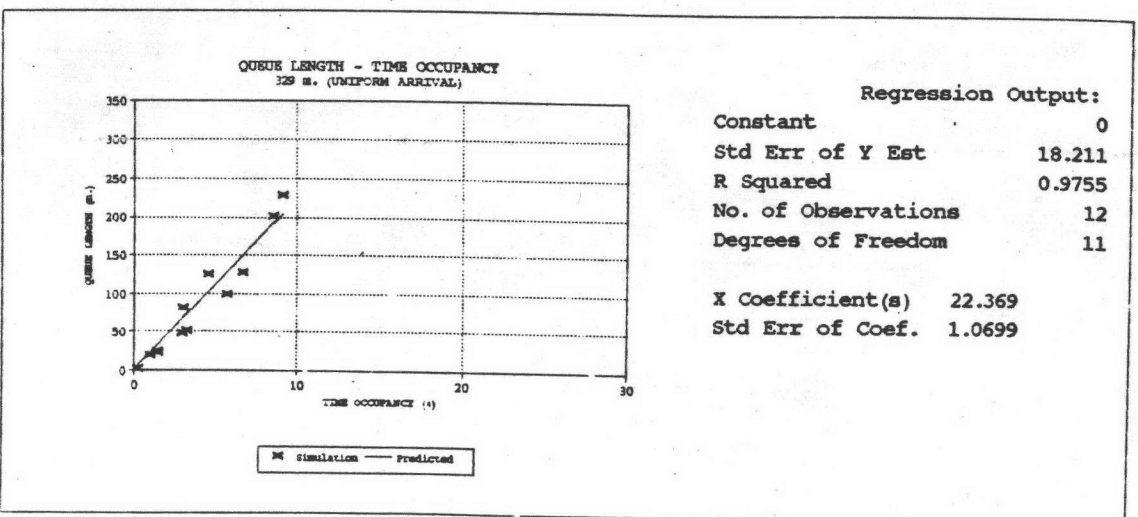
รูปที่ ค.1 กราฟความสัมพันธ์ระหว่างค่า Time Occupancy กับความยาวคิวจากการทำชิมุเลื่อน และผลการวิเคราะห์การณ์การณ์โดย detector อยู่ที่ตำแหน่ง 77 เมตรจากทางแยก (ยาวนานเข้าสู่ทางแยกแบบสม่ำเสมอ)



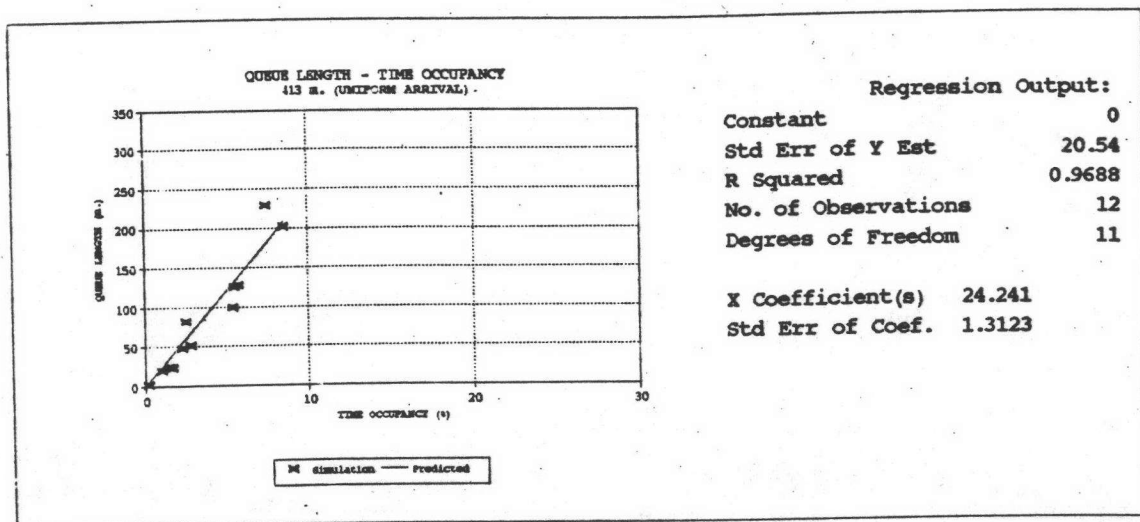
รูปที่ ค.2 กราฟความสัมพันธ์ระหว่างค่า Time Occupancy กับความยาวคิวจากการทำชิมุเลื่อน และผลการวิเคราะห์การณ์การณ์โดย detector อยู่ที่ตำแหน่ง 161 เมตรจากทางแยก (ยาวนานเข้าสู่ทางแยกแบบสม่ำเสมอ)



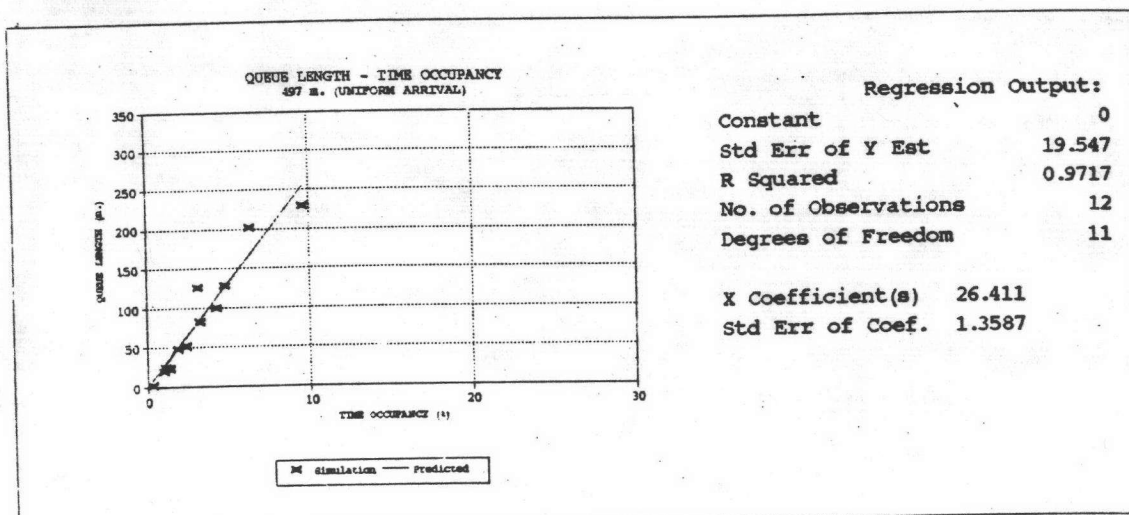
รูปที่ ก.3 กราฟความสัมพันธ์ระหว่างค่า Time Occupancy กับความยาวคิวจากการทำชิมุเลื่อน และผลการวิเคราะห์การคดดอยของเส้นตรง โดย detector อยู่ที่ตำแหน่ง 245 เมตรจากทางแยก (ขวดยานเข้าสู่ทางแยกแบบสี่เหลี่ยม)



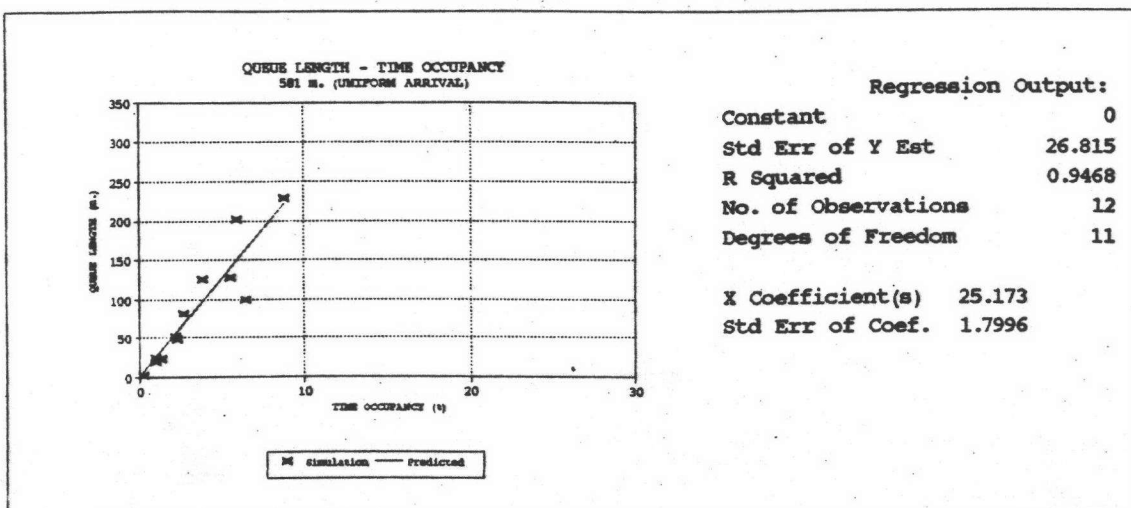
รูปที่ ก.4 กราฟความสัมพันธ์ระหว่างค่า Time Occupancy กับความยาวคิวจากการทำชิมุเลื่อน และผลการวิเคราะห์การคดดอยของเส้นตรง โดย detector อยู่ที่ตำแหน่ง 329 เมตรจากทางแยก (ขวดยานเข้าสู่ทางแยกแบบสี่เหลี่ยม)



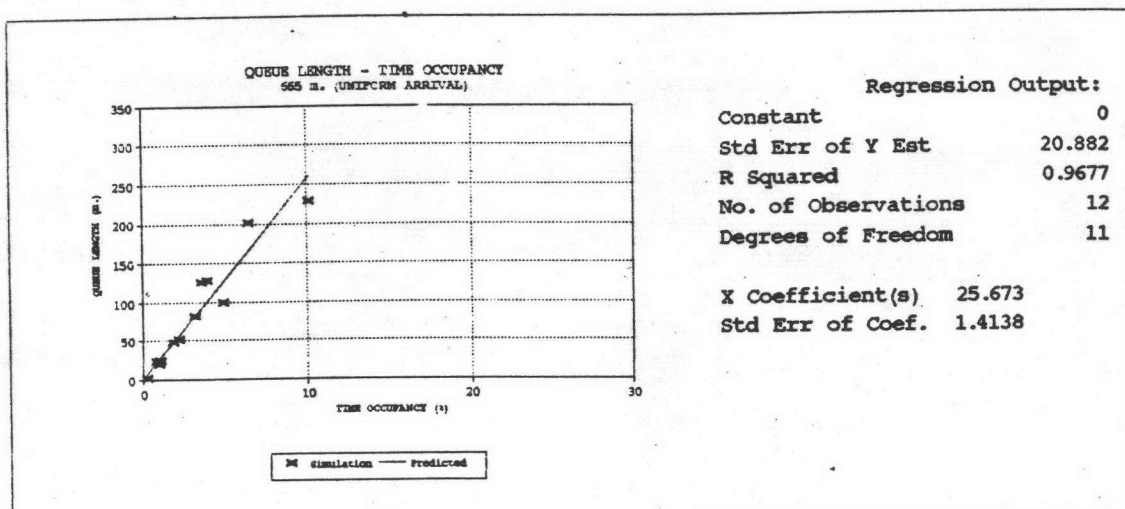
รูปที่ ค.5 กราฟความสัมพันธ์ระหว่างค่า Time Occupancy กับความยาวคิวจากการทำชิมุเลื่อน และผลการวิเคราะห์การถดถอยเชิงเส้นตรง โดย detector อยู่ที่ตำแหน่ง 413 เมตรจากทางแยก (ขอดยานเข้าสู่ทางแยกแบบسم้ำเสมอ)



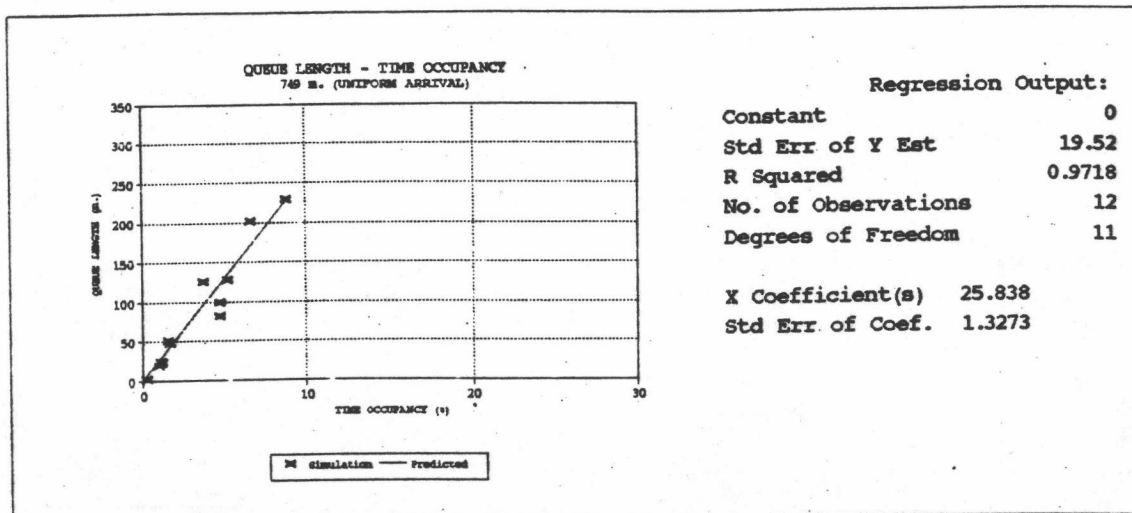
รูปที่ ค.6 กราฟความสัมพันธ์ระหว่างค่า Time Occupancy กับความยาวคิวจากการทำชิมุเลื่อน และผลการวิเคราะห์การถดถอยเชิงเส้นตรง โดย detector อยู่ที่ตำแหน่ง 497 เมตรจากทางแยก (ขอดยานเข้าสู่ทางแยกแบบสม้ำเสมอ)



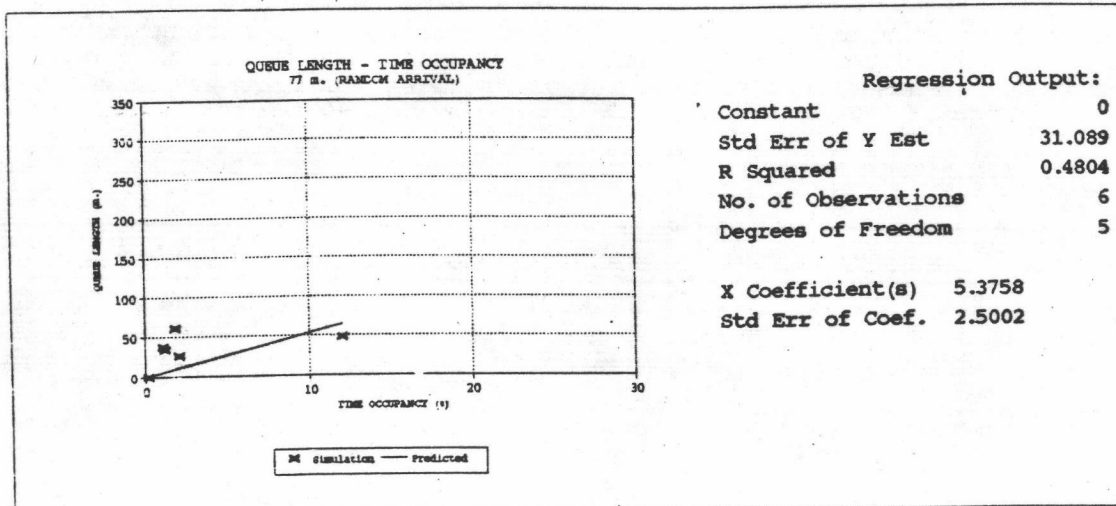
รูปที่ ค.7 กราฟความสัมพันธ์ระหว่างค่า Time Occupancy กับความยาวคิวจากการทำชิ้นเลื่อน และผลการวิเคราะห์การทดสอบเชิงเส้นตรง โดย detector อยู่ที่ตำแหน่ง 581 เมตรจากทางแยก (ยาวนานเข้าสู่ทางแยกแบบสม่ำเสมอ)



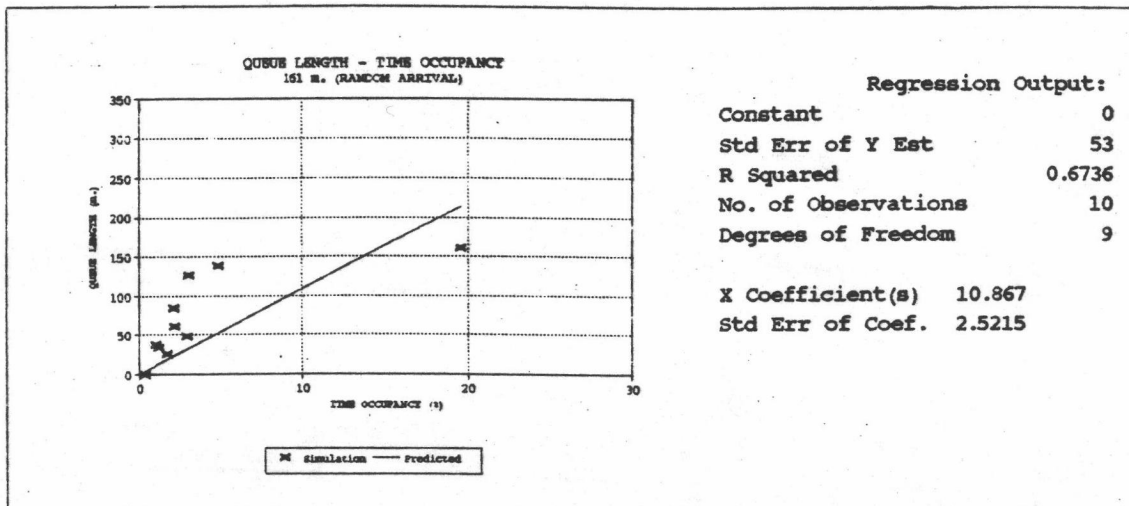
รูปที่ ค.8 กราฟความสัมพันธ์ระหว่างค่า Time Occupancy กับความยาวคิวจากการทำชิ้นเลื่อน และผลการวิเคราะห์การทดสอบเชิงเส้นตรง โดย detector อยู่ที่ตำแหน่ง 665 เมตรจากทางแยก (ยาวนานเข้าสู่ทางแยกแบบสม่ำเสมอ)



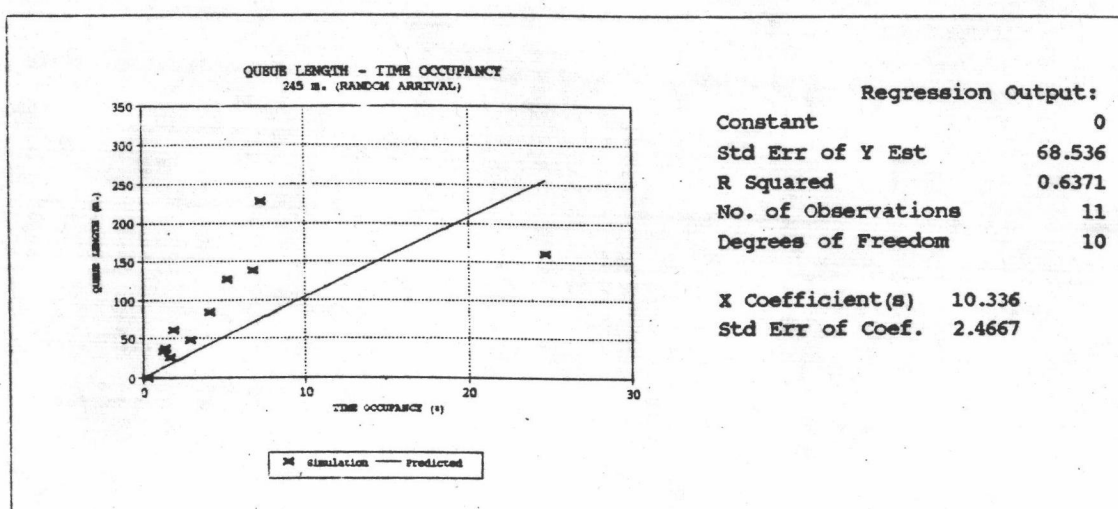
รูปที่ ค.9 กราฟความสัมพันธ์ระหว่างค่า Time Occupancy กับความยาวคิวจากการทำชิมเลี้ยง และผลการวิเคราะห์การถดถอยเชิงเส้นตรง โดย detector อุบัติค้าแห่ง 749 เมตรจากทางแยก (ยาวนานเข้าสู่ทางแยกแบบสม่ำเสมอ)



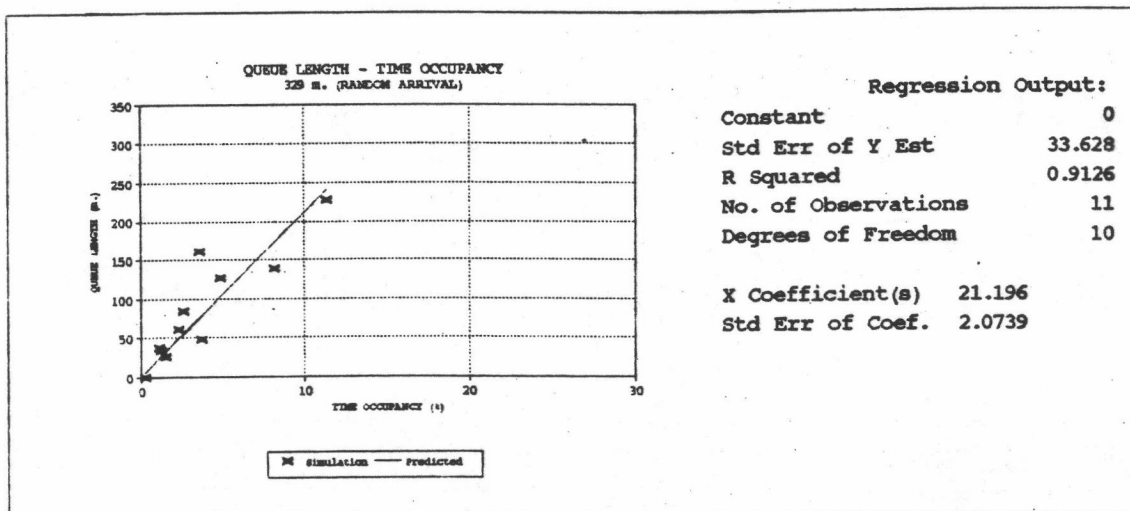
รูปที่ ค.10 กราฟความสัมพันธ์ระหว่างค่า Time Occupancy กับความยาวคิวจากการทำชิมเลี้ยง และผลการวิเคราะห์การถดถอยเชิงเส้นตรง โดย detector อุบัติค้าแห่ง 77 เมตรจากทางแยก (ยาวนานเข้าสู่ทางแยกแบบสุ่ม)



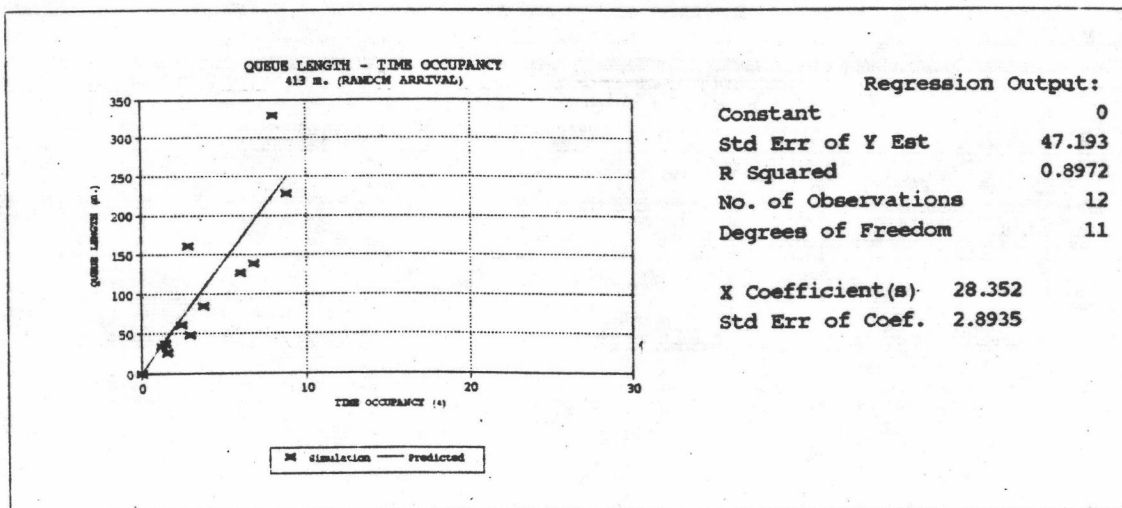
รูปที่ ค.11 กราฟความสัมพันธ์ระหว่างค่า Time Occupancy กับความยาวคิวจากการทำชิมุเลื่อน และผลการวิเคราะห์การณ์โดยใช้เส้นตรง โดย detector อยู่ที่ตำแหน่ง 161 เมตรจากทางแยก (ยาวนานเข้าสู่ทางแยกแบบสูน)



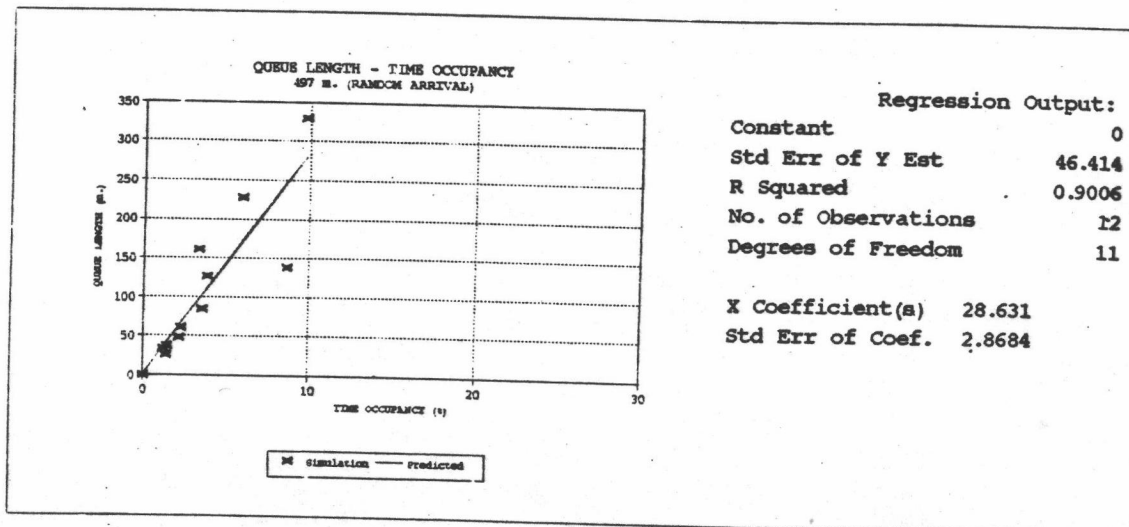
รูปที่ ค.12 กราฟความสัมพันธ์ระหว่างค่า Time Occupancy กับความยาวคิวจากการทำชิมุเลื่อน และผลการวิเคราะห์การณ์โดยใช้เส้นตรง โดย detector อยู่ที่ตำแหน่ง 245 เมตรจากทางแยก (ยาวนานเข้าสู่ทางแยกแบบสูน)



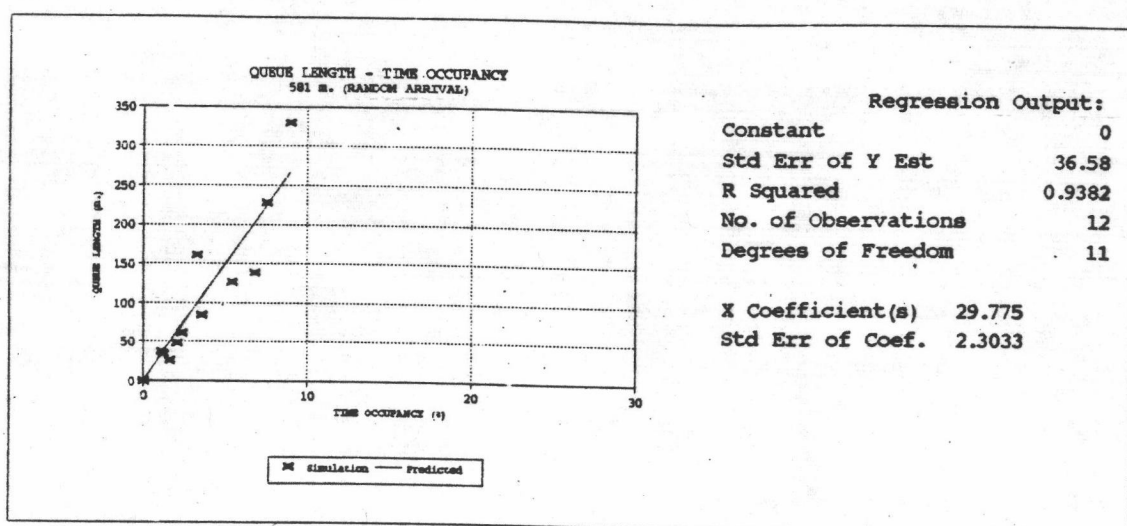
รูปที่ ค.13 กราฟความสัมพันธ์ระหว่างค่า Time Occupancy กับความยาวคิวจากการทำจิมุเลี้ยง และผลการวิเคราะห์การทดสอบเบิงเส็นตรง โดย detector อุปกรณ์ตัวหนึ่ง 329 เมตรจากทางแยก (ยาวนานเข้าสู่ทางแยกแบบสูม)



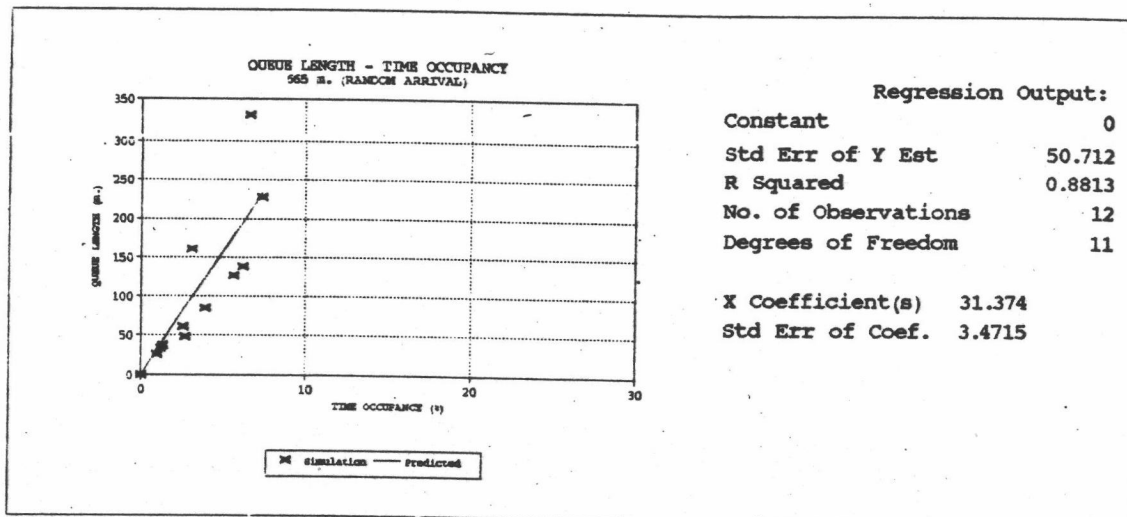
รูปที่ ค.14 กราฟความสัมพันธ์ระหว่างค่า Time Occupancy กับความยาวคิวจากการทำจิมุเลี้ยง และผลการวิเคราะห์การทดสอบเบิงเส็นตรง โดย detector อุปกรณ์ตัวหนึ่ง 413 เมตรจากทางแยก (ยาวนานเข้าสู่ทางแยกแบบสูม)



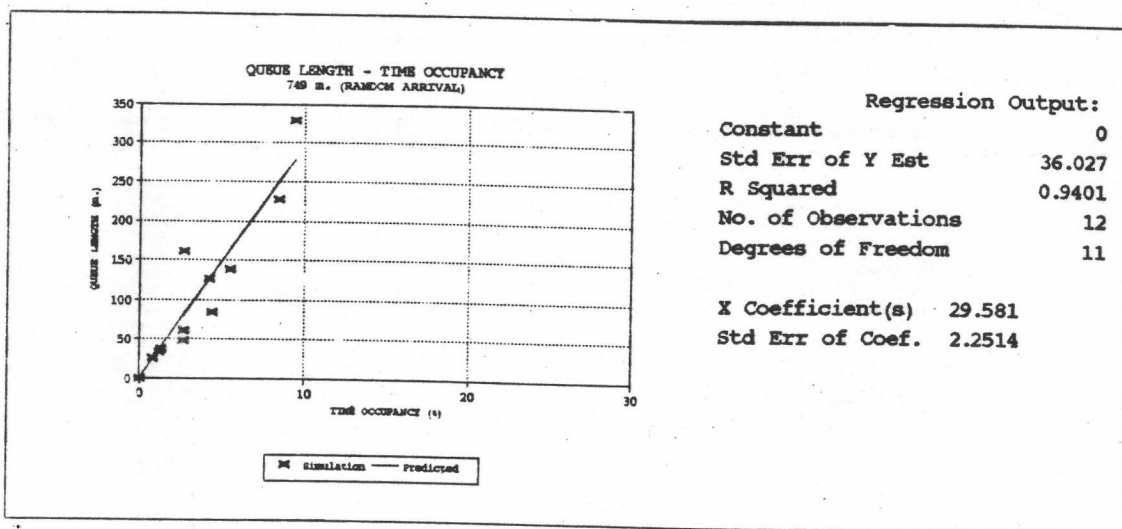
รูปที่ ค.15 กราฟความสัมพันธ์ระหว่างค่า Time Occupancy กับความยาวคิวจากการทำชิมุเลชั่น และผลการวิเคราะห์การถดถอยเชิงเส้นตรง โดย detector อุปกรณ์ตัวหน้างาน 497 เมตรจากทางแยก (ขากบานเข้าสู่ทางแยกแบบสี่แยก)



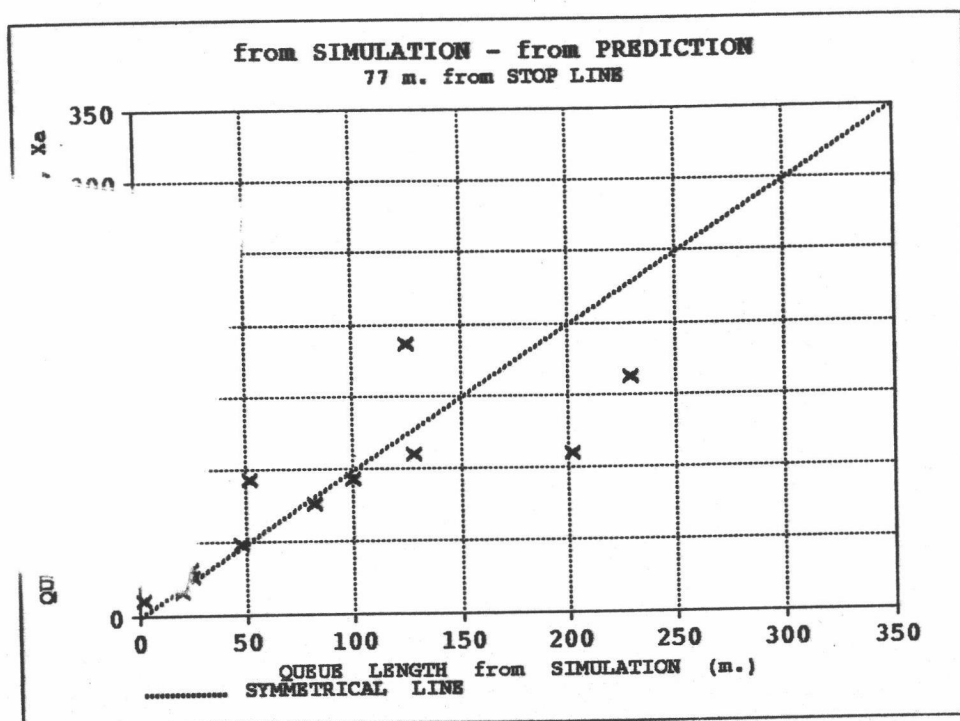
รูปที่ ค.16 กราฟความสัมพันธ์ระหว่างค่า Time Occupancy กับความยาวคิวจากการทำชิมุเลชั่น และผลการวิเคราะห์การถดถอยเชิงเส้นตรง โดย detector อุปกรณ์ตัวหน้างาน 581 เมตรจากทางแยก (ขากบานเข้าสู่ทางแยกแบบสี่แยก)



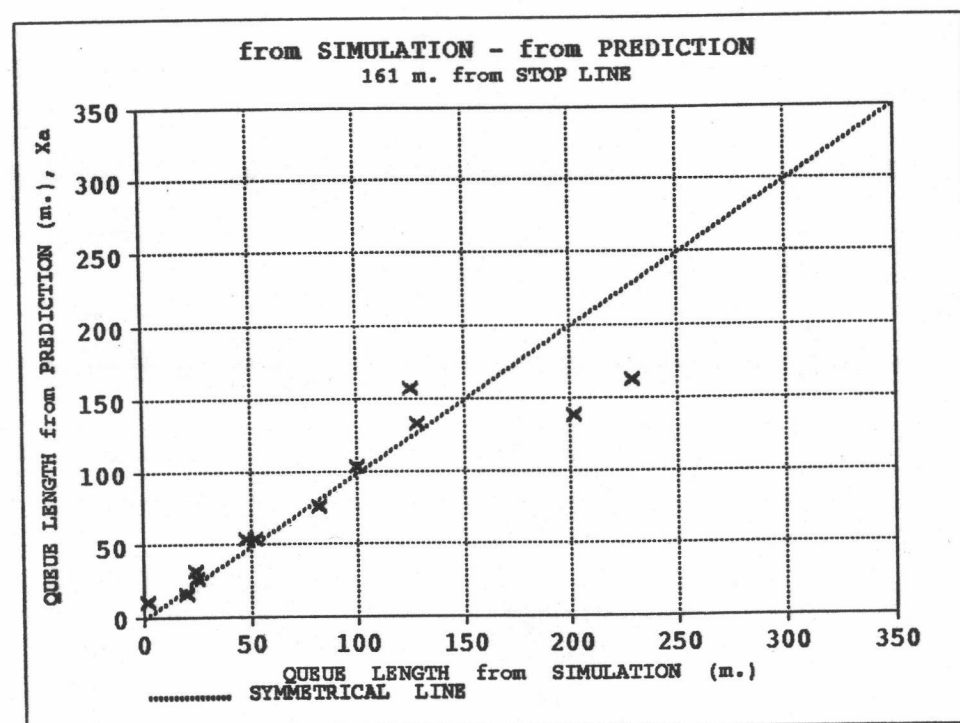
รูปที่ ค.17 กราฟความสัมพันธ์ระหว่างค่า Time Occupancy กับความยาวคิวจากการทำชิมุเลื่อน และผลการวิเคราะห์การถดถอยเชิงเส้นตรง โดย detector อุบล คำแห่ง 665 เมตรจากทางแยก (ยาวนานเข้าสู่ทางแยกแบบสุ่ม)



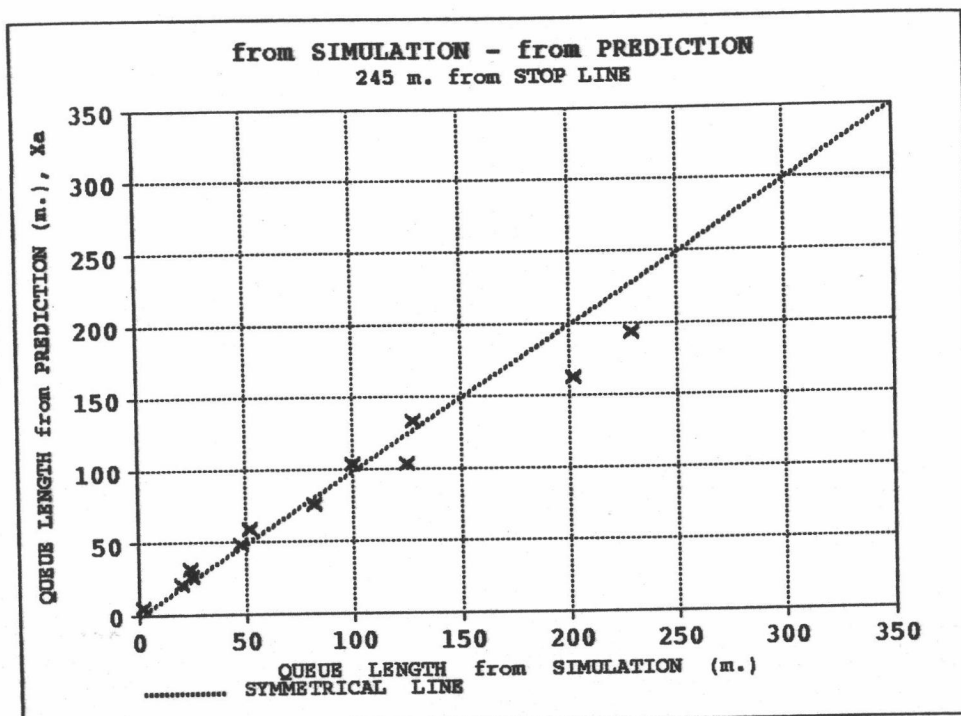
รูปที่ ค.18 กราฟความสัมพันธ์ระหว่างค่า Time Occupancy กับความยาวคิวจากการทำชิมุเลื่อน และผลการวิเคราะห์การถดถอยเชิงเส้นตรง โดย detector อุบล คำแห่ง 749 เมตรจากทางแยก (ยาวนานเข้าสู่ทางแยกแบบสุ่ม)



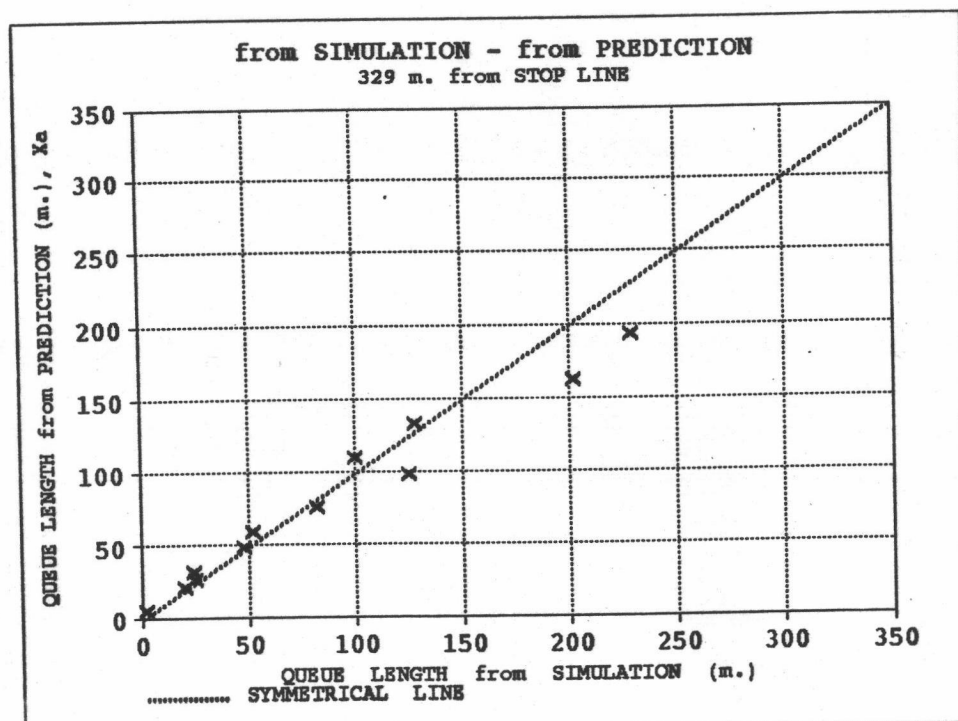
รูปที่ ค.19 เปรียบเทียบความยาวคิวที่ได้จากชิมเลื่อนกับความยาวคิวเมื่อสิ่นสุคสัญญาณไฟแดง (X_a) ที่คำนวณจากแบบจำลองของ Greenshield โดย detector อยู่ที่ตำแหน่ง 77 เมตรจากทางแยก (ยาวนานเข้าสู่ทางแยกแบบสำเร็จ)



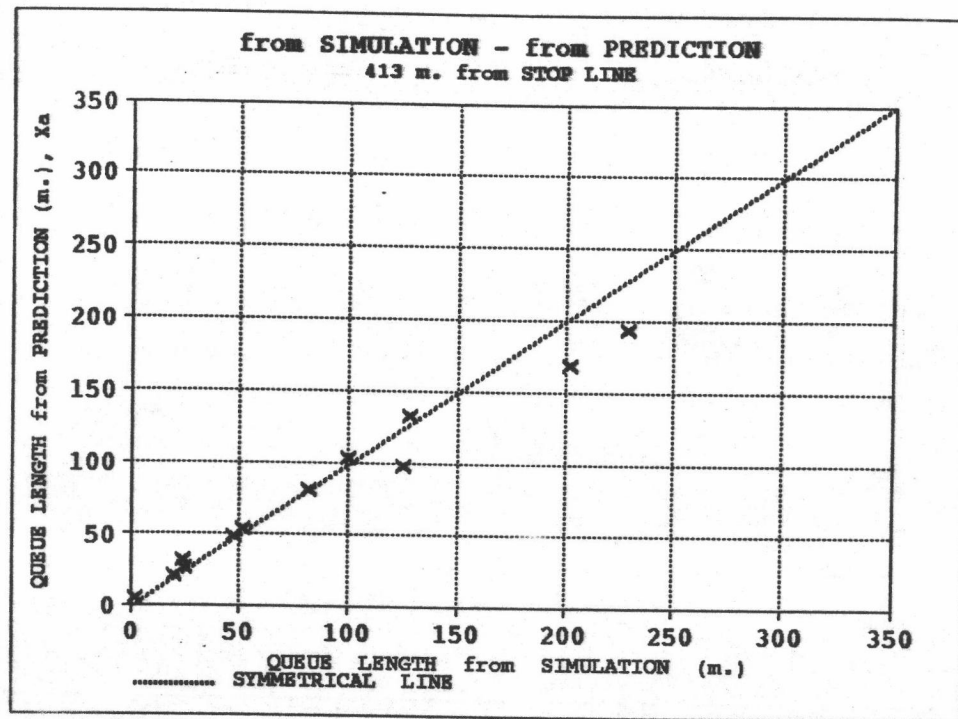
รูปที่ ค.20 เปรียบเทียบความยาวคิวที่ได้จากชิมเลื่อนกับความยาวคิวเมื่อสิ่นสุคสัญญาณไฟแดง (X_a) ที่คำนวณจากแบบจำลองของ Greenshield โดย detector อยู่ที่ตำแหน่ง 161 เมตรจากทางแยก (ยาวนานเข้าสู่ทางแยกแบบสำเร็จ)



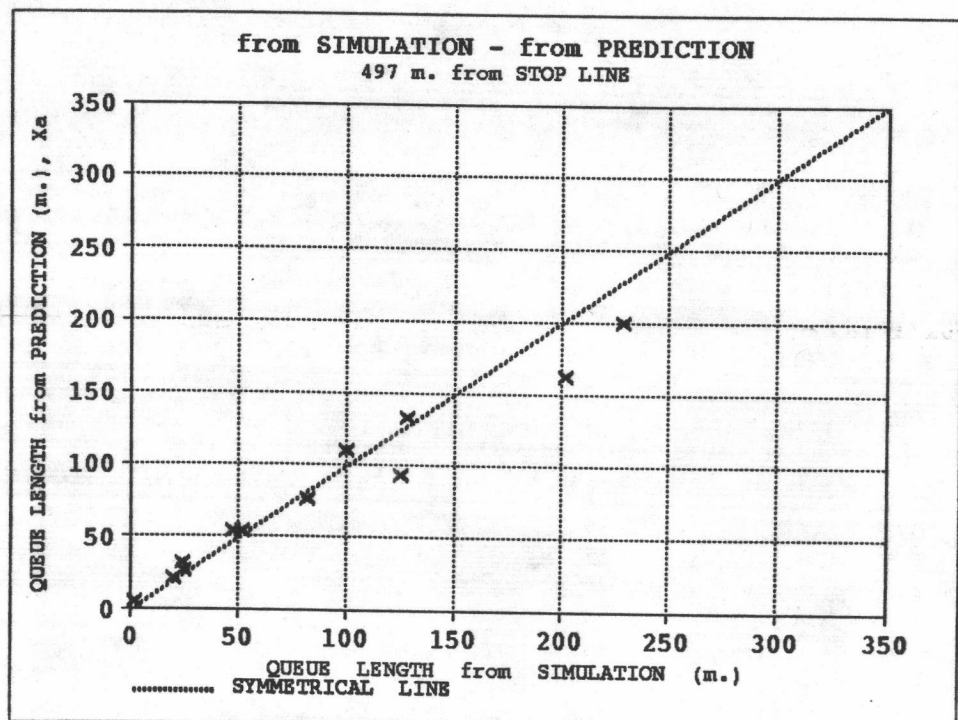
รูปที่ ค.21 เปรียบเทียบความยาวคิวที่ได้จากการซิมูลे�ชันกับความยาวคิวเมื่อสั่นสุดสัญญาณไฟแดง (X_A) ที่คำนวณจากแบบจำลองของ Greenshield โดย detector อยู่ที่ตำแหน่ง 245 เมตรจากทางแยก (ขาดยานเข้าสู่ทางแยกแบบสม่ำเสมอ)



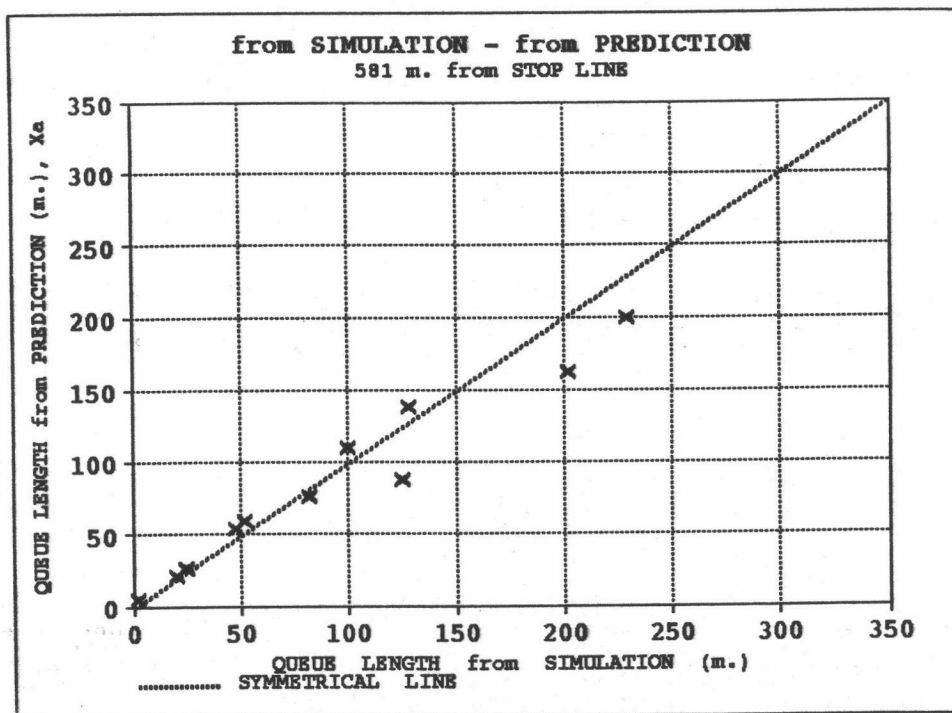
รูปที่ ค.22 เปรียบเทียบความยาวคิวที่ได้จากการซิมูลे�ชันกับความยาวคิวเมื่อสั่นสุดสัญญาณไฟแดง (X_A) ที่คำนวณจากแบบจำลองของ Greenshield โดย detector อยู่ที่ตำแหน่ง 329 เมตรจากทางแยก (ขาดยานเข้าสู่ทางแยกแบบสม่ำเสมอ)



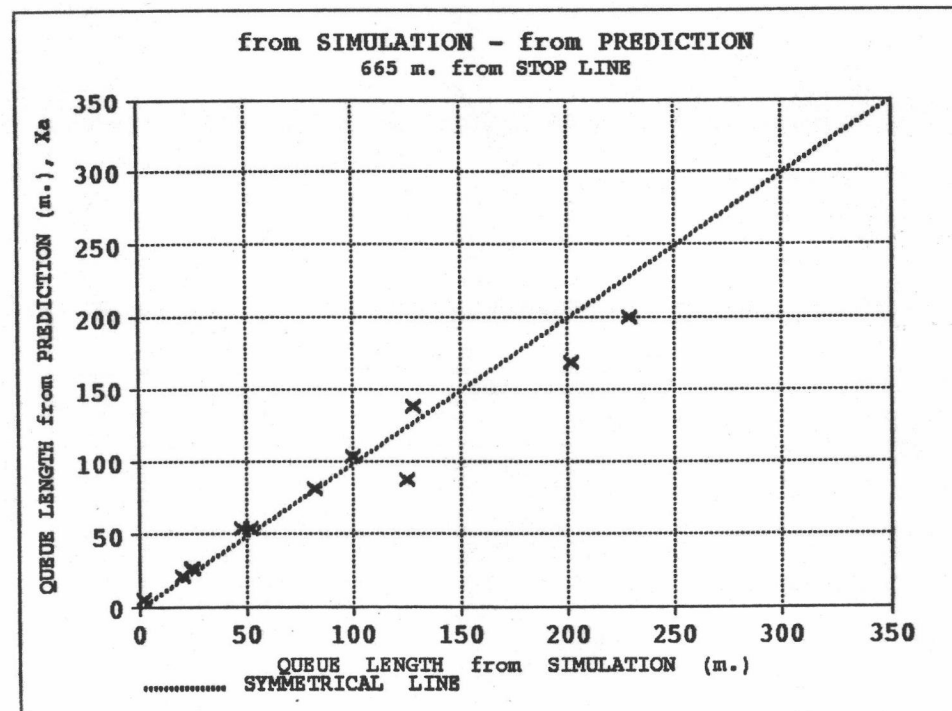
รูปที่ ค.23 เปรียบเทียบความยาวคิวที่ได้จากชิมเลื่อนกับความยาวคิวเมื่อสั่นสุดสัญญาณไฟแดง (X_A) ที่คำนวณจากแบบจำลองของ Greenshield โดย detector อยู่ที่ตำแหน่ง 413 เมตรจากทางแยก (ยาวนานเข้าสู่ทางแยกแบบสำเร็จ)



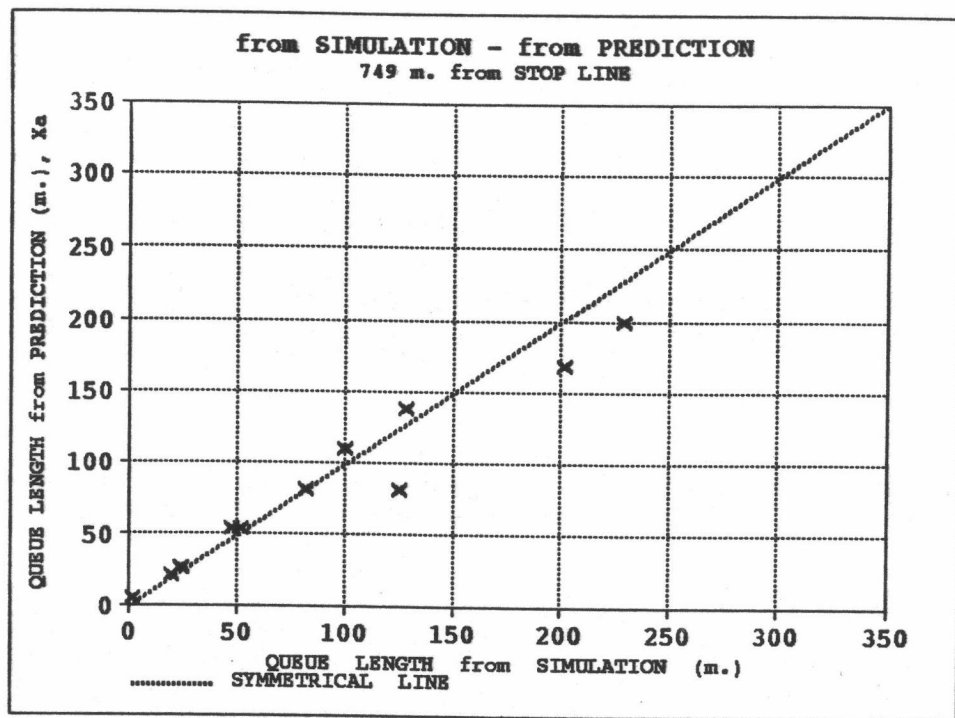
รูปที่ ค.24 เปรียบเทียบความยาวคิวที่ได้จากชิมเลื่อนกับความยาวคิวเมื่อสั่นสุดสัญญาณไฟแดง (X_A) ที่คำนวณจากแบบจำลองของ Greenshield โดย detector อยู่ที่ตำแหน่ง 497 เมตรจากทางแยก (ยาวนานเข้าสู่ทางแยกแบบสำเร็จ)



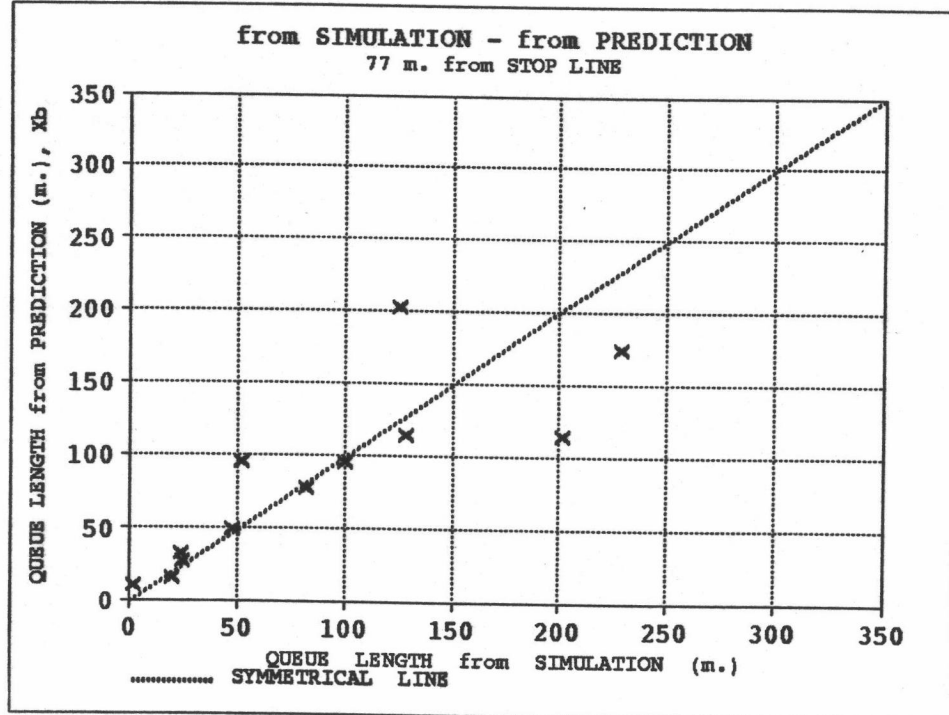
รูปที่ ค.25 เปรียบเทียบความยาวคิวที่ได้จากชิมเลื่อนกับความยาวคิวเมื่อสัมสุดสัญญาณไฟแดง (X_A) ที่คำนวณจากแบบจำลองของ Greenshield โดย detector อยู่ที่ตำแหน่ง 581 เมตรจากทางแยก (ยาวนานเข้าสู่ทางแยกแบบสม่ำเสมอ)



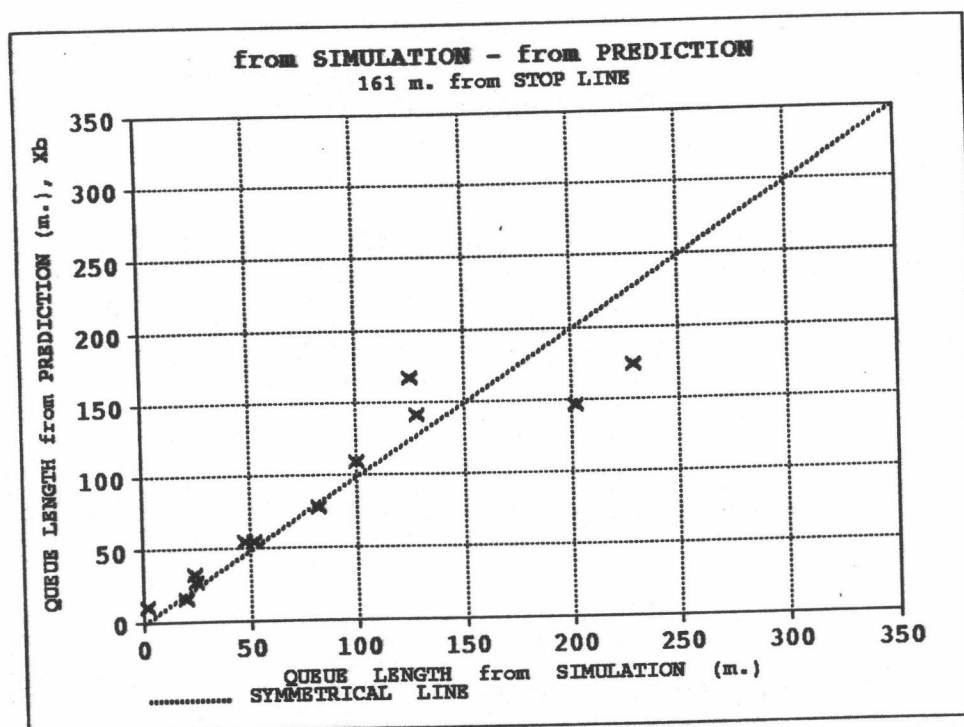
รูปที่ ค.26 เปรียบเทียบความยาวคิวที่ได้จากชิมเลื่อนกับความยาวคิวเมื่อสัมสุดสัญญาณไฟแดง (X_A) ที่คำนวณจากแบบจำลองของ Greenshield โดย detector อยู่ที่ตำแหน่ง 665 เมตรจากทางแยก (ยาวนานเข้าสู่ทางแยกแบบสม่ำเสมอ)



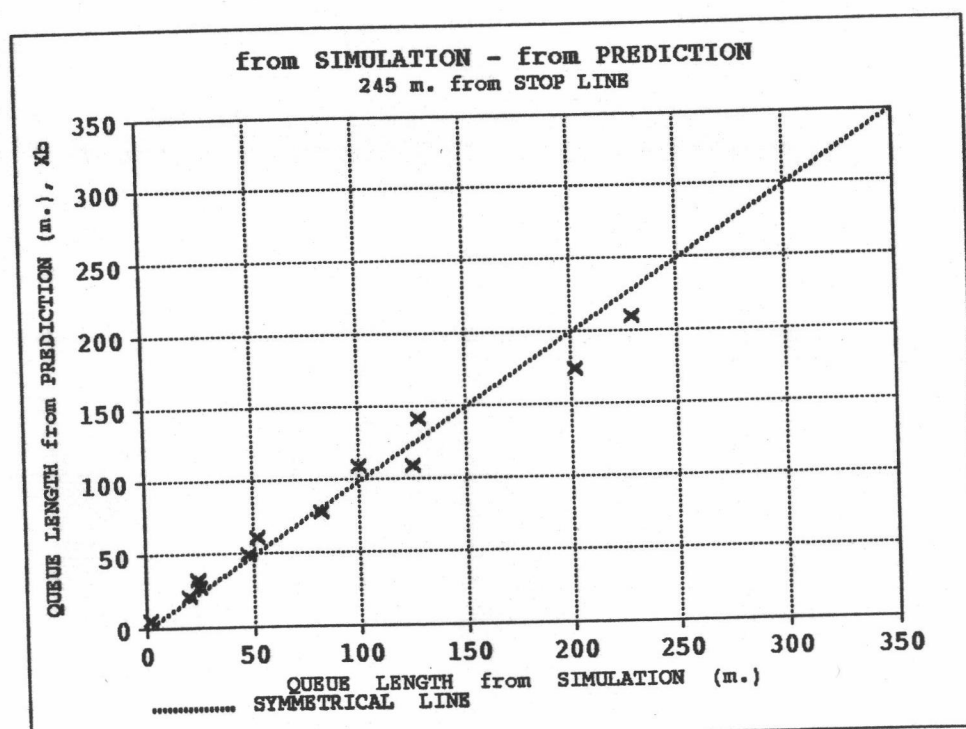
รูปที่ ค.27 เปรียบเทียบความยาวคิวที่ได้จากชิมเลื่อนกับความยาวคิวเมื่อสั่นสุดสัญญาณไฟแดง (X_a) ที่คำนวณจากแบบจำลองของ Greenshield โดย detector อยู่ที่ตำแหน่ง 749 เมตรจากทางแยก (ยาวนานเข้าสู่ทางแยกแบบสม่ำเสมอ)



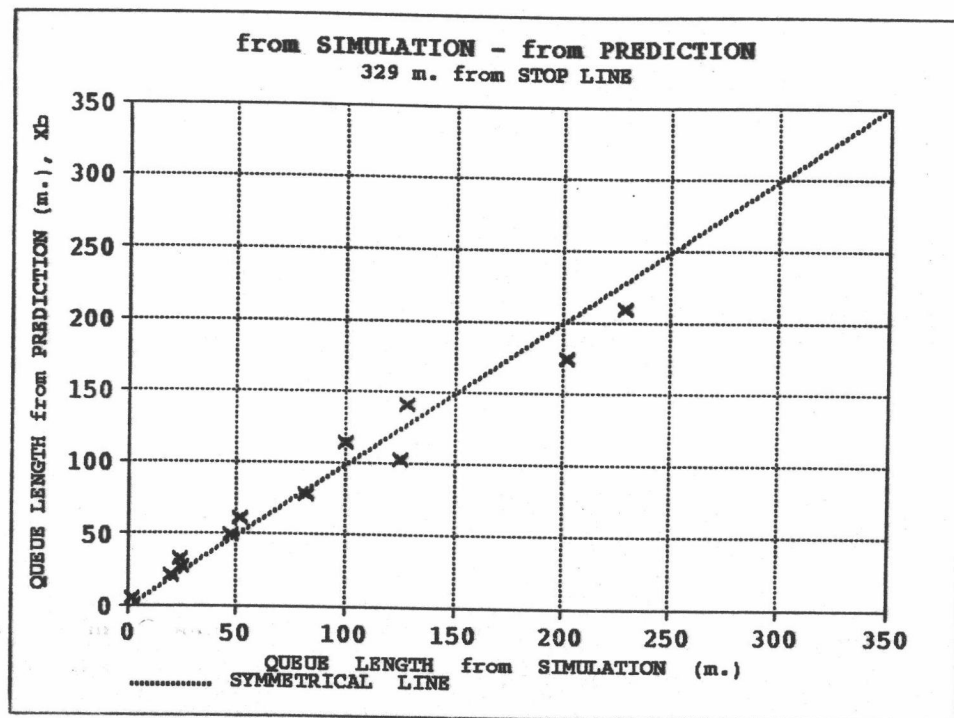
รูปที่ ค.28 เปรียบเทียบความยาวคิวที่ได้จากชิมเลื่อนกับความยาวคิวสูงสุด (X_b) ที่คำนวณจากแบบจำลองของ Greenshield โดย detector อยู่ที่ตำแหน่ง 77 เมตรจากทางแยก (ยาวนานเข้าสู่ทางแยกแบบสม่ำเสมอ)



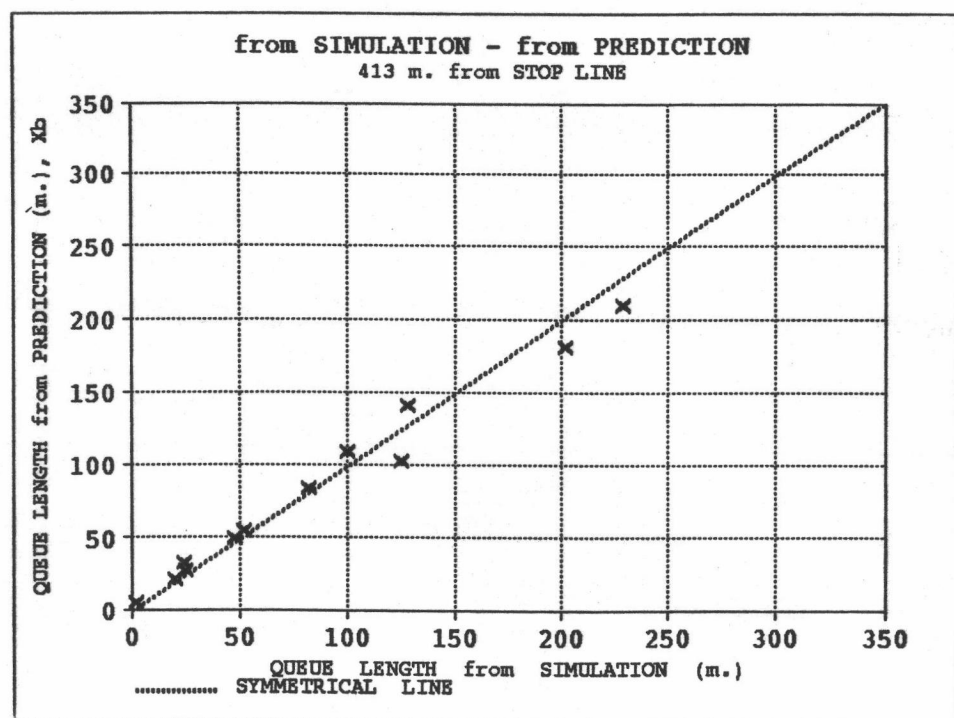
รูปที่ ค.29 เปรียบเทียบความยาวคิวที่ได้จากชิมุเลร์นกับความยาวคิวสูงสุด (X_B) ที่คำนวณจากแบบจำลองของ Greenshield โดย detector อยู่ที่ตำแหน่ง 161 เมตร จากทางแยก (ยาวนานเข้าสู่ทางแยกแบบสม่ำเสมอ)



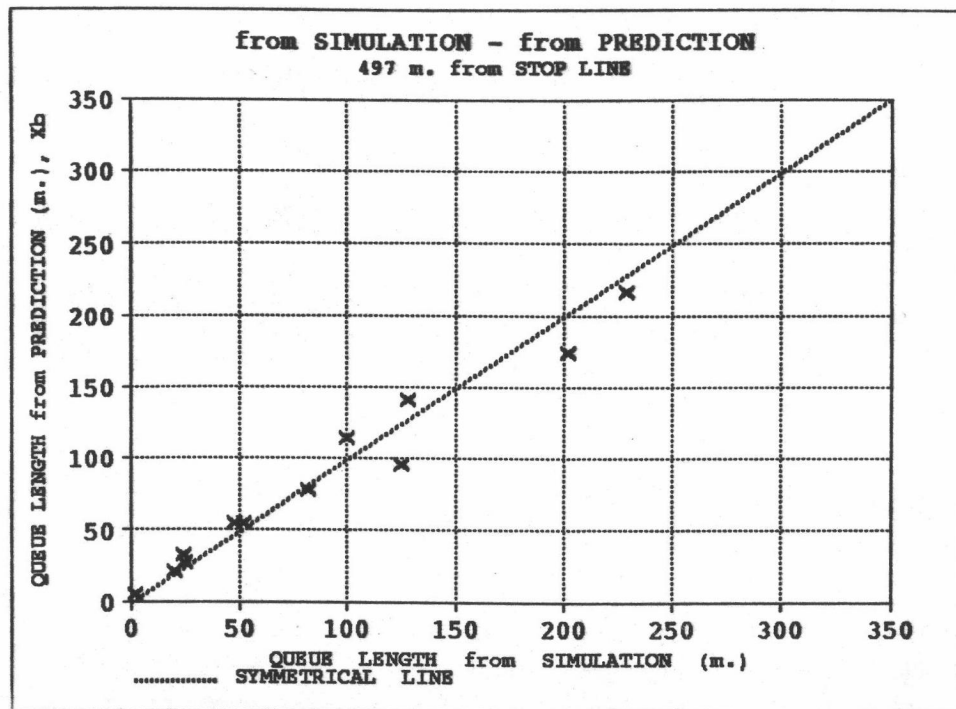
รูปที่ ค.30 เปรียบเทียบความยาวคิวที่ได้จากชิมุเลร์นกับความยาวคิวสูงสุด (X_B) ที่คำนวณจากแบบจำลองของ Greenshield โดย detector อยู่ที่ตำแหน่ง 245 เมตร จากทางแยก (ยาวนานเข้าสู่ทางแยกแบบสม่ำเสมอ)



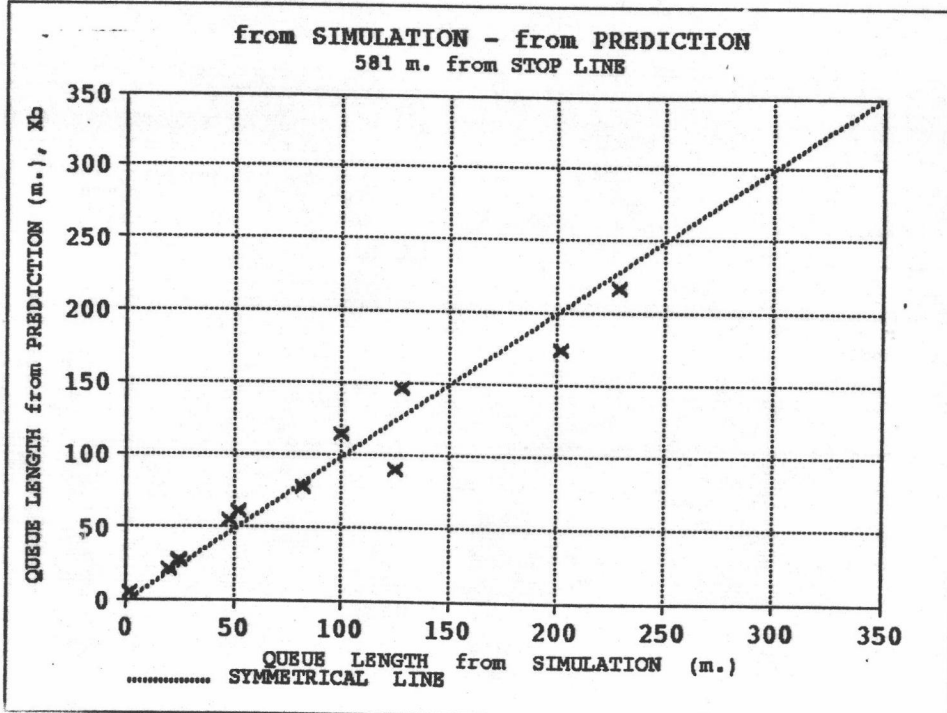
รูปที่ ค.31 เปรียบเทียบความยาวคิวที่ได้จากชิมเลื่อนกับความยาวคิวสูงสุด (X_B) ที่คำนวณจากแบบจำลองของ Greenshield โดย detector อยู่ที่ตำแหน่ง 329 เมตรจากทางแยก (ယอดยานเข้าสู่ทางแยกแบบสม่ำเสมอ)



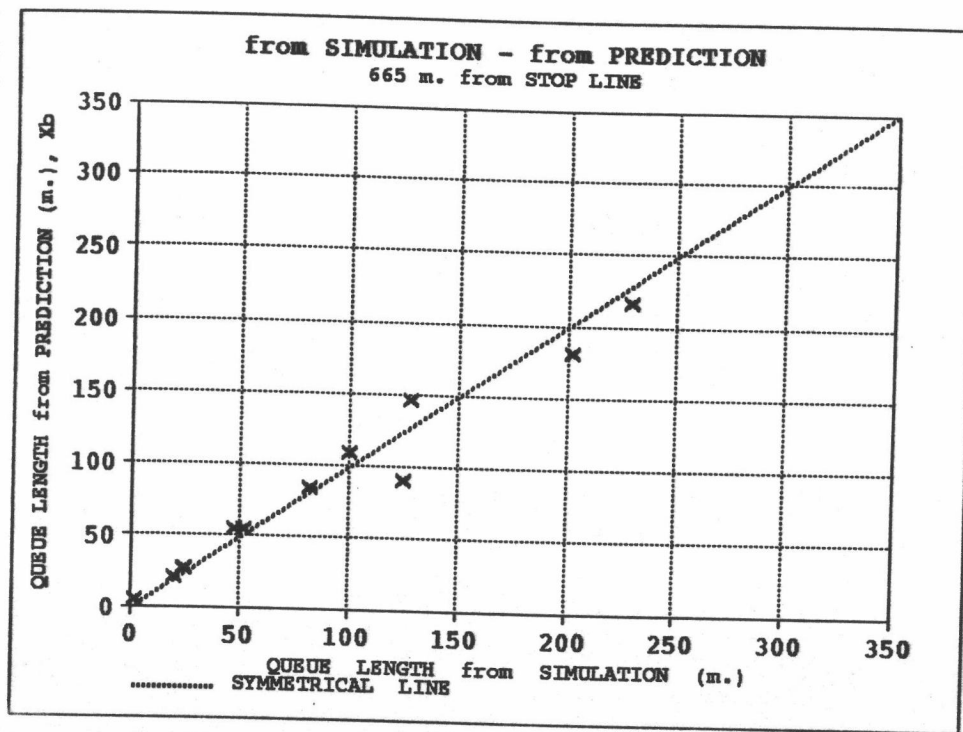
รูปที่ ค.32 เปรียบเทียบความยาวคิวที่ได้จากชิมเลื่อนกับความยาวคิวสูงสุด (X_B) ที่คำนวณจากแบบจำลองของ Greenshield โดย detector อยู่ที่ตำแหน่ง 413 เมตรจากทางแยก (ယอดยานเข้าสู่ทางแยกแบบสม่ำเสมอ)



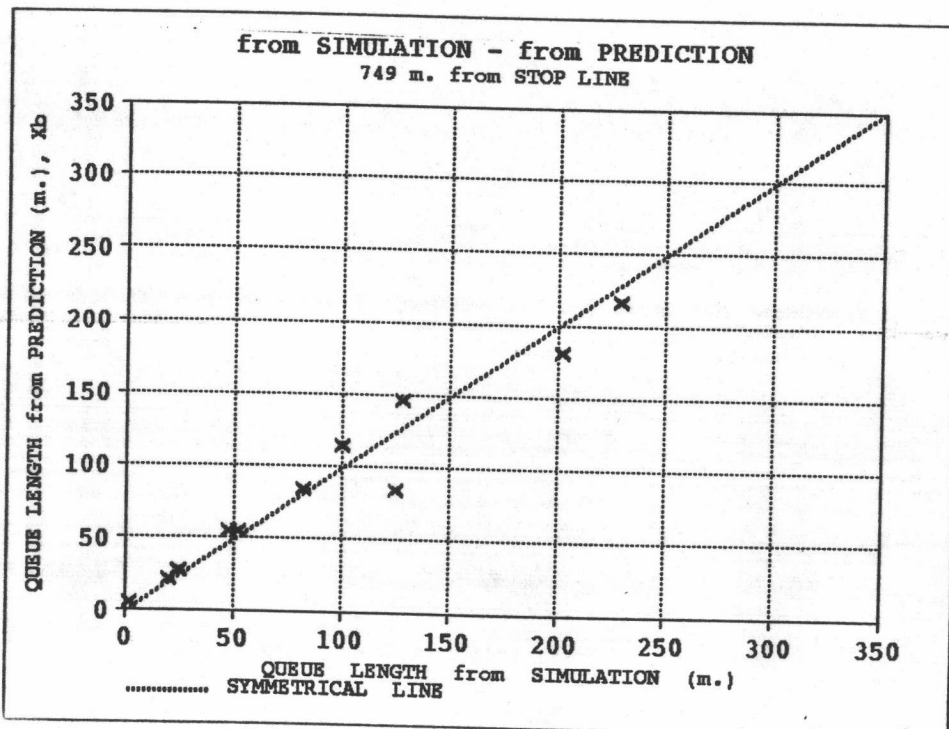
รูปที่ ก.33 เปรียบเทียบความยาวคิวที่ได้จากชิ้นเลื่อนกับความยาวคิวสูงสุด (X_B) ที่คำนวณจากแบบจำลองของ Greenshield โดย detector อยู่ที่ตำแหน่ง 497 เมตรจากทางแยก (ยวดยานเข้าสู่ทางแยกแบบสม่ำเสมอ)



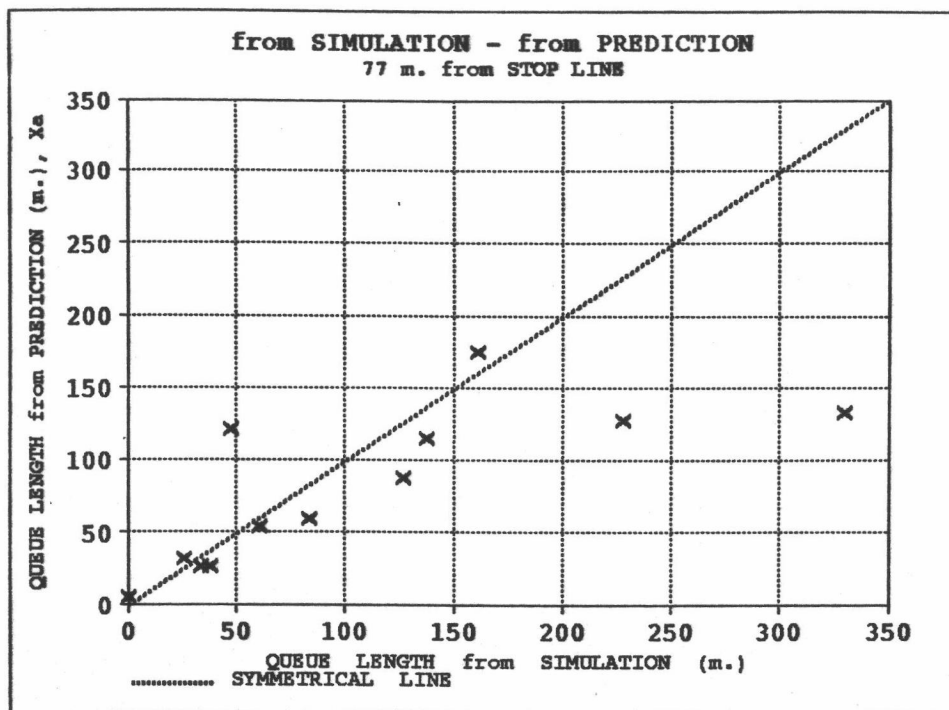
รูปที่ ก.34 เปรียบเทียบความยาวคิวที่ได้จากชิ้นเลื่อนกับความยาวคิวสูงสุด (X_B) ที่คำนวณจากแบบจำลองของ Greenshield โดย detector อยู่ที่ตำแหน่ง 581 เมตรจากทางแยก (ยวดยานเข้าสู่ทางแยกแบบสม่ำเสมอ)



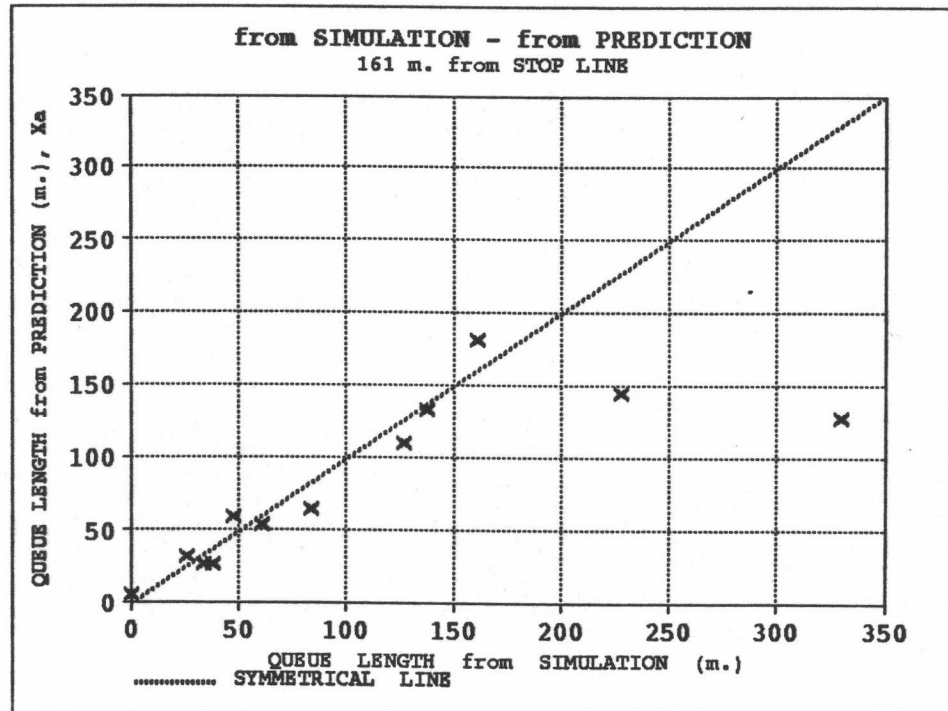
รูปที่ ค.35 เปรียบเทียบความยาวคิวที่ได้จากชิมุเลชั่นกับความยาวคิวสูงสุด (X_B) ที่คำนวณจากแบบจำลองของ Greenshield โดย detector อยู่ที่ตำแหน่ง 665 เมตรจากทางแยก (ยาวนานเข้าสู่ทางแยกแบบสม่ำเสมอ)



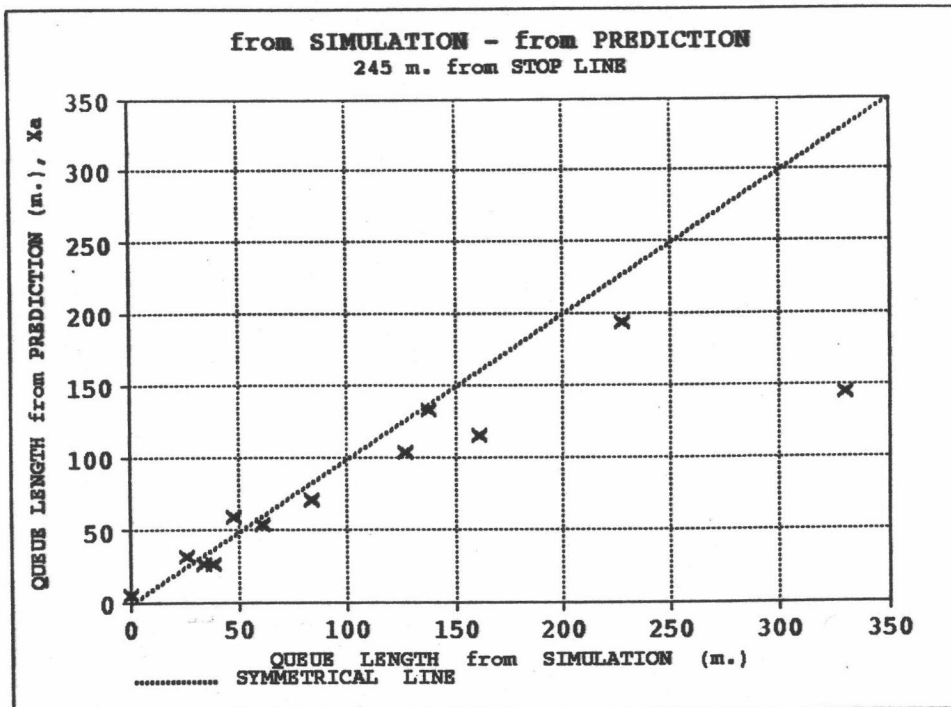
รูปที่ ค.36 เปรียบเทียบความยาวคิวที่ได้จากชิมุเลชั่นกับความยาวคิวสูงสุด (X_B) ที่คำนวณจากแบบจำลองของ Greenshield โดย detector อยู่ที่ตำแหน่ง 749 เมตรจากทางแยก (ยาวนานเข้าสู่ทางแยกแบบสม่ำเสมอ)



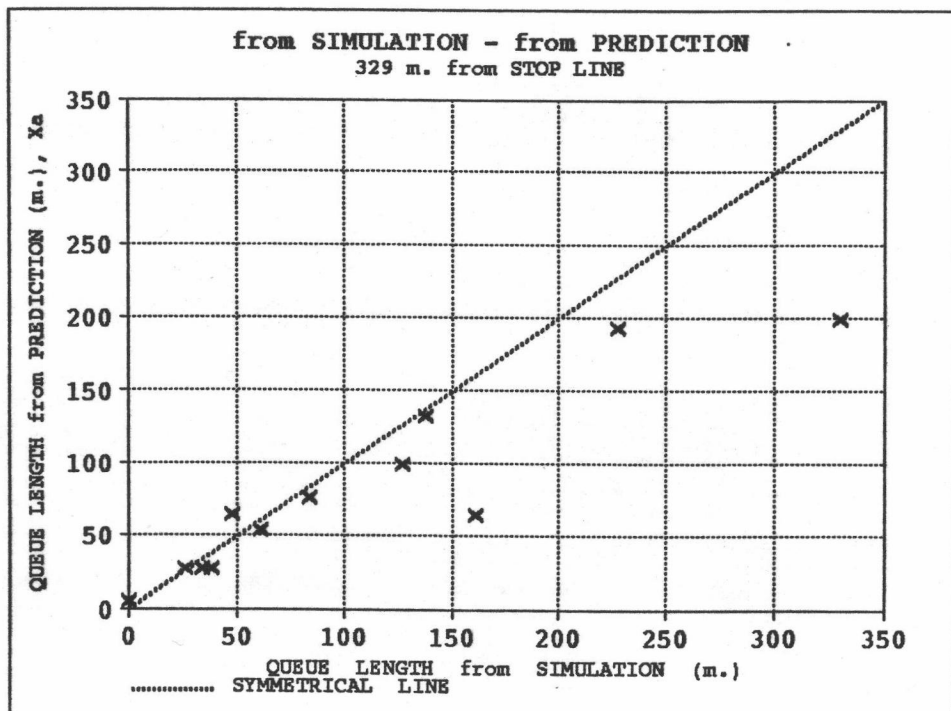
รูปที่ ค.37 เปรียบเทียบความยาวคิวที่ได้จากการซิมูลেชันกับความยาวคิวเมื่อสั่นสุดสัญญาณไฟแดง (X_a) ที่คำนวณจากแบบจำลองของ Greenshield โดย detector อุบัติค้าแห่งนั้น 77 เมตรจากทางแยก (ยาวนานเข้าสู่ทางแยกแบบสั่น)



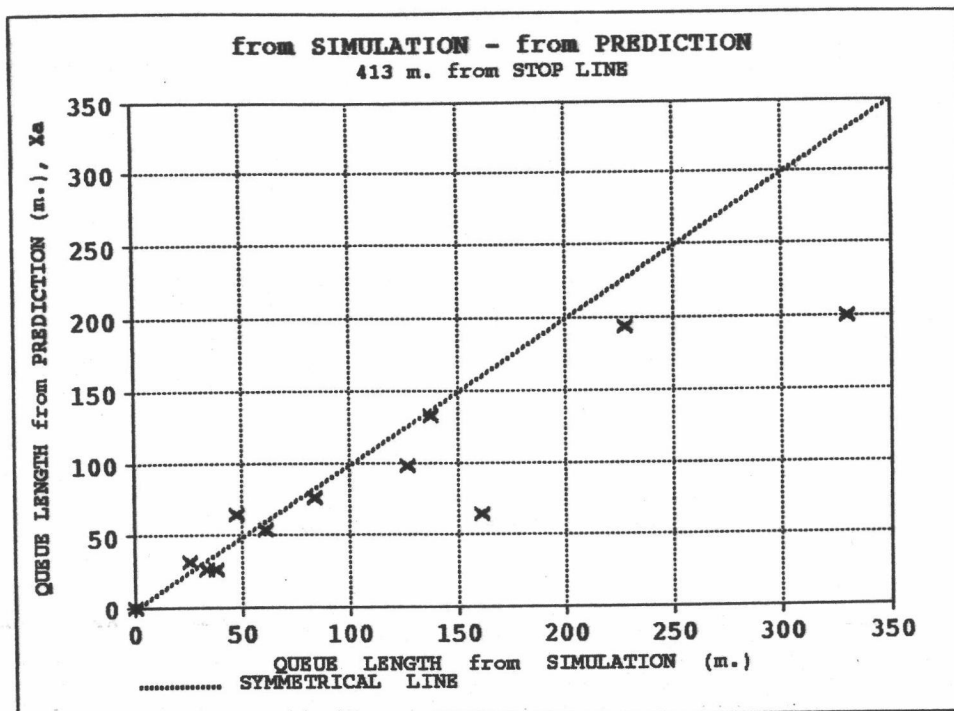
รูปที่ ค.38 เปรียบเทียบความยาวคิวที่ได้จากการซิมูละชันกับความยาวคิวเมื่อสั่นสุดสัญญาณไฟแดง (X_a) ที่คำนวณจากแบบจำลองของ Greenshield โดย detector อุบัติค้าแห่งนั้น 161 เมตรจากทางแยก (ยาวนานเข้าสู่ทางแยกแบบสั่น)



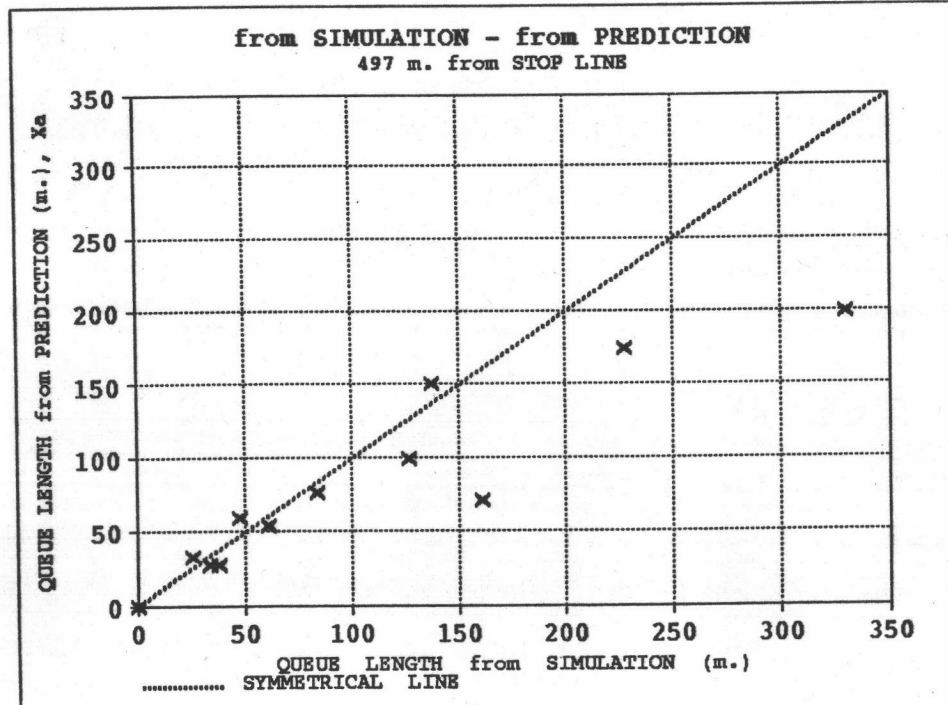
รูปที่ ค.39 เปรียบเทียบความยาวคิวที่ได้จากชิ้นเลื่อนกับความยาวคิวเมื่อสัมผัสรุ่นไฟแคง (X_A) ที่คำนวณจากแบบจำลองของ Greenshield โดย detector อยู่ที่ตำแหน่ง 245 เมตรจากทางแยก (ยาวนานเข้าสู่ทางแยกแบบสัม)



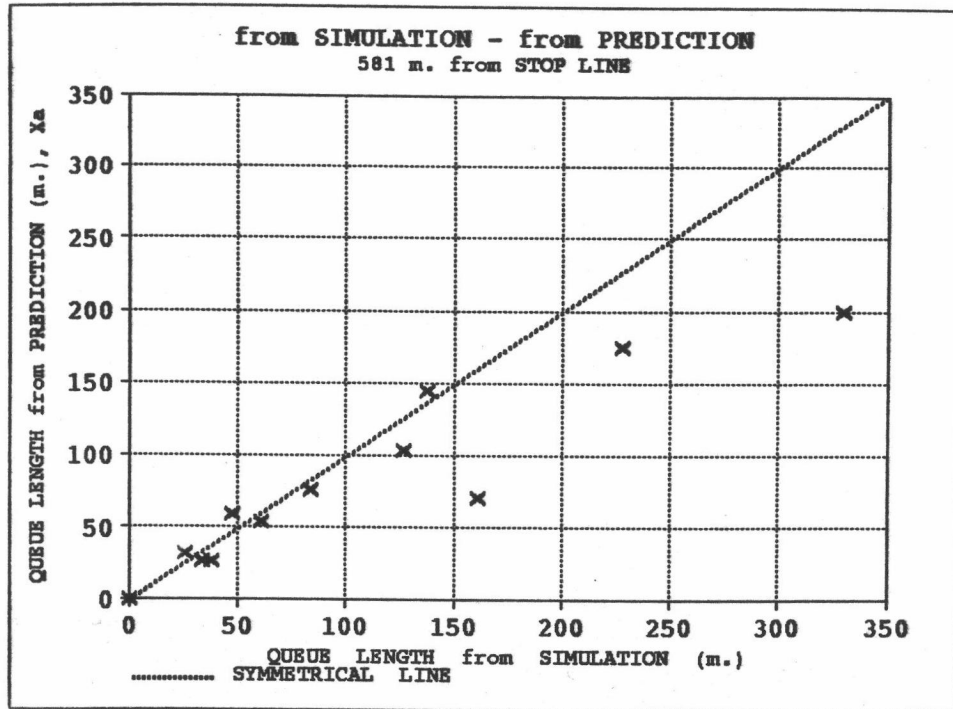
รูปที่ ค.40 เปรียบเทียบความยาวคิวที่ได้จากชิ้นเลื่อนกับความยาวคิวเมื่อสัมผัสรุ่นไฟแคง (X_A) ที่คำนวณจากแบบจำลองของ Greenshield โดย detector อยู่ที่ตำแหน่ง 329 เมตรจากทางแยก (ยาวนานเข้าสู่ทางแยกแบบสัม)



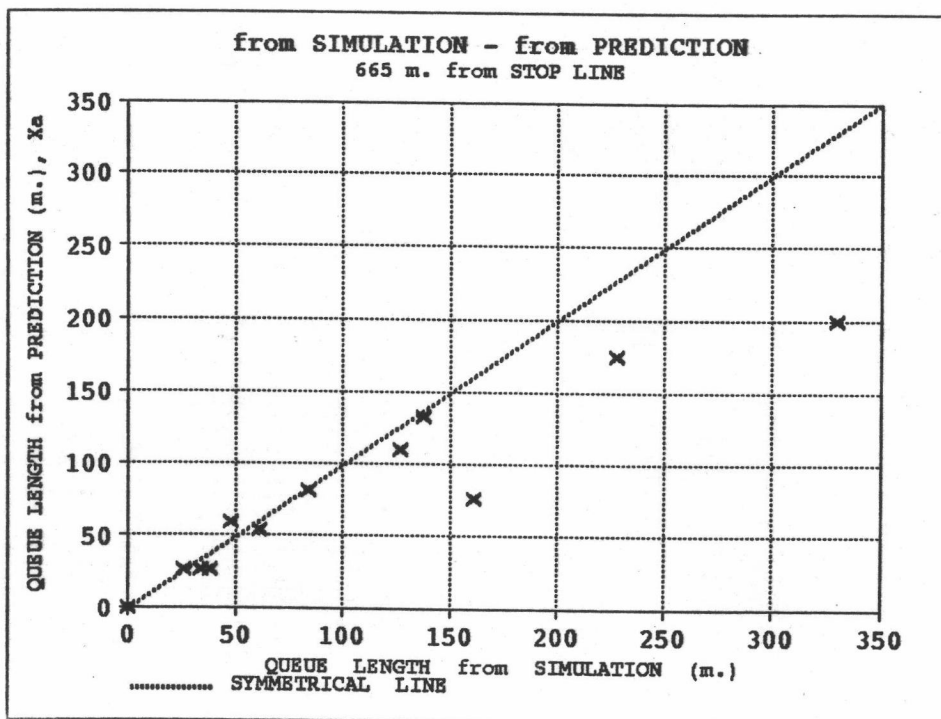
รูปที่ ค.41 เปรียบเทียบความยาวคิวที่ได้จากชิมเลื่อนกับความยาวคิวเมื่อสั่นสุดสัญญาณไฟแดง (X_A) ที่คำนวณแบบจำลองของ Greenshield โดย detector อยู่ที่ตำแหน่ง 413 เมตรจากทางแยก (ยาวนานเข้าสู่ทางแยกแบบสั่น)



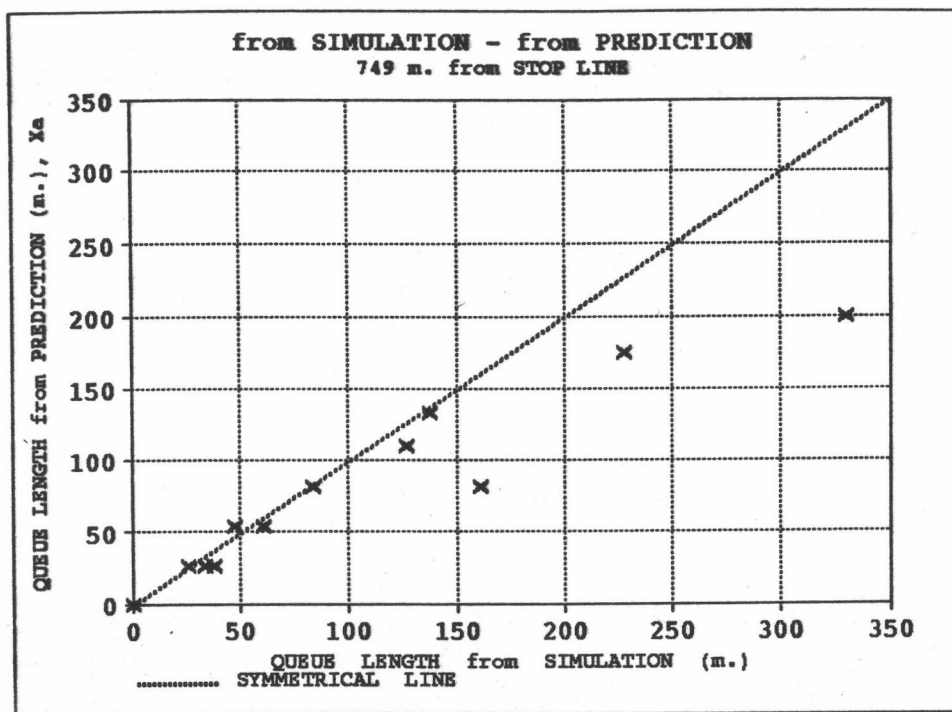
รูปที่ ค.42 เปรียบเทียบความยาวคิวที่ได้จากชิมเลื่อนกับความยาวคิวเมื่อสั่นสุดสัญญาณไฟแดง (X_A) ที่คำนวณแบบจำลองของ Greenshield โดย detector อยู่ที่ตำแหน่ง 497 เมตรจากทางแยก (ยาวนานเข้าสู่ทางแยกแบบสั่น)



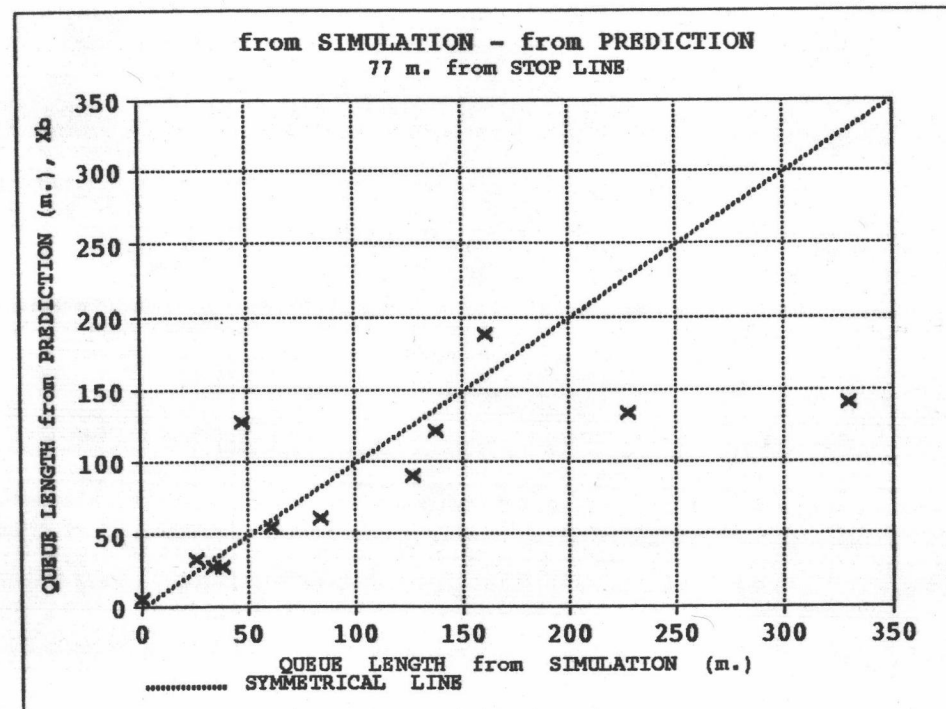
รูปที่ ค.43 เปรียบเทียบความยาวคิวที่ได้จากชิมุเลชั่นกับความยาวคิวเมื่อสั่นสุดสัญญาณไฟแดง (X_a) ที่คำนวณจากแบบจำลองของ Greenshield โดย detector อยู่ที่ต่าแห่ง 581 เมตรจากทางแยก (คาดหมายเข้าสู่ทางแยกแบบสุ่ม)



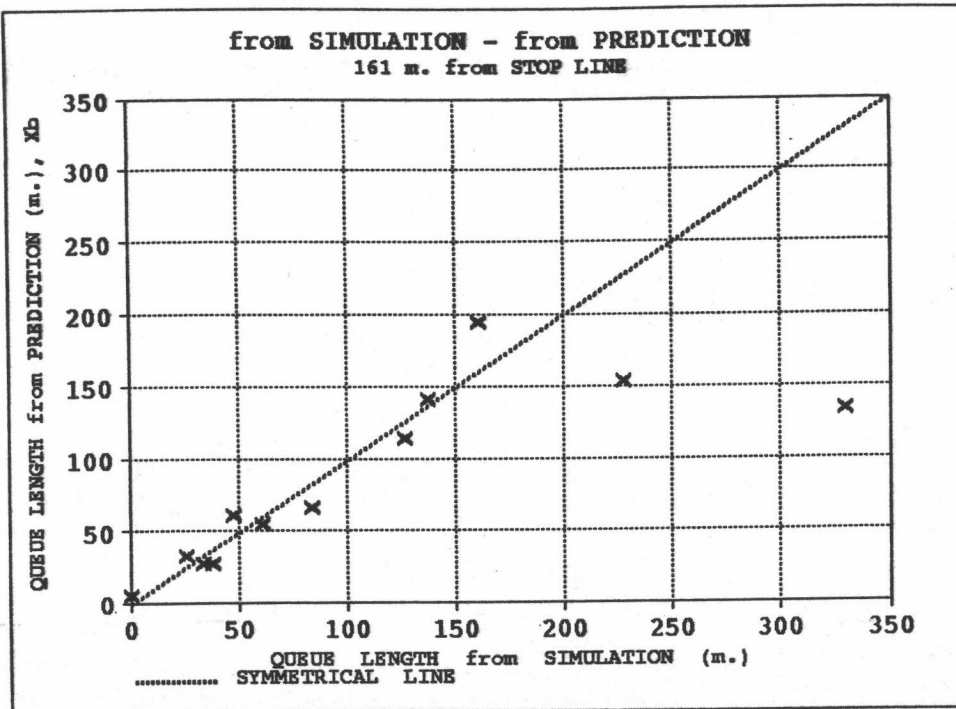
รูปที่ ค.44 เปรียบเทียบความยาวคิวที่ได้จากชิมุเลชั่นกับความยาวคิวเมื่อสั่นสุดสัญญาณไฟแดง (X_a) ที่คำนวณจากแบบจำลองของ Greenshield โดย detector อยู่ที่ต่าแห่ง 665 เมตรจากทางแยก (คาดหมายเข้าสู่ทางแยกแบบสุ่ม)



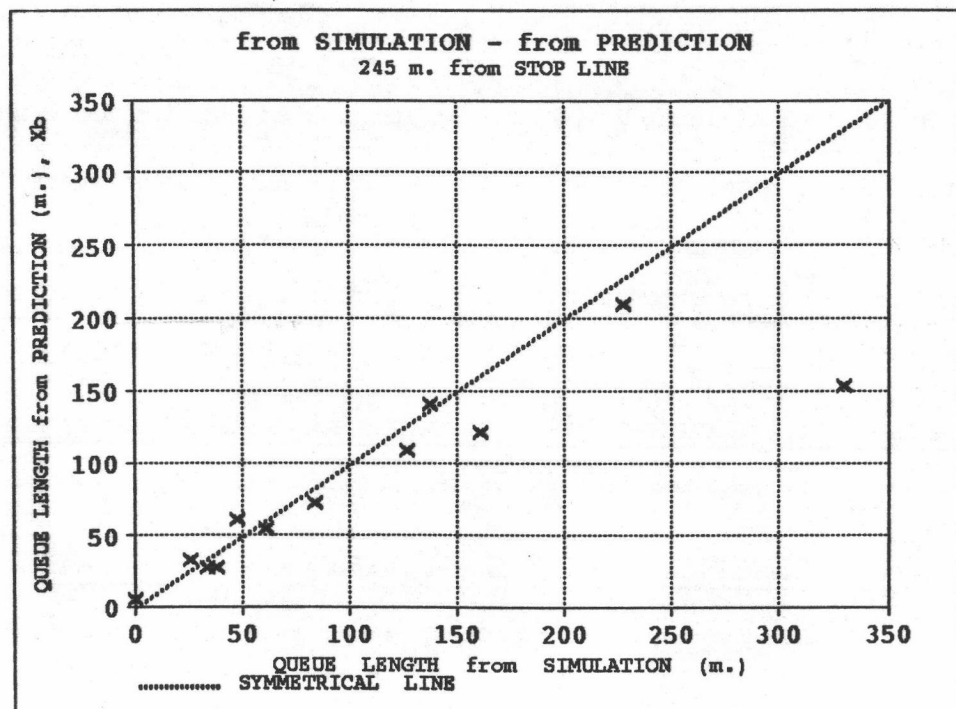
รูปที่ ค.45 เปรียบเทียบความยาวคิวที่ได้จากชิมเลร์นกับความยาวคิวเมื่อสั่นสุดสัญญาณไฟแดง (X_A) ที่คำนวณแบบจำลองของ Greenshield โดย detector อุปกรณ์ตัวแทน 749 เมตรจากทางแยก (ยาวนานเข้าสู่ทางแยกแบบสูง)



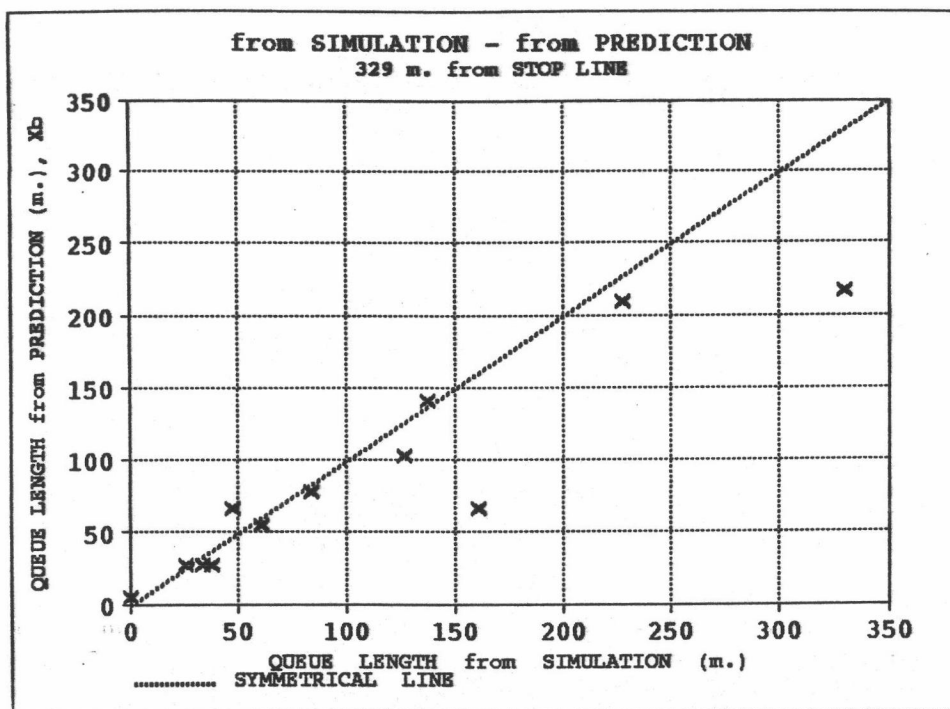
รูปที่ ค.46 เปรียบเทียบความยาวคิวที่ได้จากชิมเลร์นกับความยาวคิวสูงสุด (X_B) ที่คำนวณจากแบบจำลองของ Greenshield โดย detector อุปกรณ์ตัวแทน 77 เมตรจากทางแยก (ยาวนานเข้าสู่ทางแยกแบบสูง)



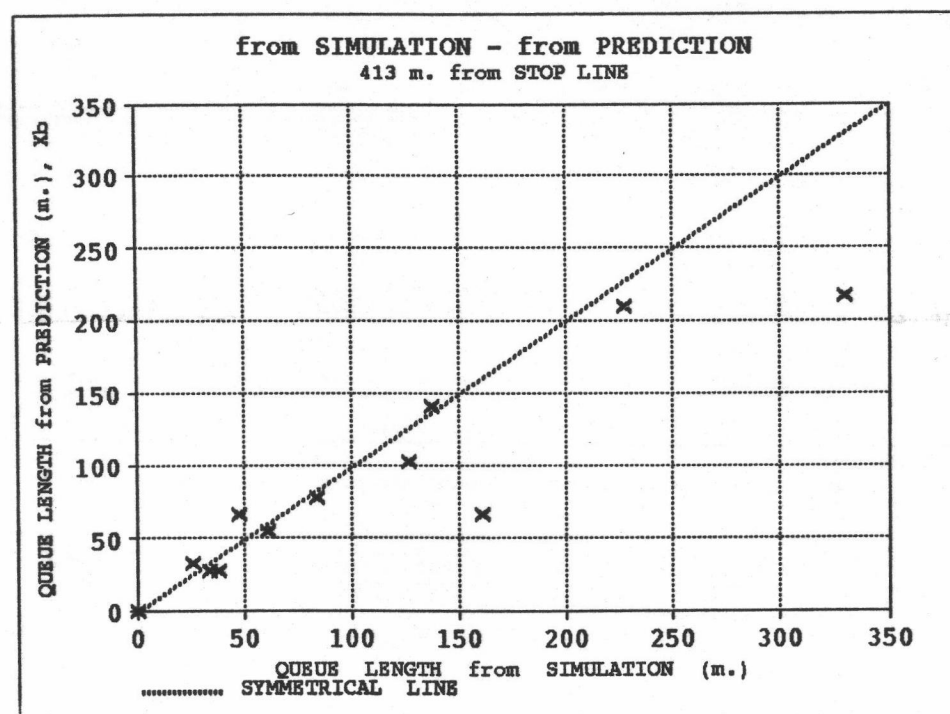
รูปที่ ค.47 เปรียบเทียบความยาวคิวที่ได้จากชิมเลชั่นกับความยาวคิวสูงสุด (X_B) ที่คำนวณจากแบบจำลองของ Greenshield โดย detector อุปกรณ์ตัวแทน 161 เมตร จากทางแยก (ขอดยานเข้าสู่ทางแยกแบบสุ่ม)



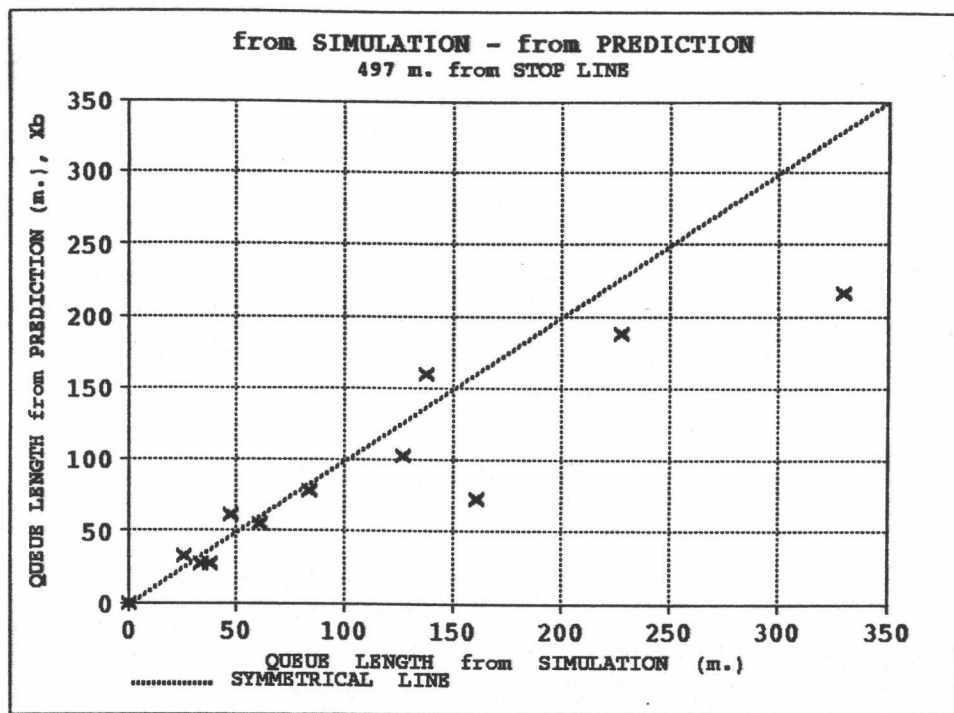
รูปที่ ค.48 เปรียบเทียบความยาวคิวที่ได้จากชิมเลชั่นกับความยาวคิวสูงสุด (X_B) ที่คำนวณจากแบบจำลองของ Greenshield โดย detector อุปกรณ์ตัวแทน 245 เมตร จากทางแยก (ขอดยานเข้าสู่ทางแยกแบบสุ่ม)



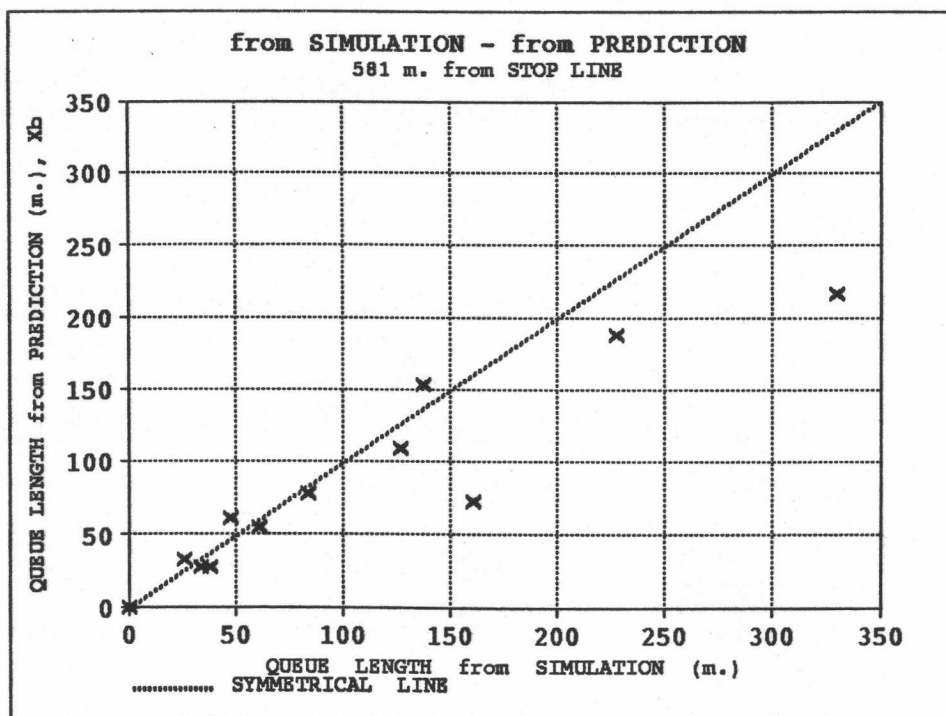
รูปที่ ค.49 เปรียบเทียบความยาวคิวที่ได้จากชิมเลชั่นกับความยาวคิวสูงสุด (X_B) ที่คำนวณจากแบบจำลองของ Greenshield โดย detector อยู่ที่ตำแหน่ง 329 เมตร จากทางแยก (ยาวนานเข้าสู่ทางแยกแบบสูง)



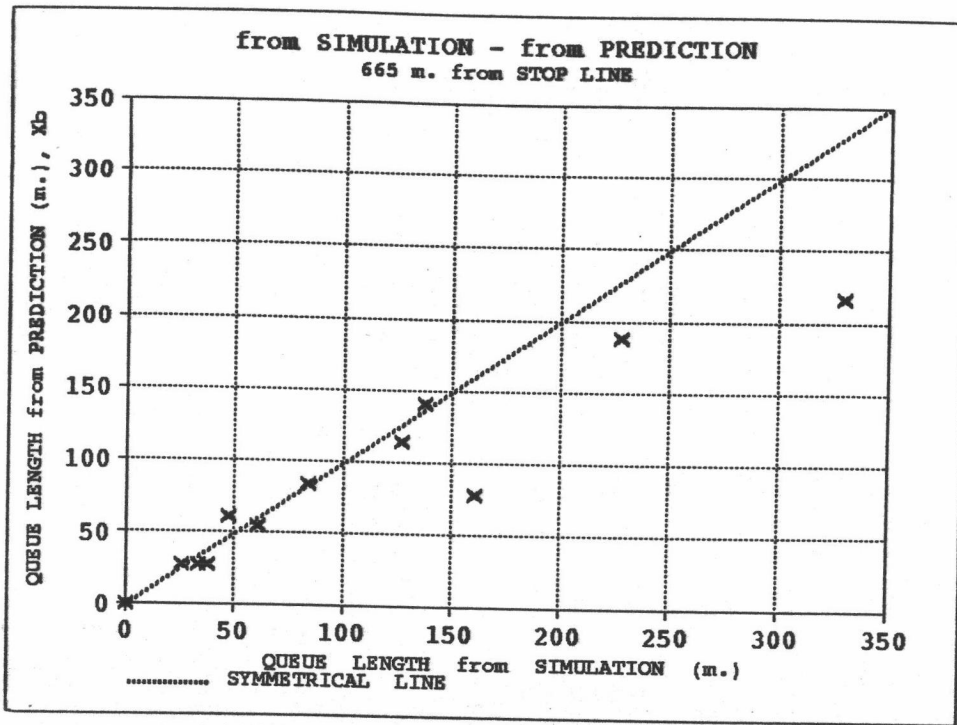
รูปที่ ค.50 เปรียบเทียบความยาวคิวที่ได้จากชิมเลชั่นกับความยาวคิวสูงสุด (X_B) ที่คำนวณจากแบบจำลองของ Greenshield โดย detector อยู่ที่ตำแหน่ง 413 เมตร จากทางแยก (ยาวนานเข้าสู่ทางแยกแบบสูง)



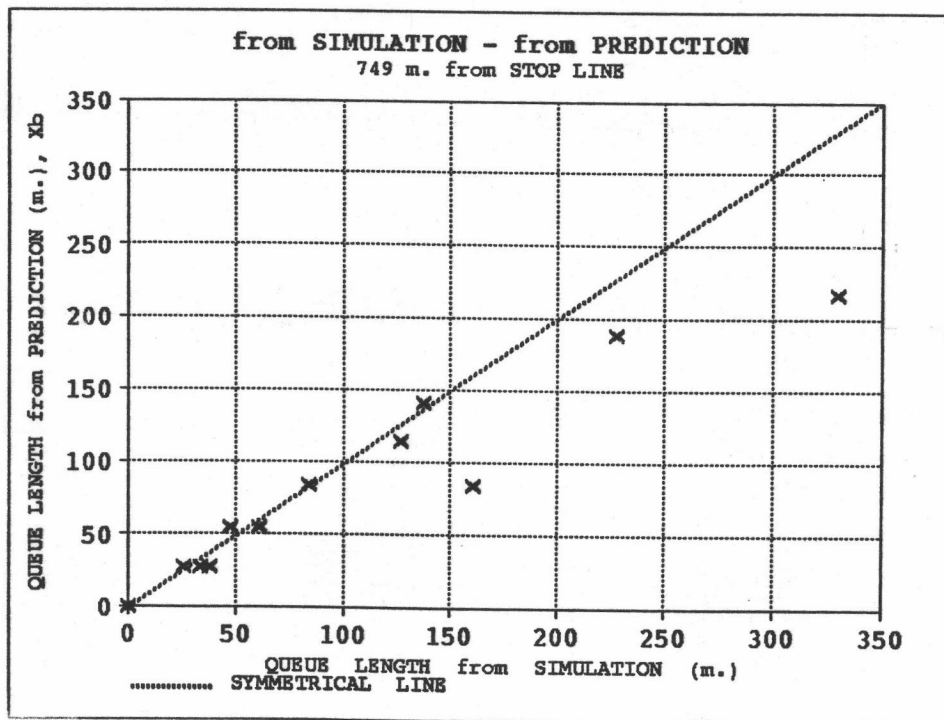
รูปที่ ค.51 เปรียบเทียบความยาวคิวที่ได้จากชิมเลร์นกับความยาวคิวสูงสุด (X_B) ที่คำนวณจากแบบจำลองของ Greenshield โดย detector อยู่ที่ตำแหน่ง 497 เมตรจากทางแยก (ขอดยานเข้าสู่ทางแยกแบบสี่มุ่น)



รูปที่ ค.52 เปรียบเทียบความยาวคิวที่ได้จากชิมเลร์นกับความยาวคิวสูงสุด (X_B) ที่คำนวณจากแบบจำลองของ Greenshield โดย detector อยู่ที่ตำแหน่ง 581 เมตรจากทางแยก (ขอดยานเข้าสู่ทางแยกแบบสี่มุ่น)



รูปที่ ค.53 เปรียบเทียบความยาวคิวที่ได้จากชิมุเลชั่นกับความยาวคิวสูงสุด (X_B) ที่คำนวณจากแบบจำลองของ Greenshield โดย detector อยู่ที่ตำแหน่ง 665 เมตรจากทางแยก (ยาวนานเข้าสู่ทางแยกแบบสี่มุ่น)



รูปที่ ค.54 เปรียบเทียบความยาวคิวที่ได้จากชิมุเลชั่นกับความยาวคิวสูงสุด (X_B) ที่คำนวณจากแบบจำลองของ Greenshield โดย detector อยู่ที่ตำแหน่ง 749 เมตรจากทางแยก (ยาวนานเข้าสู่ทางแยกแบบสี่มุ่น)

ภาคพนวก ๔.

ข้อมูลที่ใช้และผลลัพธ์ที่ได้รับจากการจำลองสภาพการจราจรทางแยกเดียว

***** test case flow rate =75,150,225,300,375,450,525,600,675 veh/hr												
UNIFORM												
11111	***** physical condition *****											
8												
1	1	60	0	1	1800	4	6	8	0	100	0	
2	1	60	0	1	1800							
3	1	60	0	1	1800	6	8	2	0	100	0	
4	1	60	0	1	1800							
5	1	60	0	1	1800	8	2	4	0	100	0	
6	1	60	0	1	1800							
7	1	60	0	1	1800	2	4	6	0	100	0	
8	1	60	0	1	1800							
4												
1	1	123										
3	1	123										
5	1	123										
7	1	123										
22222	***** condition of junction *****											
1												
1	0	240	4	0	0	60	60	60	60			
33333	***** detector condition *****											
9												
1	1	6	1	100								
2	1	12	1	100								
3	1	18	1	100								
4	1	24	1	100								
5	1	30	1	100								
6	1	36	1	100								
7	1	42	1	100								
8	1	48	1	100								
9	1	54	1	100								
88888	***** input flow rate to link *****											
4	12	240										
1	5	5	10	15	20	25	30	35	15	10	5	0
3	5	5	10	15	20	25	30	35	15	10	5	0
5	5	5	10	15	20	25	30	35	15	10	5	0
7	5	5	10	15	20	25	30	35	15	10	5	0
77777	***** simulation time *****											
2880	240											
99999												
0												

รูปที่ จ.1 ข้อมูลที่ใช้ (ข้อมูลทางแยกแบบสมมติ)

**** test case flow rate =75,150,225,300,375,450,525,600,675 veh/hr

POISSON

11111 ***** physical condition *****

8															
1	1	60	0	1	1800	4	6	8	0	100	0				
2	1	60	0	1	1800										
3	1	60	0	1	1800	6	8	2	0	100	0				
4	1	60	0	1	1800										
5	1	60	0	1	1800	8	2	4	0	100	0				
6	1	60	0	1	1800										
7	1	60	0	1	1800	2	4	6	0	100	0				
8	1	60	0	1	1800										
4															
1	1	123													
3	1	123													
5	1	123													
7	1	123													
22222	***** condition of junction *****														
1															
1	0	240	4	0	0	60	60	60	60						
33333	***** detector condition *****														
9															
1	1	6	1	100											
2	1	12	1	100											
3	1	18	1	100											
4	1	24	1	100											
5	1	30	1	100											
6	1	36	1	100											
7	1	42	1	100											
8	1	48	1	100											
9	1	54	1	100											
88888	***** input flow rate to link *****														
4	12	240													
1	5	5	10	15	20	25	30	35	15	10	5	0			
3	5	5	10	15	20	25	30	35	15	10	5	0			
5	5	5	10	15	20	25	30	35	15	10	5	0			
7	5	5	10	15	20	25	30	35	15	10	5	0			
77777	***** simulation time *****														
2880	240														
99999															
0															

รูปที่ J.2 ข้อมูลที่ใช้ (ขอดยานเข้าสู่ทางแยกแบบสุ่ม)

ตารางที่ J.1 ค่าความล่าช้า (ขัคบานเข้าสู่ทางแยกแบบสี่แยก)

DELAY REPORT

TIME	JUNC#	LINK#	LEFT & STRAIGHT			RIGHT TURN		
			TOTAL	AVG.	DEMND	TOTAL	AVG.	DEMND

60	1	0.	1.	0.	0	1.	0.	0	1
60	1	0.	3.	0.	0	1.	0.	0	1
60	1	0.	5.	0.	0	1.	0.	0	1
60	1	0.	7.	0.	0	1.	0.	0	1
120	1	2.	1.	7.	6	1.	0.	0	1
120	1	2.	3.	0.	0	1.	0.	0	1
120	1	2.	5.	0.	0	1.	0.	0	1
120	1	2.	7.	0.	0	1.	0.	0	1
180	1	24.	1.	97.	96	1.	0.	0	1
180	1	24.	3.	0.	0	1.	0.	0	1
180	1	24.	5.	0.	0	1.	0.	0	1
180	1	24.	7.	0.	0	1.	0.	0	1
240	1	61.	1.	243.	242	1.	0.	0	1
240	1	61.	3.	0.	0	1.	0.	0	1
240	1	61.	5.	0.	0	1.	0.	0	1
240	1	61.	7.	0.	0	1.	0.	0	1
300	1	5.	1.	20.	4	5.	0.	0	1
300	1	5.	3.	0.	0	1.	0.	0	1
300	1	5.	5.	0.	0	1.	0.	0	1
300	1	5.	7.	0.	0	1.	0.	0	1
360	1	10.	1.	41.	41	1.	0.	0	1
360	1	10.	3.	0.	0	1.	0.	0	1
360	1	10.	5.	0.	0	1.	0.	0	1
360	1	10.	7.	0.	0	1.	0.	0	1
420	1	30.	1.	120.	120	1.	0.	0	1
420	1	30.	3.	0.	0	1.	0.	0	1
420	1	30.	5.	0.	0	1.	0.	0	1
420	1	30.	7.	0.	0	1.	0.	0	1
480	1	30.	1.	120.	120	1.	0.	0	1
480	1	30.	3.	0.	0	1.	0.	0	1
480	1	30.	5.	0.	0	1.	0.	0	1
480	1	30.	7.	0.	0	1.	0.	0	1
540	1	1.	1.	3.	0	4.	0.	0	1
540	1	1.	3.	0.	0	1.	0.	0	1
540	1	1.	5.	0.	0	1.	0.	0	1
540	1	1.	7.	0.	0	1.	0.	0	1
600	1	8.	1.	31.	30	1.	0.	0	1
600	1	8.	3.	0.	0	1.	0.	0	1
600	1	8.	5.	0.	0	1.	0.	0	1
600	1	8.	7.	0.	0	1.	0.	0	1
660	1	29.	1.	116.	116	1.	0.	0	1
660	1	29.	3.	0.	0	1.	0.	0	1
660	1	29.	5.	0.	0	1.	0.	0	1
660	1	29.	7.	0.	0	1.	0.	0	1
720	1	74.	1.	295.	295	1.	0.	0	1
720	1	74.	3.	0.	0	1.	0.	0	1
720	1	74.	5.	0.	0	1.	0.	0	1
720	1	74.	7.	0.	0	1.	0.	0	1
780	1	21.	1.	84.	8	10.	0.	0	1
780	1	21.	3.	0.	0	1.	0.	0	1

ตารางที่ ง.1 ค่าความล่าช้า (ขบวนเข้าสู่ทางแยกแบบสี่แยก) (ต่อ)

DELAY REPORT

TIME	JUNC#	LINK#	LEFT & STRAIGHT			RIGHT TURN		
			TOTAL	AVG.	DEMND	TOTAL	AVG.	DEMND
780	1	21.	5.	0.	0	1.	0.	0
780	1	21.	7.	0.	0	1.	0.	0
840	1	15.	1.	60.	60	1.	0.	0
840	1	15.	3.	0.	0	1.	0.	0
840	1	15.	5.	0.	0	1.	0.	0
840	1	15.	7.	0.	0	1.	0.	0
900	1	72.	1.	288.	288	1.	0.	0
900	1	72.	3.	0.	0	1.	0.	0
900	1	72.	5.	0.	0	1.	0.	0
900	1	72.	7.	0.	0	1.	0.	0
960	1	136.	1.	546.	545	1.	0.	0
960	1	136.	3.	0.	0	1.	0.	0
960	1	136.	5.	0.	0	1.	0.	0
960	1	136.	7.	0.	0	1.	0.	0
1020	1	49.	1.	195.	13	15.	0.	0
1020	1	49.	3.	0.	0	1.	0.	0
1020	1	49.	5.	0.	0	1.	0.	0
1020	1	49.	7.	0.	0	1.	0.	0
1080	1	23.	1.	94.	93	1.	0.	0
1080	1	23.	3.	0.	0	1.	0.	0
1080	1	23.	5.	0.	0	1.	0.	0
1080	1	23.	7.	0.	0	1.	0.	0
1140	1	80.	1.	320.	320	1.	0.	0
1140	1	80.	3.	0.	0	1.	0.	0
1140	1	80.	5.	0.	0	1.	0.	0
1140	1	80.	7.	0.	0	1.	0.	0
1200	1	180.	1.	722.	721	1.	0.	0
1200	1	180.	3.	0.	0	1.	0.	0
1200	1	180.	5.	0.	0	1.	0.	0
1200	1	180.	7.	0.	0	1.	0.	0
1260	1	60.	1.	239.	11	20.	0.	0
1260	1	60.	3.	0.	0	1.	0.	0
1260	1	60.	5.	0.	0	1.	0.	0
1260	1	60.	7.	0.	0	1.	0.	0
1320	1	92.	1.	368.	367	1.	0.	0
1320	1	92.	3.	0.	0	1.	0.	0
1320	1	92.	5.	0.	0	1.	0.	0
1320	1	92.	7.	0.	0	1.	0.	0
1380	1	189.	1.	755.	755	1.	0.	0
1380	1	189.	3.	0.	0	1.	0.	0
1380	1	189.	5.	0.	0	1.	0.	0
1380	1	189.	7.	0.	0	1.	0.	0
1440	1	259.	1.	1036.	1036	1.	0.	0
1440	1	259.	3.	0.	0	1.	0.	0
1440	1	259.	5.	0.	0	1.	0.	0
1440	1	259.	7.	0.	0	1.	0.	0
1500	1	107.	1.	428.	17	25.	0.	0
1500	1	107.	3.	0.	0	1.	0.	0
1500	1	107.	5.	0.	0	1.	0.	0
1500	1	107.	7.	0.	0	1.	0.	0
1560	1	61.	1.	243.	242	1.	0.	0

ตารางที่ ง.1 ค่าความล่าช้า (ข้อมูลเข้าสู่ทางแยกแบบสมมุติเสมอ) (ต่อ)

DELAY REPORT

TIME	JUNC#	LINK#	LEFT & STRAIGHT			RIGHT TURN		
			TOTAL	AVG.	DEMND	TOTAL	AVG.	DEMND
1560	1	61.	3.	0.	0	1.	0.	0
1560	1	61.	5.	0.	0	1.	0.	0
1560	1	61.	7.	0.	0	1.	0.	0
1620	1	172.	1.	686.	686	1.	0.	0
1620	1	172.	3.	0.	0	1.	0.	0
1620	1	172.	5.	0.	0	1.	0.	0
1620	1	172.	7.	0.	0	1.	0.	0
1680	1	262.	1.	1046.	1046	1.	0.	0
1680	1	262.	3.	0.	0	1.	0.	0
1680	1	262.	5.	0.	0	1.	0.	0
1680	1	262.	7.	0.	0	1.	0.	0
1740	1	171.	1.	683.	22	30.	0.	0
1740	1	171.	3.	0.	0	1.	0.	0
1740	1	171.	5.	0.	0	1.	0.	0
1740	1	171.	7.	0.	0	1.	0.	0
1800	1	81.	1.	325.	325	1.	0.	0
1800	1	81.	3.	0.	0	1.	0.	0
1800	1	81.	5.	0.	0	1.	0.	0
1800	1	81.	7.	0.	0	1.	0.	0
1860	1	165.	1.	661.	661	1.	0.	0
1860	1	165.	3.	0.	0	1.	0.	0
1860	1	165.	5.	0.	0	1.	0.	0
1860	1	165.	7.	0.	0	1.	0.	0
1920	1	278.	1.	1111.	1111	1.	0.	0
1920	1	278.	3.	0.	0	1.	0.	0
1920	1	278.	5.	0.	0	1.	0.	0
1920	1	278.	7.	0.	0	1.	0.	0
1980	1	206.	1.	823.	27	30.	0.	0
1980	1	206.	3.	0.	0	1.	0.	0
1980	1	206.	5.	0.	0	1.	0.	0
1980	1	206.	7.	0.	0	1.	0.	0
2040	1	124.	1.	497.	497	1.	0.	0
2040	1	124.	3.	0.	0	1.	0.	0
2040	1	124.	5.	0.	0	1.	0.	0
2040	1	124.	7.	0.	0	1.	0.	0
2100	1	204.	1.	815.	815	1.	0.	0
2100	1	204.	3.	0.	0	1.	0.	0
2100	1	204.	5.	0.	0	1.	0.	0
2100	1	204.	7.	0.	0	1.	0.	0
2160	1	274.	1.	1097.	1096	1.	0.	0
2160	1	274.	3.	0.	0	1.	0.	0
2160	1	274.	5.	0.	0	1.	0.	0
2160	1	274.	7.	0.	0	1.	0.	0
2220	1	90.	1.	362.	18	20.	0.	0
2220	1	90.	3.	0.	0	1.	0.	0
2220	1	90.	5.	0.	0	1.	0.	0
2220	1	90.	7.	0.	0	1.	0.	0
2280	1	46.	1.	184.	184	1.	0.	0
2280	1	46.	3.	0.	0	1.	0.	0
2280	1	46.	5.	0.	0	1.	0.	0
2280	1	46.	7.	0.	0	1.	0.	0

ตารางที่ ง.1 ค่าความล่าช้า (ขัคบานเข้าสู่ทางแยกแบบสามเหลี่ยม) (ต่อ)

DELAY REPORT

TIME	JUNC#	LINK#	LEFT & STRAIGHT			RIGHT TURN		
			TOTAL	AVG.	DEMND	TOTAL	AVG.	DEMND

2340	1	135.	1.	540.	540	1.	0.	0	1
2340	1	135.	3.	0.	0	1.	0.	0	1
2340	1	135.	5.	0.	0	1.	0.	0	1
2340	1	135.	7.	0.	0	1.	0.	0	1
2400	1	150.	1.	600.	600	1.	0.	0	1
2400	1	150.	3.	0.	0	1.	0.	0	1
2400	1	150.	5.	0.	0	1.	0.	0	1
2400	1	150.	7.	0.	0	1.	0.	0	1
2460	1	23.	1.	92.	9	10.	0.	0	1
2460	1	23.	3.	0.	0	1.	0.	0	1
2460	1	23.	5.	0.	0	1.	0.	0	1
2460	1	23.	7.	0.	0	1.	0.	0	1
2520	1	0.	1.	0.	0	1.	0.	0	1
2520	1	0.	3.	0.	0	1.	0.	0	1
2520	1	0.	5.	0.	0	1.	0.	0	1
2520	1	0.	7.	0.	0	1.	0.	0	1
2580	1	25.	1.	102.	101	1.	0.	0	1
2580	1	25.	3.	0.	0	1.	0.	0	1
2580	1	25.	5.	0.	0	1.	0.	0	1
2580	1	25.	7.	0.	0	1.	0.	0	1
2640	1	45.	1.	180.	180	1.	0.	0	1
2640	1	45.	3.	0.	0	1.	0.	0	1
2640	1	45.	5.	0.	0	1.	0.	0	1
2640	1	45.	7.	0.	0	1.	0.	0	1
2700	1	1.	1.	6.	1	5.	0.	0	1
2700	1	1.	3.	0.	0	1.	0.	0	1
2700	1	1.	5.	0.	0	1.	0.	0	1
2700	1	1.	7.	0.	0	1.	0.	0	1
2760	1	0.	1.	0.	0	1.	0.	0	1
2760	1	0.	3.	0.	0	1.	0.	0	1
2760	1	0.	5.	0.	0	1.	0.	0	1
2760	1	0.	7.	0.	0	1.	0.	0	1
2820	1	0.	1.	0.	0	1.	0.	0	1
2820	1	0.	3.	0.	0	1.	0.	0	1
2820	1	0.	5.	0.	0	1.	0.	0	1
2820	1	0.	7.	0.	0	1.	0.	0	1
2880	1	0.	1.	0.	0	1.	0.	0	1
2880	1	0.	3.	0.	0	1.	0.	0	1
2880	1	0.	5.	0.	0	1.	0.	0	1
2880	1	0.	7.	0.	0	1.	0.	0	1

ตารางที่ J.2 ค่าความล่าช้า (ขวดยานเข้าสู่ทางแยกแบบสี่แยก)

DELAY REPORT

TIME	JUNC#	LINK#	LEFT & STRAIGHT			RIGHT TURN		
			TOTAL	AVG.	DEMND	TOTAL	AVG.	DEMND

60	1	0.	1.	0.	0	1.	0.	0	1
60	1	0.	3.	0.	0	1.	0.	0	1
60	1	0.	5.	0.	0	1.	0.	0	1
60	1	0.	7.	0.	0	1.	0.	0	1
120	1	3.	1.	13.	12	1.	0.	0	1
120	1	3.	3.	0.	0	1.	0.	0	1
120	1	3.	5.	0.	0	1.	0.	0	1
120	1	3.	7.	0.	0	1.	0.	0	1
180	1	21.	1.	85.	84	1.	0.	0	1
180	1	21.	3.	0.	0	1.	0.	0	1
180	1	21.	5.	0.	0	1.	0.	0	1
180	1	21.	7.	0.	0	1.	0.	0	1
240	1	39.	1.	157.	156	1.	0.	0	1
240	1	39.	3.	0.	0	1.	0.	0	1
240	1	39.	5.	0.	0	1.	0.	0	1
240	1	39.	7.	0.	0	1.	0.	0	1
300	1	1.	1.	6.	1	4.	0.	0	1
300	1	1.	3.	0.	0	1.	0.	0	1
300	1	1.	5.	0.	0	1.	0.	0	1
300	1	1.	7.	0.	0	1.	0.	0	1
360	1	9.	1.	36.	36	1.	0.	0	1
360	1	9.	3.	0.	0	1.	0.	0	1
360	1	9.	5.	0.	0	1.	0.	0	1
360	1	9.	7.	0.	0	1.	0.	0	1
420	1	27.	1.	108.	108	1.	0.	0	1
420	1	27.	3.	0.	0	1.	0.	0	1
420	1	27.	5.	0.	0	1.	0.	0	1
420	1	27.	7.	0.	0	1.	0.	0	1
480	1	45.	1.	180.	180	1.	0.	0	1
480	1	45.	3.	0.	0	1.	0.	0	1
480	1	45.	5.	0.	0	1.	0.	0	1
480	1	45.	7.	0.	0	1.	0.	0	1
540	1	3.	1.	12.	2	5.	0.	0	1
540	1	3.	3.	0.	0	1.	0.	0	1
540	1	3.	5.	0.	0	1.	0.	0	1
540	1	3.	7.	0.	0	1.	0.	0	1
600	1	21.	1.	83.	83	1.	0.	0	1
600	1	21.	3.	0.	0	1.	0.	0	1
600	1	21.	5.	0.	0	1.	0.	0	1
600	1	21.	7.	0.	0	1.	0.	0	1
660	1	57.	1.	228.	227	1.	0.	0	1
660	1	57.	3.	0.	0	1.	0.	0	1
660	1	57.	5.	0.	0	1.	0.	0	1
660	1	57.	7.	0.	0	1.	0.	0	1
720	1	96.	1.	383.	383	1.	0.	0	1
720	1	96.	3.	0.	0	1.	0.	0	1
720	1	96.	5.	0.	0	1.	0.	0	1
720	1	96.	7.	0.	0	1.	0.	0	1
780	1	16.	1.	62.	6	10.	0.	0	1
780	1	16.	3.	0.	0	1.	0.	0	1

ตารางที่ จ.2 ค่าความล่าช้า (ขาดบานเข้าสู่ทางแยกแบบสี่แยก) (ต่อ)

DELAY REPORT

TIME	JUNC#	LINK#	LEFT & STRAIGHT			RIGHT TURN		
			TOTAL	AVG.	DEMND	TOTAL	AVG.	DEMND

780	1	16.	5.	0.	0	1.	0.	0	1
780	1	16.	7.	0.	0	1.	0.	0	1
840	1	29.	1.	117.	116	1.	0.	0	1
840	1	29.	3.	0.	0	1.	0.	0	1
840	1	29.	5.	0.	0	1.	0.	0	1
840	1	29.	7.	0.	0	1.	0.	0	1
900	1	85.	1.	341.	341	1.	0.	0	1
900	1	85.	3.	0.	0	1.	0.	0	1
900	1	85.	5.	0.	0	1.	0.	0	1
900	1	85.	7.	0.	0	1.	0.	0	1
960	1	141.	1.	565.	565	1.	0.	0	1
960	1	141.	3.	0.	0	1.	0.	0	1
960	1	141.	5.	0.	0	1.	0.	0	1
960	1	141.	7.	0.	0	1.	0.	0	1
1020	1	46.	1.	186.	12	15.	0.	0	1
1020	1	46.	3.	0.	0	1.	0.	0	1
1020	1	46.	5.	0.	0	1.	0.	0	1
1020	1	46.	7.	0.	0	1.	0.	0	1
1080	1	39.	1.	157.	157	1.	0.	0	1
1080	1	39.	3.	0.	0	1.	0.	0	1
1080	1	39.	5.	0.	0	1.	0.	0	1
1080	1	39.	7.	0.	0	1.	0.	0	1
1140	1	114.	1.	457.	457	1.	0.	0	1
1140	1	114.	3.	0.	0	1.	0.	0	1
1140	1	114.	5.	0.	0	1.	0.	0	1
1140	1	114.	7.	0.	0	1.	0.	0	1
1200	1	189.	1.	757.	757	1.	0.	0	1
1200	1	189.	3.	0.	0	1.	0.	0	1
1200	1	189.	5.	0.	0	1.	0.	0	1
1200	1	189.	7.	0.	0	1.	0.	0	1
1260	1	73.	1.	292.	14	20.	0.	0	1
1260	1	73.	3.	0.	0	1.	0.	0	1
1260	1	73.	5.	0.	0	1.	0.	0	1
1260	1	73.	7.	0.	0	1.	0.	0	1
1320	1	48.	1.	190.	190	1.	0.	0	1
1320	1	48.	3.	0.	0	1.	0.	0	1
1320	1	48.	5.	0.	0	1.	0.	0	1
1320	1	48.	7.	0.	0	1.	0.	0	1
1380	1	141.	1.	564.	564	1.	0.	0	1
1380	1	141.	3.	0.	0	1.	0.	0	1
1380	1	141.	5.	0.	0	1.	0.	0	1
1380	1	141.	7.	0.	0	1.	0.	0	1
1440	1	235.	1.	939.	939	1.	0.	0	1
1440	1	235.	3.	0.	0	1.	0.	0	1
1440	1	235.	5.	0.	0	1.	0.	0	1
1440	1	235.	7.	0.	0	1.	0.	0	1
1500	1	118.	1.	471.	18	25.	0.	0	1
1500	1	118.	3.	0.	0	1.	0.	0	1
1500	1	118.	5.	0.	0	1.	0.	0	1
1500	1	118.	7.	0.	0	1.	0.	0	1
1560	1	58.	1.	231.	230	1.	0.	0	1

ตารางที่ ง.2 ค่าความล่าช้า (ขัคบานเข้าสู่ทางแยกแบบสี่แยก) (ต่อ)

DELAY REPORT

TIME	JUNC#	LINK#	LEFT & STRAIGHT			RIGHT TURN		
			TOTAL	AVG.	DEMND	TOTAL	AVG.	DEMND

1560	1	58.	3.	0.	0	1.	0.	0	1
1560	1	58.	5.	0.	0	1.	0.	0	1
1560	1	58.	7.	0.	0	1.	0.	0	1
1620	1	170.	1.	679.	679	1.	0.	0	1
1620	1	170.	3.	0.	0	1.	0.	0	1
1620	1	170.	5.	0.	0	1.	0.	0	1
1620	1	170.	7.	0.	0	1.	0.	0	1
1680	1	283.	1.	1131.	1130	1.	0.	0	1
1680	1	283.	3.	0.	0	1.	0.	0	1
1680	1	283.	5.	0.	0	1.	0.	0	1
1680	1	283.	7.	0.	0	1.	0.	0	1
1740	1	191.	1.	764.	28	27.	0.	0	1
1740	1	191.	3.	0.	0	1.	0.	0	1
1740	1	191.	5.	0.	0	1.	0.	0	1
1740	1	191.	7.	0.	0	1.	0.	0	1
1800	1	115.	1.	461.	460	1.	0.	0	1
1800	1	115.	3.	0.	0	1.	0.	0	1
1800	1	115.	5.	0.	0	1.	0.	0	1
1800	1	115.	7.	0.	0	1.	0.	0	1
1860	1	246.	1.	985.	985	1.	0.	0	1
1860	1	246.	3.	0.	0	1.	0.	0	1
1860	1	246.	5.	0.	0	1.	0.	0	1
1860	1	246.	7.	0.	0	1.	0.	0	1
1920	1	377.	1.	1509.	1509	1.	0.	0	1
1920	1	377.	3.	0.	0	1.	0.	0	1
1920	1	377.	5.	0.	0	1.	0.	0	1
1920	1	377.	7.	0.	0	1.	0.	0	1
1980	1	301.	1.	1204.	44	27.	0.	0	1
1980	1	301.	3.	0.	0	1.	0.	0	1
1980	1	301.	5.	0.	0	1.	0.	0	1
1980	1	301.	7.	0.	0	1.	0.	0	1
2040	1	195.	1.	780.	779	1.	0.	0	1
2040	1	195.	3.	0.	0	1.	0.	0	1
2040	1	195.	5.	0.	0	1.	0.	0	1
2040	1	195.	7.	0.	0	1.	0.	0	1
2100	1	251.	1.	1004.	1004	1.	0.	0	1
2100	1	251.	3.	0.	0	1.	0.	0	1
2100	1	251.	5.	0.	0	1.	0.	0	1
2100	1	251.	7.	0.	0	1.	0.	0	1
2160	1	307.	1.	1228.	1228	1.	0.	0	1
2160	1	307.	3.	0.	0	1.	0.	0	1
2160	1	307.	5.	0.	0	1.	0.	0	1
2160	1	307.	7.	0.	0	1.	0.	0	1
2220	1	161.	1.	645.	24	26.	0.	0	1
2220	1	161.	3.	0.	0	1.	0.	0	1
2220	1	161.	5.	0.	0	1.	0.	0	1
2220	1	161.	7.	0.	0	1.	0.	0	1
2280	1	21.	1.	82.	82	1.	0.	0	1
2280	1	21.	3.	0.	0	1.	0.	0	1
2280	1	21.	5.	0.	0	1.	0.	0	1
2280	1	21.	7.	0.	0	1.	0.	0	1

ตารางที่ ง.2 ค่าความล่าช้า (ယุคปัจจุบันเข้าสู่ทางแยกแบบสี่แยก) (ต่อ)

DELAY REPORT

TIME	JUNC#	LINK#	LEFT & STRAIGHT			RIGHT TURN		
			TOTAL	AVG.	DEMND	TOTAL	AVG.	DEMND
2340	1	57.	1.	227.	226	1.	0.	0
2340	1	57.	3.	0.	0	1.	0.	0
2340	1	57.	5.	0.	0	1.	0.	0
2340	1	57.	7.	0.	0	1.	0.	0
2400	1	96.	1.	382.	382	1.	0.	0
2400	1	96.	3.	0.	0	1.	0.	0
2400	1	96.	5.	0.	0	1.	0.	0
2400	1	96.	7.	0.	0	1.	0.	0
2460	1	13.	1.	53.	5	10.	0.	0
2460	1	13.	3.	0.	0	1.	0.	0
2460	1	13.	5.	0.	0	1.	0.	0
2460	1	13.	7.	0.	0	1.	0.	0
2520	1	10.	1.	41.	40	1.	0.	0
2520	1	10.	3.	0.	0	1.	0.	0
2520	1	10.	5.	0.	0	1.	0.	0
2520	1	10.	7.	0.	0	1.	0.	0
2580	1	28.	1.	113.	112	1.	0.	0
2580	1	28.	3.	0.	0	1.	0.	0
2580	1	28.	5.	0.	0	1.	0.	0
2580	1	28.	7.	0.	0	1.	0.	0
2640	1	46.	1.	185.	184	1.	0.	0
2640	1	46.	3.	0.	0	1.	0.	0
2640	1	46.	5.	0.	0	1.	0.	0
2640	1	46.	7.	0.	0	1.	0.	0
2700	1	3.	1.	12.	2	5.	0.	0
2700	1	3.	3.	0.	0	1.	0.	0
2700	1	3.	5.	0.	0	1.	0.	0
2700	1	3.	7.	0.	0	1.	0.	0
2760	1	8.	1.	32.	32	1.	0.	0
2760	1	8.	3.	0.	0	1.	0.	0
2760	1	8.	5.	0.	0	1.	0.	0
2760	1	8.	7.	0.	0	1.	0.	0
2820	1	8.	1.	32.	32	1.	0.	0
2820	1	8.	3.	0.	0	1.	0.	0
2820	1	8.	5.	0.	0	1.	0.	0
2820	1	8.	7.	0.	0	1.	0.	0
2880	1	8.	1.	32.	32	1.	0.	0
2880	1	8.	3.	0.	0	1.	0.	0
2880	1	8.	5.	0.	0	1.	0.	0
2880	1	8.	7.	0.	0	1.	0.	0

ตารางที่ ง.3 ความยาวคิว (ยานพาหนะเข้าสู่ทางแยกแบบสี่เหลี่ยม)

UNIFORM ARRIVAL

QUEUE LENGTH REPORT

TIME LINK# END OF QUEUE(m) % of LINK

240	1	34	4.16
240	3	0	0.00
240	5	3	0.42
240	7	0	0.00
480	1	38	4.61
480	3	14	1.70
480	5	21	2.55
480	7	0	0.00
720	1	61	7.33
720	3	14	1.68
720	5	28	3.37
720	7	0	0.00
960	1	84	10.02
960	3	91	10.85
960	5	21	2.54
960	7	0	0.00
1200	1	127	15.20
1200	3	93	11.16
1200	5	30	3.61
1200	7	0	0.00
1440	1	138	16.43
1440	3	128	15.24
1440	5	32	3.84
1440	7	3	0.44
1680	1	228	27.17
1680	3	104	12.44
1680	5	90	10.82
1680	7	4	0.49
1920	1	330	39.29
1920	3	189	22.51
1920	5	97	11.57
1920	7	148	17.70
2160	1	161	19.26
2160	3	116	13.89
2160	5	28	3.36
2160	7	2	0.35
2400	1	48	5.82
2400	3	28	3.40
2400	5	20	2.43
2400	7	0	0.00
2640	1	26	3.18
2640	3	27	3.29
2640	5	29	3.50
2640	7	0	0.00
2880	1	0	0.00
2880	3	0	0.00
2880	5	0	0.00
2880	7	0	0.00

ตารางที่ ง.4 ความยาวคิว (กรณีบุคคลเดินเข้าสู่ทางแยกแบบสุ่ม)

RANDOM ARRIVAL

QUEUE LENGTH REPORT

TIME LINK# END OF QUEUE(m) % of LINK

240	1	20	2.50
240	3	13	1.67
240	5	6	0.83
240	7	0	0.00
480	1	25	3.06
480	3	14	1.71
480	5	6	0.81
480	7	0	0.00
720	1	48	5.72
720	3	36	4.40
720	5	17	2.10
720	7	0	0.00
960	1	82	9.86
960	3	52	6.25
960	5	29	3.45
960	7	0	0.00
1200	1	100	12.01
1200	3	80	9.56
1200	5	40	4.82
1200	7	2	0.27
1440	1	128	15.25
1440	3	96	11.46
1440	5	51	6.08
1440	7	0	0.00
1680	1	202	24.12
1680	3	132	15.83
1680	5	59	7.09
1680	7	0	0.00
1920	1	229	27.36
1920	3	186	22.22
1920	5	116	13.90
1920	7	3	0.40
2160	1	125	14.94
2160	3	73	8.70
2160	5	39	4.75
2160	7	3	0.40
2400	1	52	6.25
2400	3	33	3.94
2400	5	19	2.27
2400	7	0	0.00
2640	1	24	2.90
2640	3	15	1.81
2640	5	7	0.84
2640	7	0	0.00
2880	1	2	0.31
2880	3	0	0.00
2880	5	0	0.00
2880	7	0	0.00

ตารางที่ 3.5 ผลจากจำลอง Detector (ขัคบานเข้าสู่ทางแยกแบบสี่เหลี่ยม)

UNIFORM ARRIVAL

DETECTOR REPORT

TIME	DETECTOR#	FLOW (veh)	OCCUPANCY (%)	MEAN PULS (sec.)	AVG.PULS (sec.)	SPEED (Km/Hr)
240	1	5	1.25	0.60	0.60	48.0
240	2	5	1.25	0.60	0.60	48.0
240	3	5	1.25	0.60	0.60	48.0
240	4	5	1.25	0.60	0.60	48.0
240	5	5	1.25	0.60	0.60	48.0
240	6	5	1.25	0.60	0.60	48.0
240	7	5	1.25	0.60	0.60	48.0
240	8	5	1.25	0.60	0.60	48.0
240	9	5	1.25	0.60	0.60	48.0
480	1	5	1.13	0.54	0.54	53.2
480	2	5	1.08	0.52	0.52	55.4
480	3	5	1.38	0.66	0.66	43.4
480	4	5	1.11	0.53	0.53	53.9
480	5	5	1.42	0.68	0.68	42.1
480	6	5	1.42	0.68	0.68	42.4
480	7	5	1.13	0.54	0.54	53.3
480	8	5	1.37	0.66	0.66	43.9
480	9	5	1.34	0.64	0.64	44.9
720	1	10	1.90	0.54	0.46	63.1
720	2	10	2.18	0.52	0.52	55.1
720	3	10	1.89	0.45	0.45	63.3
720	4	10	2.34	0.56	0.56	51.4
720	5	10	2.45	0.59	0.59	49.1
720	6	10	2.35	0.56	0.56	51.0
720	7	10	2.36	0.57	0.57	50.8
720	8	10	2.63	0.63	0.63	45.6
720	9	10	2.76	0.66	0.66	43.5
960	1	11	18.29	0.63	3.99	7.2
960	2	12	2.14	0.43	0.43	67.3
960	3	13	4.14	0.76	0.76	37.7
960	4	14	2.58	0.44	0.44	65.2
960	5	14	3.80	0.65	0.65	44.2
960	6	14	3.57	0.61	0.61	47.1
960	7	14	3.61	0.62	0.62	46.6
960	8	15	3.95	0.63	0.63	45.6
960	9	15	4.44	0.71	0.71	40.5
1200	1	16	42.36	0.54	6.35	4.5
1200	2	20	3.06	0.37	0.37	78.4
1200	3	19	5.20	0.66	0.66	43.8
1200	4	18	4.85	0.65	0.65	44.5
1200	5	18	5.98	0.80	0.80	36.1
1200	6	18	3.89	0.52	0.52	55.6
1200	7	19	5.44	0.69	0.69	41.9
1200	8	20	5.67	0.68	0.68	42.3
1200	9	20	4.27	0.51	0.51	56.2
1440	1	21	46.31	0.66	5.29	5.4
1440	2	24	4.86	0.50	0.49	59.3
1440	3	24	6.81	0.68	0.68	42.3

ตารางที่ J.5 คลากร่อง Detector (ข้อมูลเรื่องทางแยกแบบสม่ำเสมอ) (ต่อ)

UNIFORM ARRIVAL

DETECTOR REPORT

TIME	DETECTOR#	FLOW (veh)	OCCUPANCY (%)	MEAN PULS (sec.)	AVG.PULS (sec.)	SPEED (Km/Hr)
1440	4	24	8.14	0.81	0.81	35.4
1440	5	24	6.77	0.68	0.68	42.5
1440	6	27	8.73	0.78	0.78	37.1
1440	7	26	6.79	0.63	0.63	45.9
1440	8	24	6.22	0.62	0.62	46.3
1440	9	24	5.55	0.56	0.56	51.9
1680	1	23	50.48	0.49	5.27	5.5
1680	2	26	21.22	0.52	1.96	14.7
1680	3	34	7.29	0.53	0.51	56.0
1680	4	34	11.37	0.80	0.80	35.9
1680	5	34	8.77	0.62	0.62	46.5
1680	6	31	5.97	0.46	0.46	62.3
1680	7	31	7.53	0.58	0.58	49.4
1680	8	31	7.38	0.57	0.57	50.4
1680	9	31	8.50	0.66	0.66	43.8
1920	1	24	73.61	0.58	7.36	3.9
1920	2	23	64.80	0.54	6.76	4.3
1920	3	26	20.97	0.60	1.94	14.9
1920	4	35	7.76	0.55	0.53	54.1
1920	5	35	8.01	0.55	0.55	52.4
1920	6	35	9.75	0.67	0.67	43.1
1920	7	35	8.96	0.61	0.61	46.9
1920	8	35	6.64	0.46	0.46	63.3
1920	9	35	9.41	0.65	0.65	44.6
2160	1	31	79.02	0.61	6.12	4.7
2160	2	32	19.62	0.64	1.47	19.6
2160	3	21	24.70	0.72	2.82	10.2
2160	4	12	3.61	0.67	0.72	39.8
2160	5	12	2.84	0.57	0.57	50.7
2160	6	13	3.34	0.62	0.62	46.7
2160	7	13	3.30	0.61	0.61	47.2
2160	8	14	3.10	0.53	0.53	54.2
2160	9	15	2.70	0.43	0.43	66.6
2400	1	22	11.99	0.58	1.31	22.0
2400	2	11	2.94	0.60	0.64	44.9
2400	3	11	2.88	0.63	0.63	45.8
2400	4	12	3.68	0.74	0.74	39.2
2400	5	12	2.95	0.59	0.59	48.8
2400	6	11	2.19	0.48	0.48	60.4
2400	7	11	2.12	0.46	0.46	62.2
2400	8	11	2.73	0.60	0.60	48.3
2400	9	10	2.75	0.66	0.66	43.6
2640	1	6	2.09	0.84	0.84	34.5
2640	2	6	1.75	0.70	0.70	41.2
2640	3	6	1.67	0.67	0.67	43.1
2640	4	5	1.52	0.73	0.73	39.4
2640	5	6	1.60	0.64	0.64	45.0
2640	6	6	1.41	0.56	0.56	51.1

ตารางที่ จ.5 ผลจากจำลอง Detector (ข้อมูลนี้สู่ทางแยกแบบสี่เหลี่ยม) (ต่อ)

UNIFORM ARRIVAL

DETECTOR REPORT

TIME	DETECTOR#	FLOW (veh)	OCCUPANCY (%)	MEAN PULS (sec.)	AVG.PULS (sec.)	SPEED (Km/Hr)
2640	7	6	1.65	0.66	0.66	43.6
2640	8	5	0.99	0.48	0.48	60.5
2640	9	5	0.83	0.40	0.40	72.3
2880	1	1	0.20	0.48	0.48	60.4
2880	2	1	0.35	0.85	0.85	33.9
2880	3	1	0.23	0.54	0.54	53.2
2880	4	1	0.26	0.63	0.63	46.0
2880	5	0	0.00	0.58	0.00	50.4
2880	6	0	0.00	0.61	0.00	50.4
2880	7	0	0.00	0.56	0.00	50.4
2880	8	0	0.00	0.58	0.00	50.4
2880	9	0	0.00	0.88	0.00	50.4

ตารางที่ J.6 ผลจากจำลอง Detector (ยานพาณิชยานเข้าสู่ทางแยกแบบสุ่ม)

RANDOM ARRIVAL

DETECTOR REPORT

TIME	DETECTOR#	FLOW (veh)	OCCUPANCY (%)	MEAN PULS (sec.)	AVG.PULS (sec.)	SPEED (Km/Hr)
240	1	3	0.75	0.60	0.60	48.0
240	2	3	0.75	0.60	0.60	48.0
240	3	4	1.00	0.60	0.60	48.0
240	4	4	1.00	0.60	0.60	48.0
240	5	4	1.00	0.60	0.60	48.0
240	6	4	1.00	0.60	0.60	48.0
240	7	4	1.00	0.60	0.60	48.0
240	8	4	1.00	0.60	0.60	48.0
240	9	4	1.00	0.60	0.60	48.0
480	1	5	1.47	0.71	0.71	40.8
480	2	5	1.46	0.70	0.70	41.1
480	3	5	1.16	0.56	0.56	51.7
480	4	5	1.48	0.71	0.71	40.6
480	5	5	1.42	0.68	0.68	42.1
480	6	5	1.09	0.52	0.52	55.0
480	7	5	1.03	0.49	0.49	58.3
480	8	5	1.08	0.52	0.52	55.7
480	9	5	1.10	0.53	0.53	54.4
720	1	9	2.06	0.55	0.55	52.3
720	2	10	2.21	0.53	0.53	54.4
720	3	9	2.39	0.64	0.64	45.2
720	4	9	2.98	0.79	0.79	36.2
720	5	9	2.31	0.62	0.62	46.7
720	6	10	1.85	0.45	0.45	64.7
720	7	10	2.32	0.56	0.56	51.8
720	8	10	1.83	0.44	0.44	65.4
720	9	10	1.69	0.40	0.40	71.2
960	1	14	3.03	0.56	0.52	55.5
960	2	14	3.80	0.65	0.65	44.2
960	3	14	3.54	0.61	0.61	47.5
960	4	14	3.05	0.52	0.52	55.0
960	5	15	2.52	0.40	0.40	71.5
960	6	14	3.22	0.55	0.55	52.2
960	7	14	2.74	0.47	0.47	61.4
960	8	15	3.20	0.51	0.51	56.3
960	9	15	4.73	0.76	0.76	38.1
1200	1	17	19.66	0.65	2.78	10.4
1200	2	19	6.31	0.80	0.80	36.1
1200	3	19	4.10	0.52	0.52	55.6
1200	4	20	5.72	0.69	0.69	41.9
1200	5	19	5.39	0.68	0.68	42.3
1200	6	20	4.27	0.51	0.51	56.2
1200	7	20	6.44	0.77	0.77	37.3
1200	8	19	4.89	0.62	0.62	46.6
1200	9	20	4.73	0.57	0.57	50.8
1440	1	20	36.01	0.57	4.32	6.7
1440	2	24	4.80	0.49	0.48	60.0
1440	3	24	7.13	0.71	0.71	40.4

ตารางที่ J.6 ผลจากจำลอง Detector (ข้อมูลเข้าสู่ทางแยกแบบสุ่ม)

RANDOM ARRIVAL

DETECTOR REPORT

TIME	DETECTOR#	FLOW (veh)	OCCUPANCY (%)	MEAN PULS (sec.)	AVG.PULS (sec.)	SPEED (Km/Hr)
1440	4	24	6.70	0.67	0.67	43.0
1440	5	24	5.72	0.57	0.57	50.4
1440	6	24	4.80	0.48	0.48	60.0
1440	7	25	5.54	0.53	0.53	54.1
1440	8	25	3.94	0.38	0.38	76.1
1440	9	25	5.22	0.50	0.50	57.5
1680	1	20	64.27	0.71	7.71	3.7
1680	2	25	21.15	0.70	2.03	14.2
1680	3	29	6.73	0.56	0.56	51.7
1680	4	29	8.58	0.71	0.71	40.6
1680	5	30	8.54	0.68	0.68	42.1
1680	6	29	6.33	0.52	0.52	55.0
1680	7	29	5.97	0.49	0.49	58.3
1680	8	30	6.46	0.52	0.52	55.7
1680	9	30	6.61	0.53	0.53	54.4
1920	1	29	69.10	0.63	5.72	5.0
1920	2	29	42.83	0.55	3.54	8.1
1920	3	34	6.66	0.50	0.47	61.2
1920	4	34	9.12	0.64	0.64	44.7
1920	5	34	7.43	0.52	0.52	54.9
1920	6	35	9.61	0.66	0.66	43.7
1920	7	35	8.80	0.60	0.60	47.7
1920	8	35	10.13	0.69	0.69	41.5
1920	9	35	8.81	0.60	0.60	47.7
2160	1	33	54.47	0.53	3.96	7.3
2160	2	28	18.75	0.76	1.61	17.9
2160	3	19	13.70	0.77	1.73	16.6
2160	4	18	4.58	0.61	0.61	47.2
2160	5	18	5.46	0.73	0.73	39.5
2160	6	17	3.11	0.44	0.44	65.6
2160	7	16	3.88	0.58	0.58	49.5
2160	8	16	3.60	0.54	0.54	53.3
2160	9	15	3.74	0.60	0.60	48.2
2400	1	17	10.33	0.71	1.46	19.8
2400	2	10	2.27	0.57	0.54	53.0
2400	3	11	2.25	0.49	0.49	58.8
2400	4	11	3.27	0.71	0.71	40.4
2400	5	10	2.79	0.67	0.67	43.0
2400	6	10	2.38	0.57	0.57	50.4
2400	7	11	2.20	0.48	0.48	60.0
2400	8	10	2.22	0.53	0.53	54.1
2400	9	10	1.58	0.38	0.38	76.1
2640	1	6	1.72	0.69	0.69	41.9
2640	2	6	1.52	0.61	0.61	47.5
2640	3	6	1.67	0.67	0.67	43.2
2640	4	6	1.47	0.59	0.59	49.1
2640	5	6	1.65	0.66	0.66	43.7
2640	6	6	1.37	0.55	0.55	52.7

ตารางที่ J.6 ผลจากจัลลง Detector (ขวัญานเข้าสู่ทางแยกแบบสุ่ม) (ต่อ)

RANDOM ARRIVAL

DETECTOR REPORT

TIME	DETECTOR#	FLOW (veh)	OCCUPANCY (%)	MEAN PULS (sec.)	AVG.PULS (sec.)	SPEED (Km/Hr)
2640	7	5	1.36	0.65	0.65	44.3
2640	8	5	0.83	0.40	0.40	72.0
2640	9	5	1.17	0.56	0.56	51.1
2880	1	2	0.66	0.80	0.80	36.1
2880	2	2	0.43	0.52	0.52	55.6
2880	3	1	0.29	0.69	0.69	41.9
2880	4	1	0.28	0.68	0.68	42.3
2880	5	1	0.21	0.51	0.51	56.2
2880	6	1	0.32	0.77	0.77	37.3
2880	7	1	0.26	0.62	0.62	46.6
2880	8	1	0.24	0.57	0.57	50.8
2880	9	1	0.27	0.66	0.66	43.9

ตารางที่ J.7 ปริมาณยานพาหนะเข้า-ออก ช่วงถนน (ยานพาหนะสู่ทางแยกแบบสม่ำเสมอ)

Flow IN-OUT of network report					
TIME	LINK#	Cum.FLOW-IN (veh)	Cum.FLOW-OUT (veh)	EXCESS DEMAND (veh)	
240	1	5.0	0.0	0.0	
240	2	2.0	2.0	0.0	
240	3	5.0	1.0	0.0	
240	4	3.0	0.5	0.0	
240	5	5.0	2.0	0.0	
240	6	0.0	0.0	0.0	
240	7	5.0	3.0	0.0	
240	8	1.0	1.0	0.0	
480	1	10.0	4.5	0.0	
480	2	7.0	7.0	0.0	
480	3	10.0	6.0	0.0	
480	4	8.0	3.5	0.0	
480	5	10.0	7.0	0.0	
480	6	4.5	4.5	0.0	
480	7	10.0	8.0	0.0	
480	8	6.0	6.0	0.0	
720	1	20.0	9.5	0.0	
720	2	14.5	14.5	0.0	
720	3	20.0	12.0	0.0	
720	4	17.0	8.5	0.0	
720	5	20.0	14.5	0.0	
720	6	9.5	9.5	0.0	
720	7	20.0	17.0	0.0	
720	8	12.0	12.0	0.0	
960	1	35.0	19.5	0.0	
960	2	27.0	27.0	0.0	
960	3	35.0	23.0	0.0	
960	4	31.0	17.5	0.0	
960	5	35.0	27.0	0.0	
960	6	19.5	19.5	0.0	
960	7	35.0	31.0	0.0	
960	8	23.0	23.0	0.0	
1200	1	55.0	34.5	0.0	
1200	2	44.5	44.5	0.0	
1200	3	55.0	39.5	0.0	
1200	4	49.5	31.5	0.0	
1200	5	55.0	44.5	0.0	
1200	6	34.5	34.5	0.0	
1200	7	55.0	49.5	0.0	
1200	8	39.5	39.5	0.0	
1440	1	80.0	54.5	0.0	
1440	2	67.0	67.0	0.0	
1440	3	80.0	61.0	0.0	
1440	4	73.0	50.0	0.0	
1440	5	80.0	67.0	0.0	
1440	6	54.5	54.5	0.0	
1440	7	80.0	73.0	0.0	
1440	8	61.0	61.0	0.0	
1680	1	110.0	79.5	0.0	

ตารางที่ ง.7 ปริมาณขบวนเข้า-ออก ช่วงถนน (ขบวนเข้าสู่ทางแยกแบบสมมาตร)

(ต่อ)

Flow IN-OUT of network report

TIME	LINK#	Cum.FLOW-IN (veh)	Cum.FLOW-OUT (veh)	EXCESS DEMAND (veh)
1680	2	94.5	94.5	
1680	3	110.0	87.0	0.0
1680	4	102.0	73.5	
1680	5	110.0	94.5	0.0
1680	6	79.5	79.5	
1680	7	110.0	102.0	0.0
1680	8	87.0	87.0	
1920	1	145.0	109.5	0.0
1920	2	124.5	124.5	
1920	3	145.0	117.0	0.0
1920	4	132.0	102.5	
1920	5	145.0	124.5	0.0
1920	6	109.5	109.5	
1920	7	145.0	132.0	0.0
1920	8	117.0	117.0	
2160	1	160.0	139.5	0.0
2160	2	152.0	152.0	
2160	3	160.0	147.0	0.0
2160	4	156.0	132.5	
2160	5	160.0	152.0	0.0
2160	6	139.5	139.5	
2160	7	160.0	156.0	0.0
2160	8	147.0	147.0	
2400	1	170.0	159.5	0.0
2400	2	164.5	164.5	
2400	3	170.0	162.0	0.0
2400	4	167.0	156.5	
2400	5	170.0	164.5	0.0
2400	6	159.5	159.5	
2400	7	170.0	167.0	0.0
2400	8	162.0	162.0	
2640	1	175.0	169.5	0.0
2640	2	172.0	172.0	
2640	3	175.0	171.0	0.0
2640	4	173.0	167.5	
2640	5	175.0	172.0	0.0
2640	6	169.5	169.5	
2640	7	175.0	173.0	0.0
2640	8	171.0	171.0	
2880	1	175.0	174.5	0.0
2880	2	175.0	175.0	
2880	3	175.0	175.0	
2880	4	175.0	173.5	
2880	5	175.0	175.0	
2880	6	174.5	174.5	
2880	7	175.0	175.0	0.0
2880	8	175.0	175.0	

ตารางที่ ง.8 ปริมาณยานพาณิชย์เข้า-ออก ชั่วขณะ (ยานพาณิชย์สู่ทางแยกแบบสุ่ม)

Flow IN-OUT of network report					
TIME	LINK#	Cum.FLOW-IN (veh)	Cum.FLOW-OUT (veh)	EXCESS DEMAND (veh)	
240	1	5.0	0.0	0.0	
240	2	3.0	3.0		
240	3	5.0	2.0	0.0	
240	4	5.0	0.5		
240	5	5.0	3.0	0.0	
240	6	0.0	0.0		
240	7	5.0	5.0	0.0	
240	8	2.0	2.0		
480	1	10.0	5.0	0.0	
480	2	6.0	6.0		
480	3	10.0	6.0	0.0	
480	4	9.0	5.5		
480	5	10.0	6.0	0.0	
480	6	5.0	5.0		
480	7	10.0	9.0	0.0	
480	8	6.0	6.0		
720	1	20.0	10.0	0.0	
720	2	14.0	14.0		
720	3	20.0	12.0	0.0	
720	4	20.0	9.5		
720	5	20.0	14.0	0.0	
720	6	10.0	10.0		
720	7	20.0	20.0	0.0	
720	8	12.0	12.0		
960	1	35.0	20.0	0.0	
960	2	32.0	32.0		
960	3	35.0	22.0	0.0	
960	4	32.0	20.5		
960	5	35.0	32.0	0.0	
960	6	20.0	20.0		
960	7	35.0	32.0	0.0	
960	8	22.0	22.0		
1200	1	55.0	35.0	0.0	
1200	2	43.0	43.0		
1200	3	55.0	41.0	0.0	
1200	4	53.0	32.5		
1200	5	55.0	43.0	0.0	
1200	6	35.0	35.0		
1200	7	55.0	53.0	0.0	
1200	8	41.0	41.0		
1440	1	80.0	55.0	0.0	
1440	2	66.0	66.0		
1440	3	80.0	64.0	0.0	
1440	4	77.0	53.5		
1440	5	80.0	66.0	0.0	
1440	6	55.0	55.0		
1440	7	80.0	77.0	0.0	
1440	8	64.0	64.0		
1680	1	110.0	79.5	0.0	

ตารางที่ ง.8 ปริมาณขบวนเข้า-ออก ช่วงถนน (ขบวนเข้าสู่ทางแยกแบบสุ่ม) (ต่อ)

Flow IN-OUT of network report				
TIME	LINK#	Cum.FLOW-IN (veh)	Cum.FLOW-OUT (veh)	EXCESS DEMAND (veh)
1680	2	92.0	92.0	
1680	3	110.0	90.0	0.0
1680	4	107.0	77.5	
1680	5	110.0	92.0	0.0
1680	6	79.5	79.5	
1680	7	110.0	107.0	0.0
1680	8	90.0	90.0	
1920	1	145.0	109.5	0.0
1920	2	122.0	122.0	
1920	3	145.0	120.0	0.0
1920	4	137.0	107.5	
1920	5	145.0	122.0	0.0
1920	6	109.5	109.5	
1920	7	145.0	137.0	0.0
1920	8	120.0	120.0	
2160	1	160.0	139.5	0.0
2160	2	152.0	152.0	
2160	3	160.0	150.0	0.0
2160	4	160.0	137.5	
2160	5	160.0	152.0	0.0
2160	6	139.5	139.5	
2160	7	160.0	160.0	0.0
2160	8	150.0	150.0	
2400	1	170.0	160.0	0.0
2400	2	170.0	170.0	
2400	3	170.0	161.0	0.0
2400	4	167.0	160.5	
2400	5	170.0	170.0	0.0
2400	6	160.0	160.0	
2400	7	170.0	167.0	0.0
2400	8	161.0	161.0	
2640	1	175.0	170.0	0.0
2640	2	174.0	174.0	
2640	3	175.0	172.0	0.0
2640	4	175.0	167.5	
2640	5	175.0	174.0	0.0
2640	6	170.0	170.0	
2640	7	175.0	175.0	0.0
2640	8	172.0	172.0	
2880	1	175.0	175.0	0.0
2880	2	175.0	175.0	
2880	3	175.0	175.0	0.0
2880	4	175.0	175.0	
2880	5	175.0	175.0	0.0
2880	6	175.0	175.0	
2880	7	175.0	175.0	0.0
2880	8	175.0	175.0	

ภาคผนวก จ.

ข้อมูลที่ใช้และผลลัพธ์ที่ได้รับจากการจำลองสภาพการจราจรทางแยกที่คิดค่อเป็นโครงข่าย

TEST 4 INTERSECTION OF ONE-WAY SYSTEM NETWORK IN BANGKOK (private car only)

UNIFORM

11111 ***** LINK DATA *****

19																			
1		1	29	0	6	1667	9	2	10	20	61	19							
2	1	2	36	0	5	2100	12	3		26	74								
3	2	3	36	0	5	1740	14	4		28	72								
4	3	4	57	0	5	1980	17	5	18	6	87	7							
5	4		21		5	1950													
6	3	2	36	0	2	1750		7	12		52	48							
7	2	1	36	0	2	1500	10			100									
8		1	80	0	5	1740	2	10		38	62								
9	1		80		3	1667													
10	1		50		5	1960													
11		2	80	0	5	1520	3		7	47		53							
12	2		80		4	1650													
13		3	80	0	4	1125	4		6	61		39							
14	3		80		5	1800													
15		3	50	0	9	1844	6	14	4	6	64	30							
16		4	50	0	2	1700	5	18		25	75								
17	4		50		2	1800													
18	4		43		2	1500													
19		4	71	0	2	2000		17	5		100	0							

12 ***** LINK THAT HAVE DOWN SRTEAM JUNCTION *****

1	2		123																
8	1	12																	
7	2		1																
2	3			12															
11	1	1	13																
6	3	23		2															
3	1	12																	
13	3			13															
15	2		123																
4	2		123																
16	1	12																	
19	1	2																	

22222 ***** JUNCTION DATA *****

4																			
1	0	217	2	0	0	45	172												
2	0	194	3	1	0	49	30	115											
3	0	191	3	2	0	75	78	38											
4	0	144	2	3	0	53	91												

88888 ***** FLOW - IN DATA *****

7	1																		
1	7434																		
8	1921																		
11	1393																		
13	1040																		
15	3810																		
16	1251																		
19	1902																		

77777 ***** SIMULATION TIME DATA *****

3600 3600

99999

รูปที่ จ.1 ข้อมูลที่ใช้ (ข้อมูลทางถนนแบบสม่ำเสมอ)

TEST 4 INTERSECTION OF ONE-WAY SYSTEM NETWORK IN BANGKOK (private car only)
POISSON

11111 ***** LINK DATA *****

19

1		1	29	0	6	1667	9	2	10	20	61	19
2	1	2	36	0	5	2100	12	3		26	74	
3	2	3	36	0	5	1740	14	4		28	72	
4	3	4	57	0	5	1980	17	5	18	6	87	7
5	4		21		5	1950						
6	3	2	36	0	2	1750		7	12		52	48
7	2	1	36	0	2	1500	10			100		
8		1	80	0	5	1740	2	10		38	62	
9	1		80		3	1667						
10	1		50		5	1960						
11		2	80	0	5	1520	3		7	47		53
12	2		80		4	1650						
13		3	80	0	4	1125	4		6	61		39
14	3		80		5	1800						
15		3	50	0	9	1844	6	14	4	6	64	30
16		4	50	0	2	1700	5	18		25	75	
17	4		50		2	1800						
18	4		43		2	1500						
19		4	71	0	2	2000		17	5	100	0	

12 ***** LINK THAT HAVE DOWN SRTEAM JUNCTION *****

1	2		123									
8	1	12										
7	2		1									
2	3			12								
11	1	1	13									
6	3	23		2								
3	1	12										
13	3			13								
15	2		123									
4	2		123									
16	1	12										
19	1	2										

22222 ***** JUNCTION DATA *****

4

1	0	217	2	0	0	45	172					
2	0	194	3	1	0	49	30	115				
3	0	191	3	2	0	75	78	38				
4	0	144	2	3	0	53	91					

88888 ***** FLOW - IN DATA *****

7 1

1 7434

8 1921

11 1393

13 1040

15 3810

16 1251

19 1902

77777 ***** SIMULATION TIME DATA *****

3600 3600

99999

รูปที่ จ.2 ข้อมูลที่ใช้ (ข้อมูลทางแยกแบบสุ่ม)

ตารางที่ จ.1 ค่าความล่าช้า (ขวดยานเข้าสู่ทางแยกแบบสี่เหลี่ยม)

UNIFORM ARRIVAL

DELAY REPORT

TIME	JUNC#	DELAY	LINK#	LEFT & STRAIGHT			RIGHT TURN		
				TOTAL	AVG.	DEMND	TOTAL	AVG.	DEMND
3600	1	303255.	1	312634.	57.	5451	99627.	81.	1235
3600	1	303255.	7	1748.	5.	318	0.	0.	1
3600	1	303255.	8	495756.	310.	1600	0.	0.	1
3600	2	663166.	2	475193.	108.	4384	0.	0.	1
3600	2	663166.	6	551.	2.	236	0.	0.	1
3600	2	663166.	11	1512723.	5886.	257	1031.	11.	97
3600	3	687024.	3	677717.	209.	3238	0.	0.	1
3600	3	687024.	13	298178.	575.	519	109149.	7796.	14
3600	3	687024.	15	166872.	64.	2623	809155.	80916.	10
3600	4	220141.	4	52391.	20.	2653	0.	0.	201
3600	4	220141.	16	56147.	47.	1202	0.	0.	1
3600	4	220141.	19	551885.	418.	1321	0.	0.	1

ตารางที่ จ.2 ค่าความล่าช้า (ขวดยานเข้าสู่ทางแยกแบบสี่เหลี่ยม)

RANDOM ARRIVAL

DELAY REPORT

TIME	JUNC#	DELAY	LINK#	LEFT & STRAIGHT			RIGHT TURN		
				TOTAL	AVG.	DEMND	TOTAL	AVG.	DEMND
3600	1	419855.	1	317282.	58.	5436	134391.	111.	1216
3600	1	419855.	7	1749.	5.	328	0.	0.	1
3600	1	419855.	8	806143.	500.	1612	0.	0.	1
3600	2	682215.	2	472809.	108.	4378	0.	0.	1
3600	2	682215.	6	502.	2.	237	0.	0.	1
3600	2	682215.	11	1571968.	6046.	260	1366.	14.	99
3600	3	771927.	3	680206.	210.	3235	0.	0.	1
3600	3	771927.	13	486107.	938.	518	109552.	7825.	14
3600	3	771927.	15	182703.	68.	2670	857212.	61229.	14
3600	4	267085.	4	52492.	20.	2654	2.	0.	201
3600	4	267085.	16	176116.	147.	1202	0.	0.	1
3600	4	267085.	19	572645.	433.	1321	0.	0.	1

ตารางที่ จ.3 ความขาวคิว (ယอดยานเข้าสู่ทางแยกแบบสม่ำเสมอ)

UNIFORM ARRIVAL

QUEUE LENGTH REPORT

TIME	LINK#	END OF QUEUE(m)	% of LINK
3600	1	406	100.00
3600	2	458	91.06
3600	3	331	65.74
3600	4	0	0.00
3600	6	0	0.00
3600	7	0	0.12
3600	8	371	33.20
3600	11	1120	100.00
3600	13	320	28.64
3600	15	8	1.22
3600	16	121	17.43
3600	19	994	100.00

ตารางที่ จ.5 ปริมาณบุคคลนเข้า-ออก ชั่วขณะ (บุคคลนเข้าสู่ทางแยกแบบสม่ำเสมอ)

UNIFORM ARRIVAL

Flow IN-OUT of network report

TIME	LINK#	Cum.FLOW-IN (veh)	Cum.FLOW-OUT (veh)	EXCESS DEMAND (veh)
3600	1	6846.9	6729.1	590.1
3600	2	4631.6	4383.6	
3600	3	3500.0	3237.2	
3600	4	2858.5	2852.2	
3600	5	2781.2	2781.2	
3600	6	237.8	235.3	
3600	7	331.3	317.6	
3600	8	1921.0	1599.2	0.0
3600	9	1345.6	1301.7	
3600	10	2622.9	2595.1	
3600	11	1096.0	376.1	297.0
3600	12	1139.8	1117.8	
3600	13	1040.0	850.8	0.0
3600	14	3304.3	3195.4	
3600	15	3810.0	3747.0	0.0
3600	16	1251.0	1201.0	0.0
3600	17	1491.5	1488.9	
3600	18	1100.8	1098.7	
3600	19	1549.7	1320.5	352.3

ตารางที่ จ.6 ปริมาณบุคคลนเข้า-ออก ชั่วขณะ (บุคคลนเข้าสู่ทางแยกแบบสุ่ม)

RANDOM ARRIVAL

Flow IN-OUT of network report

TIME	LINK#	Cum.FLOW-IN (veh)	Cum.FLOW-OUT (veh)	EXCESS DEMAND (veh)
3600	1	6829.1	6711.3	604.8
3600	2	4625.7	4377.7	
3600	3	3498.7	3234.8	
3600	4	2859.8	2853.5	
3600	5	2782.5	2782.5	
3600	6	241.6	236.8	
3600	7	334.8	327.2	
3600	8	1921.0	1611.7	0.0
3600	9	1341.9	1298.3	
3600	10	2620.8	2591.8	
3600	11	1098.1	381.3	294.9
3600	12	1138.2	1116.2	
3600	13	1040.0	848.8	0.0
3600	14	3343.8	3327.3	
3600	15	3810.0	3809.9	0.0
3600	16	1251.0	1201.2	0.0
3600	17	1491.4	1488.8	
3600	18	1100.9	1098.9	
3600	19	1549.6	1320.3	352.4

ภาคพนวก ฉ.

ตัวอย่างแสดงการคำนวณจังหวะเวลาสัญญาณไฟ

สมมุติ มีทางแยกสองแห่งซึ่งอยู่ใกล้เคียงกัน ตั้งอยู่ห่างกัน 500 เมตร จากการสำรวจพบว่า ความเร็วเฉลี่ยที่บัวดานวิ่งจากแยกหนึ่งไปอีกแยกหนึ่งเท่ากับ 50 กม./ชม. ความเร็วเฉลี่ยที่บัวดานเคลื่อนที่เพื่อออกจากสภาพหยุดนิ่งเพื่อผ่านทางแยกเท่ากับ 30 กม./ชม. ความเร็วของคลื่นหยุดเท่ากับ 6 กม./ชม. ความเร็วเฉลี่ยของคลื่นออกตัวเท่ากับ 18 กม./ชม. ความยาวคิวสูงสุดที่คาดว่าจะเกิดขึ้นยาวประมาณ 200 เมตร

รอบเวลาสัญญาณไฟต่อสุด คำนวณจากสมการที่ 6.5

$$C_{min} = Q \cdot \left(\frac{1}{V_{stop}} + \frac{1}{V_{avg}} \right)$$

โดยที่ $Q = 200$ เมตร

$$V_{stop} = 6 \times 1000 / 3600 = 1.67 \text{ เมตร/วินาที}$$

$$V_{avg} = 30 \times 1000 / 3600 = 8.33 \text{ เมตร/วินาที}$$

แทนค่าดังกล่าวลงในสมการ จะได้

$$C_{min} = 200 \left(\frac{1}{1.67} + \frac{1}{8.33} \right)$$

$$= 144 \text{ วินาที}$$

รอบเวลาสูงสุดที่ใช้ คำนวณจากสมการที่ 6.6 คือ

$$C_{max} = D \cdot \left(\frac{1}{V_{stop}} + \frac{1}{V_{avg}} \right)$$

โดยที่ $D = 200$ เมตร

$$V_{stop} = 1.67 \text{ เมตร/วินาที}$$

$$V_{avg} = 8.33 \text{ เมตร/วินาที}$$

แทนค่าดังกล่าวลงในสมการ จะได้

$$C_{\max} = 500 \left(\frac{1}{1.67} + \frac{1}{8.33} \right)$$

$$= 360 \text{ วินาที}$$

ช่วงเวลาสัญญาณไฟเขียวที่ใช้ คำนวณจากสมการที่ 6.8

$$G = Q \cdot \left(\frac{1}{V_{\text{start}}} + \frac{1}{V_{\text{avg}}} \right)$$

$$\text{โดยที่ } Q = 200 \text{ เมตร}$$

$$V_{\text{start}} = 18 \times 1000 / 3600 = 5.00 \text{ เมตร/วินาที}$$

$$V_{\text{avg}} = 8.33 \text{ เมตร/วินาที}$$

แทนค่าดังกล่าวลงในสมการ จะได้

$$G = 200 \left(\frac{1}{5.00} + \frac{1}{8.33} \right)$$

$$= 64 \text{ วินาที}$$

ช่วงเวลาสัญญาณไฟเขียวในการฟื้นคิวยาวเต็มช่วงถนน คำนวณจากสมการที่ 6.9

$$G = D \cdot \left(\frac{1}{V_{\text{start}}} + \frac{1}{V_{\text{avg}}} \right)$$

$$\text{โดยที่ } D = 500 \text{ เมตร}$$

$$V_{\text{start}} = 5.00 \text{ เมตร/วินาที}$$

$$V_{\text{avg}} = 8.33 \text{ เมตร/วินาที}$$

แทนค่าดังกล่าวลงในสมการ จะได้

$$D = 500 \left(\frac{1}{5.00} + \frac{1}{8.33} \right)$$

$$= 160 \text{ วินาที}$$

ในกรณีที่ต้องการประสานล้มพันธ์สัญญาณไฟ ค่า offset คำนวณจากสมการที่

6.11

$$\text{Offset} = \frac{[Q \cdot V_{travel} + (Q \cdot V_{start}) - (V_{start} \cdot D)]}{V_{travel} + V_{start}}$$

$$\text{โดยที่ } D = 500 \text{ เมตร}$$

$$Q = 200 \text{ เมตร}$$

$$V_{travel} = 50 \times 1000 / 3600 = 13.89 \text{ เมตร/วินาที}$$

$$V_{start} = 5.00 \text{ เมตร/วินาที}$$

$$\text{Offset} = \frac{[(200 \times 13.89) + (200 \times 5.00) - (5.00 \times 500)]}{(13.89 \times 5.00)}$$

$$= 19 \text{ วินาที}$$

ในกรณีที่มีความยาวเดินช่วงถนน ค่า Offset คำนวณโดยการแทนค่า $Q = 500$ เมตร จะได้

$$\text{Offset} = \frac{[(500 \times 13.89) + (500 \times 5.00) - (5.00 \times 500)]}{(13.89 \times 5.00)}$$

$$= 100 \text{ วินาที}$$

โดยสรุป ในกรณีที่ความยาวคิวเท่ากับ 200 เมตร รอบเวลาสัญญาณไฟที่คำนวณได้มีค่าเท่ากับ 144 วินาที ช่วงเวลาสัญญาณไฟเขียวต่อสุดเพื่อให้บุคคลที่อยู่ในคิวออกໄປได้หมดเท่ากับ 64 วินาที และในการประสานล้มพันธ์สัญญาณไฟระหว่างทางแยกต้องใช้ค่า offset เท่ากับ 19 วินาที

ในกรณีที่มีคิวบาร์เต็มช่วงถนน รอบเวลาสัญญาณไฟที่ใช้เท่ากับ 360 วินาที
ช่วงเวลาสัญญาณไฟเบียร์ที่ใช้เท่ากับ 160 วินาที และค่า offset เท่ากับ 100 วินาที

ประวัติผู้เขียน

นายคุณวุฒิ อารรถลีชร์ เกิดเมื่อวันที่ 19 กันยายน พ.ศ. 2509 ที่ กรุงเทพมหานคร สําเร็จการศึกษา ปริญญาตรีวิศวกรรมศาสตร์บัณฑิต สาขาวิศวกรรมโยธา จากจุฬาลงกรณ์มหาวิทยาลัย เมื่อปี พ.ศ. 2531 ทำงานในตำแหน่งนักวิจัยผู้ช่วย ของหน่วยวิจัยการจราจรและการขนส่ง จุฬาลงกรณ์มหาวิทยาลัย ในช่วงปี พ.ศ. 2531-2534 พักอยู่บ้านเลขที่ 157 ซอยยาสูบ 1 ถนนวิภาวดีรังสิต แขวงลาดยาว เขตคลองเตย กรุงเทพมหานคร 10900

